

Spectroscopia de Rezonanta Magnetica Nucleara: fundamente generale si aplicatii la polimeri

Prefata

Acum curs este destinat cercetatorilor institutului, in special celor tineri. Este compus din doua parti: prima parte se refera relativ succint la fenomenele de baza si tehniciile spectroscopiei RMN, in timp ce in partea a doua sunt prezentate aplicatii la studiul polimerilor in ceea ce priveste structura si microstructura, cinetici de polimerizare si modificare, morfologie, reticulare si interactii. Se acorda o extindere semnificativa utilitatii spectrelor obtinute pe probe solide, considerand ca acestea vor deveni necesare, cel putin pentru tratarea polimerilor ca materiale.

Cursul este adresat atat sintezistilor, cat si celor interesati de aprofundarea microstructurii, morfologiei, proceselor care implica compusi macromoleculari, dar nu numai. Prin acest curs incercam sa-i ajutam pe cei care s-ar afla in situatia (i) ca au obtinut spectre RMN, inregistrate de ei sau de grupul de la RMN, dar trebuie sa le interpreteze corect pentru rezolvarea unor probleme concrete sau (ii) isi proiecteaza studii in care spectroscopia RMN este indispensabila. Speram sa fie util si pentru generarea de idei. Nu-si propune, cel putin in aceasta etapa, sa prezinte detalii experimentale, cum ar fi realizarea probelor sau conducerea de tehnici speciale, de exemplu, experiente de RMN multipla.

Pentru eficienta, cursul se va desfasura dupa cum urmeaza:

- (1) In prima etapa, notele de curs, intr-o forma mai mult sau mai putin explicativa, pot fi vizionate pe pagina institutului, in folderul Files (www.icmp.ro/files.html). In cursul lunii mai a. c. se asteapta de la toti cei interesati, indiferent de nivelul de cunoastere a domeniului, propuneri de subiecte care sa fie tratate in expunerea audio-vizuala a cursului.
- (2) Expunerea audio-vizuala va fi in luna iunie a. c.. In cadrul acesteia sau dupa , functie de subiectele propuse, care pot fi chiar rezolvari de probleme concrete, s-ar putea organiza si sedinte de seminar/workshop.

Consideram ca prin aceasta modalitate de desfasurare a cursului se poate realiza (i) auto-introducerea in domeniu a celor care sunt mai putin sau deloc initiatii si (ii) se da posibilitate de participare, de dorit interactiva, celor interesati, inclusiv celor foarte ocupati in urmatoarele saptamani.

Aprilie 2015

Dr. Virgil Barboiu

Cuprins

Partea I-a: Fundamente si tehnici ale spectroscopiei si imagisticii RMN

1. Fenomenul RMN (p. 5)

1.1. Conditionarea fenomenului RMN

1.2. Magnetismul nucleelor

 1.2.1. Spinii nucleelor: reguli empirice

 1.2.2. Compozitia nucleelor, particule constitutive

 1.2.3. Despre particulele elementare (fundamentale)

1.3. Nuclee magnetice in aplicatii ale RMN

2. Descoperiri, pionierat, etape de dezvoltare (p. 8)

2.1. Descoperiri si experiente de pionierat

2.2. Etape de dezvoltare si aplicatii

3. Organizarea expunerii privind explicarea, calcularea si obtinerea spectrelor RMN (nuclee cu spin 1/2) (p. 9)

3.1. Explicarea fenomenologica a spectrelor RMN, de la simplu la complex

3.2. Modalitati de explicarea semnalelor RMN si calcularea spectrelor

3.3. Metode si tehnici experimentale de obtinere a spectrelor RMN

4. Explicarea fenomenologica a semnalelor si spectrelor RMN (p. 10)

4.1. Cazul unui nucleu dezvelit de electroni (bare nucleus):

 4.1.1. Rezonanta magnetica elementara (p. 10)

4.2. Cazul unui ansamblu statistic de nuclee dezvelite de electroni: (p. 11)

 4.2.1. Intensitatea semnalului RMN

4.3. Nucleu intr-un atom izolat: (p. 11)

 4.3.1. Ecranare diamagnetica, deplasare chimica

 4.3.2. Spectre de inalta rezolutie

4.4. Nuclee diferite chimic aparținând unei molecule izolate: solutii diluate, starea de gaz (p. 13)

 4.4.1. Deplasarea chimica: (p. 13)

 4.4.1.1. Domenii de deplasari chimice pentru semnalele de hidrogen-1 si reguli empirice de estimare

 4.4.1.2. Domenii de deplasari chimice pentru semnalele de carbon-13 si reguli empirice de estimare

 4.4.1.3. Factori care determină/influentează deplasarea chimica

 4.4.2. Forma semnalelor datorată cuplajelor magnetice internucleare scalare (p. 16)

 4.4.2.1. Cuplajul internuclear spin-spin sau scalar

 4.4.2.2. Echivalenta magnetica

 4.4.2.3. Explicarea cuplajului spin-spin internuclear

 4.4.3. Intensitatea relativă a semnalelor (p. 18)

4.5. Nuclee diferite chimic în sisteme multimoleculare: interacții intra și intermoleculare (p. 19)

4.6. Comparatie intre spectrele de hidrogen-1 si carbon-13 (p. 20)

4.7. Cateva exemple de utilizare a spectrelor RMN (p. 21)

5. Aparatura si probe (p. 22)

5.1. Probe studiate

5.2. Aparatura (p. 22)

 5.2.1. Cerinte necesare pentru orice tip de aparatura

 5.2.2. Aparatura cu excitare prin baleiera conditie de rezonanta (excitare cu unda continua)

 5.2.3. Aparatura cu excitare cu impulsuri de r.f. si analiza Fourier a raspunsului probei

6. Modelul vectorial al miscarii “clasice” a spinilor in camp magnetic (p. 24)

7. Spectre de RMN multipla (p. 25)

7.1. Spectre de Dubla RMN, variante 1D: Transfer de populatii: $\gamma B_2 < 1/T_2$; Tikling: $\gamma B_2 > 1/T_2$; n
Indor: $\gamma B_2 \approx 1/T_2 \pm \varepsilon$; Decuplaj de spin: $\gamma B_2 \gg \sum J_i$; Exemplificari pe un sistem AX

7.2. Spectre de Dubla RMN, tehnici 2D

7.2.1. Sisteme homonucleare: COSY; TOCSY; NOESY

7.2.2. Sisteme heteronucleare: DEPT; COSY {H – C}; HMQC }; HSQC; HETCOR

8. Principiile imagisticii de RMN (MRI) (p. 27)

9. RMN de inalta rezolutie pe solide (SS-NMR) (p.28)

Partea a II-a. Utilizarea metodelor RMN in domeniul polimerilor

1. Aspecte de stiinta polimerilor (p. 30)

1.1. Inceputurile stiintei polimerilor

1.2. Observatii RMN la mijlocul anilor '960

1.3. Structura moleculara (chimica) a polimerilor (p. 31)

1.4. Masa moleculara (p. 33)

1.5. Structuri supramoleculare (p. 34)

1.6. Morfologia starii solide (structura fizica) (p. 35)

1.7. Proprietati pentru prelucrare

1.8. Proprietati de utilizare

1.9. Utilitatea metodelor RMN in domeniul polimerilor

2. Spectroscopie RMN pe polimeri in solutie (p. 36)

2.1. Identificari de structura chimica si determinari de masa moleculara:

homopolimeri, copolimeri bloc, copolimeri statistici (9. 36)

2.2. Studii de cinetica: polimerizarea radicalica, reactii pe polimeri (p. 38)

2.3. Microstructura homopolimerilor liniari: (p. 44)

2.3.1. Tacticitatea: diverse aspecte si definitii

2.3.2. Modele de aditie si probabilitati de formarea secventelor (p. 45)

2.3.3. Izomeria de pozitie

2.3.4. Izomeria structurala sau geometrica (p. 47)

2.3.5. Defecte in polimeri

2.3.6. Efectele intercatiilor electrice asupra scindarii semnalelor (p. 48)

2.4. Microstructura copolimerilor liniari: (p. 49)

2.4.1. Diverse aspecte si definitii

2.4.2. Cinetica copolimerizarii si parametrii modelului terminal (p. 50)

2.4.3. Secventare din spectre RMN (p. 52)

2.4.4. Rapoarte de reactivitate si lungimi medii de secvente

2.5. Determinarea constantei de asociere cu ajutorul sp[ectrelor RMN (p. 54)

2.5.1. Cum se reflecta interactiile moleculelor in spectrele partenerilor

2.5.2. Interactii donor-acceptor in copolimeri (p. 55)

2.5.3. Interactii electrostatice in amestecuri (p. 56)

3. Spectroscopie RMN pe polimeri in stare solida (p. 57)

3.1. Inceputurile si motivarea spectroscopiei SS-NMR la polimeri

3.2. Experiente de pionierat pe polietilena (p. 58)

3.3. Identificari structura chimica

3.4. Aplicatii diverse: (p. 61)

- Mobilitatea moleculara si rezoluti spectrelor SS-NMR

- Informatii despre polietilena din spectre de carbon: cristalinitate, morfologie bifazica, efectele temperaturii asupra deplasarilor chimice si largimii semnalelor

- Informatii despre polipropilena

- Informatii despre poli(etilen tereftalat)

- Amestecuri de polimeri si miscibilitate

- Polimeri reticulati
- Polimeri electroconductorii
- Polimeri siliconici
- Informatii asupra tacticitatii poli(vinil alcoolului): scindarea semnalului carbonului metin, efecte de solvent, hidratare si alungire
- Morfologia PTFE

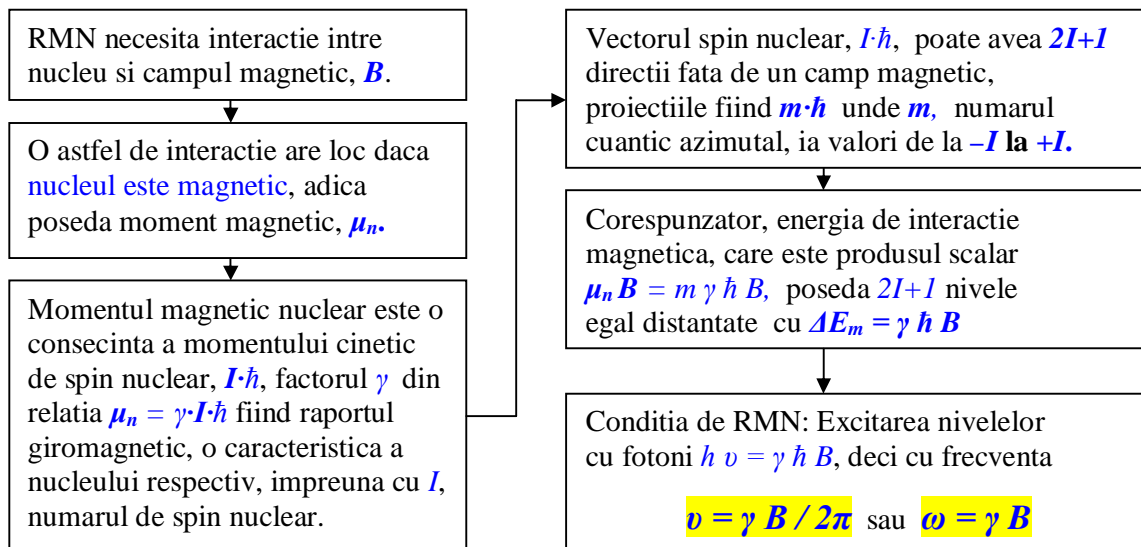
Mentiune: O parte din exemplele din capitolul II. 3 au fost preluate din cartea lui Isao Ando si Tetsuo Asakura **“Solid State NMR of Polymers”** (Elsevier 1998), care se gaseste la biblioteca institutului.

Partea I-a: Fundamente si tehnici ale spectroscopiei si imagisticii RMN

Dependenta frecventei, intensitatii si relaxarii semnalului de absorbtie de RMN de mediul din jurul nucleelor

1. Fenomenul RMN

1.1. Conditionarea fenomenului RMN

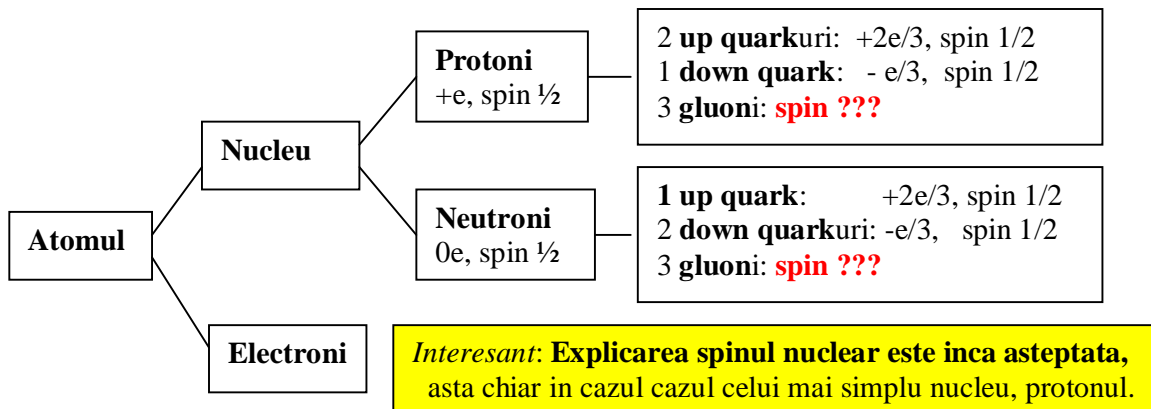


1.2. Magnetismul nucleelor

1.2.1. Spinii nucleelor: reguli empirice

Numar de protoni	Numar de neutroni	Numarul de spin, I	Exemple	
par	par	zero	I=0:	${}^4\text{He}_2$, ${}^{12}\text{C}_6$, ${}^{16}\text{O}_8$
par	impar	semiintreg	I=1/2:	${}^{13}\text{C}_6$, ${}^{29}\text{Si}_{14}$, ${}^9\text{Be}_4$ (3/2), ${}^{17}\text{O}_8$ (5/2)
impar	par	semiintreg	I=1/2:	${}^1\text{H}_1$, ${}^3\text{H}_1$, ${}^{15}\text{N}_7$, ${}^{19}\text{F}_9$, ${}^{31}\text{P}_{15}$, ${}^7\text{Li}_3$ (3/2), ${}^{11}\text{B}_5$ (3/2), ${}^{23}\text{Na}_{11}$ (3/2)
impar	impar	intreg	I=1:	${}^2\text{H}_1$, ${}^{14}\text{N}_7$, ${}^{10}\text{B}_5$ (3)

1.2.2. Compozitia nucleelor, particule constitiente



Proton Spin Mystery Gains a New Clue

Physicists long assumed a proton's spin came from its **three constituent quarks**. New measurements suggest particles called gluons make a significant contribution

Protons have a constant spin that is an intrinsic particle property like mass or charge. Yet where this spin comes from is such a mystery it's dubbed the "[proton spin crisis](#)."

1.2.3. Despre particulele elementare (fundamentale)

Fermionii	Quark-urile, q, spin 1/2 Leptonii, spin 1/2 Electronul, e, spin 1/2
<ul style="list-style-type: none"> - spin semi-intreg: 1/2, 3/2, 5/2 - poarta sarcina electrica - principiul exclusiunii a lui Pauli - asociati materiei 	Nu se cunosc fermioni cu spin diferit de 1/2

Bozonii	Fotonul, spin 1 Gluonii, spin 1, interactii tari Bozomii W si Z, spin 1, interactii slabe Bozonul Higgs, spin 0, particula lui Dumnezeu , 2013
<ul style="list-style-type: none"> - spin intreg: 0, 1, 2, .. - nu poarta sarcina electrica - statistica Bose-Einstein - asociati interactiilor 	Nu se cunosc bozoni cu spin mai mare decat 1. Spinul bozonilor este o proprietate intrinseca, nu poate fi asociat unei miscari de sarcina electrica.

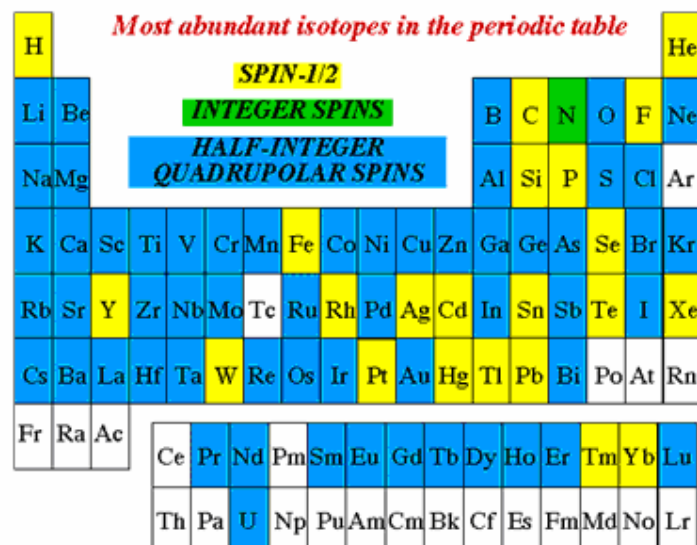
Dilema: Particulele elementare nu au structura interna. Cu exceptia electronilor, particulele elementare nu se gasesc ca atare, ci numai in compozitia particulelor complexe.

1.3. Nuclee magnetice in aplicatii ale RMN

Particula	Spinul I in \hbar	Momentul magnetic μ_n^*	$\nu/B^{\#}$ MHz/T	Abundenta naturala (%)	Sensibilitatea relativa	
Electronul, e	1/2	-1836	28 025			
Protonul, p, 1H	1/2	+2.793	42.5781	99.98	1.00	1
Deuterionul, 2H	1	+0.857	6.5357	0.015	0.0096	
Neutronul	-1/2	-1.913	29.1667			
${}^{14}N$	1	0.403	3.076	99.63	0.0010	
${}^{15}N$	1/2	-0.283	4.315	0.365	0.0010	
${}^{13}C$	1/2	0.702	10.71	1.108	0.0159	5
${}^{17}O$	5/2	-1.893	5.772	0.037	0.0291	6
${}^{19}F$	1/2	2.627	40.08	100	0.833	2
${}^{23}Na$	3/2	2.216	11.2618	100	0.0925	
${}^{29}Si$	1/2	-0.555	8.458	4.70	0.0784	3
${}^{31}P$	1/2	1.130	17.2349	100	0.0663	4

* μ_n in unitati de magneton nuclear $\mu_N = 5.05078 \cdot 10^{-27}$ JT⁻¹

ν/B (MHz/T) = $10^6 \gamma$ (rad T⁻¹ sec⁻¹) / 2π



Izotopi cu abundenta slaba, dar de interes in RMN: 2H , ${}^{13}C$, ${}^{15}N$, ${}^{17}O$

2. Descoperiri, pionierat, etape de dezvoltare

2.1. Descoperiri si experiente de pionierat

- 1924 - primele indicii privind momentul magnetic nuclear prin evidențierea structurii hiperfine a spectrelor electronice (ipoteza **Pauli**),
- 1933 – masuratori de moment magnetic nuclear pe fascicole moleculare de hydrogen (**Stern** și Gerlach),
- 1937 – observarea semnalului RMN pe fascicole moleculare de LiCl (**Rabi**),
- 1945 – observarea primelor semnale RMN pe molecule în stare normală: **Purcell**, Torey și Pound la parafina, și **Bloch**, Hansen și Packard la apa,
- 1949-50 – deplasarea chimică la metale (Knight), azot-14 (Proctor și Yu), proton (Linstrom și Thomas),
- 1951 – primul spectru de înaltă rezoluție (Arnold și al., la etanol); cuplajul spin-spin (Proctor și Yu).
- 1966 – creșterea importantă a sensibilității prin tehnica excitării cu pulsuri scurte dar puternice de r.f. (**Ernst** cu echipa de la Varian)
- 1980-90 – tehnici pentru structuri 3D la biopolimeri (**Wuthrich**)
- imagistica prin RMN (**Lauterbur** și **Mansfield**)

2.2. Etape de dezvoltare și aplicatii

- anii 1950: RMN de i. r. pe lichide pentru structura moleculară la molecule relativ mici; RMN de banda largă pe probe solide
- anii 1960: perfectionarea aparatului, frecvența pt RMNH-1 crescând de la 40 la 100 MHz, primele spectre RMNC-13
- anii 1970: continua perfectionarea aparatului: excitarea cu monopulsuri și analiza FT; criomagnetii; fundamentele excitării multipuls; microstructura polimerilor
- anii 1980: spectre RMN de i.r. pe solide (MAS); spectre 2D și 3D; imagistica RMN; spectre localizate
- anii 1990: creșterea frecvenței la 400-600 MHz și chiar la 800-900 MHz

J. D. Roberts (Caltech), Chem. Rev., 1991, p.1305

The appropriate theme for magnetic resonance spectroscopy is “Die Moldau”. Springing from the first simple, but elegant, experiments of Bloch and Purcell, gaining strength and momentum from applications to structural chemistry, and becoming an enormous and powerful river of knowledge and power through its enlarged scope by introduction of superconducting magnets, Fourier transforms, and multipulse excitations, today NMR is the only viable method for determining conformations of complex molecules in solutions. It has wrought a revolution in medicine through magnetic resonance imaging and will do so again as the result of the emerging noninvasive and selective magnetic resonance spectroscopic analysis of living humans. The major role of Richard Ernst in the latter stages of this revolution has been recognized by the 1991 Nobel Prize in Chemistry. Further, there is clearly much, much more to come.

3. Organizarea expunerii privind explicarea, calcularea si obtinerea spectrelor RMN (referire numai la spectrele nucleelor cu spin 1/2)

3.1. Explicarea fenomenologica a spectrelor RMN, de la simplu la complex

- 1 – Nucleu dezvelit de electroni (bare nucleus), cazul nucleului singular (fenomenul virtual)
- 2 – Ansamblu de nuclee dezvelite de electroni (fascicole moleculare, intensitatea semnalului)
- 3 – Nucleu intr-un atom izolat (ecranarea diamagnetica -> deplasarea chimica)
- 4 – Nuclee diferite chimic aparținând unei molecule izolate (cuplaje internucleare, forma și intensitatea relativă a semnalelor, spectre cvasireale)
- 5 - Sisteme multimoleculare (spectre reale, interacții intermoleculare,)

3.2. Modalitati de explicarea semnalelor RMN si calcularea spectrelor

- 1 – Tratarea cuantum-mecanică a proceselor la scară atomo-moleculară: nivele de energie magnetică, populații și tranziții
- 2 – Tratarea vectorială: mișcarea neperturbată și perturbată a vectorului magnetizare nucleară: modalitate utilă în special pentru excitarea cu pulsuri
- 3 – Simularea spectrelor cu metoda hamiltonianului de spin

3.3. Metode și tehnici experimentale de obținere a spectrelor RMN

- 1 – Metoda “continuous wave excitation”: baleierea succesivă a semnalelor: la un moment dat este emisă rezonanță unui singur tip de nucleu
- 2 – Tehnica răspunsului tranzitoriu pentru măsurători de timp de relaxare spin-retetea
- 3 – Metoda excitării repetitive cu monopulsuri și transformarea Fourier a răspunsului după fiecare puls: excitarea cvasimultană a întregului spectru
- 4 – Tehnici de excitare cu multipulsuri pentru obținerea de efecte de rezonanță multiplă, spectre 2D și 3D de diverse tipuri, etc

4. Explicarea fenomenologica a semnalelor si spectrelor RMN (referire numai la nucleele cu spin 1/2)

4.1. Cazul unui singur nucleu dezvelit de electroni (bare nucleus):

4.1.1. Rezonanta magnetica elementara

Se refera la orice particula care posedea moment de spin nenul.

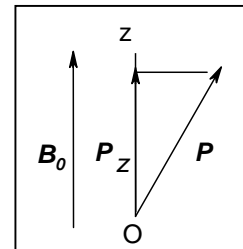
Fie o particula de spin \mathbf{P}

Modulul vectorului spin: $P = \hbar [R(R+1)]^{1/2}$

unde R este numarul cuantic de spin

$R = s = 1/2$ pentru electron, si

$R = I$ pentru nucleu



Proiectia $P_z = \hbar m$

unde m este numarul cuantic azimutal (magnetic)

ale carui valori sunt $R, R-1, R-2, \dots, -R+1, -R$, in general, si

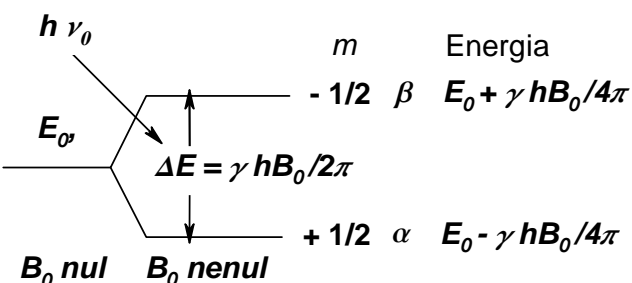
$I, I-1, I-2, \dots, -I+1, -I$ pentru nucleu

Cand $B_0 \neq 0$

Energia magnetica are expresia $E_m = -\mu_z B_0$ unde $\mu_z = \gamma P_z = \gamma m \hbar$ deci $E_m = -\gamma m \hbar B_0$

In cazul nucleelor cu spin $I = 1/2$, cum sunt 1H , ^{13}C , ^{19}F , etc, $m_I = +1/2$ si $m_I = -1/2$
deci nucleul se poate gasi in una din urmatoarele 2 stari energetice:

$E_\alpha = E_0 - \gamma \hbar B_0 / 2$ sau $E_\beta = E_0 + \gamma \hbar B_0 / 2$



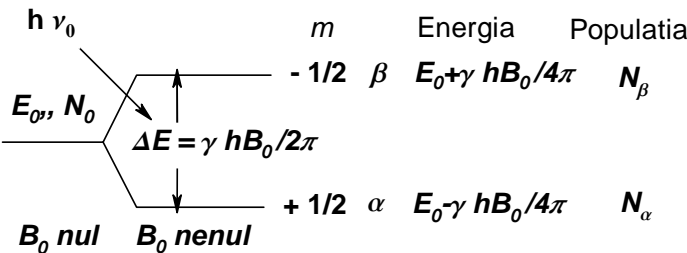
Conditia de absorbtie RMN: $\nu_0 = \gamma B_0 / 2\pi$

Rezulta: - pozitia (in frecventa) a semnalului RMN: $\nu_0 = \gamma B_0 / 2\pi$

4.2. Cazul unui ansamblu statistic de nucleee dezvelite de electroni:

4.2.1. Intensitatea semnalului RMN

Consideram un ansamblu format din N_0 nucleee identice



Relatii intre populatii:

$$N_\beta = N_\alpha \exp(-\Delta E/kT) \text{ conform statisticii Boltzmann}$$

$$\text{Cum } \Delta E/kT = 10^{-6} \ll 1 \text{ rezulta } N_\alpha = N_0 / (2 - \Delta E/kT)$$

$$N_\beta = N_0 (1 - \Delta E/kT) / (2 - \Delta E/kT)$$

$$\text{si } \Delta N = N_\alpha - N_\beta = N_0 \Delta E/kT$$

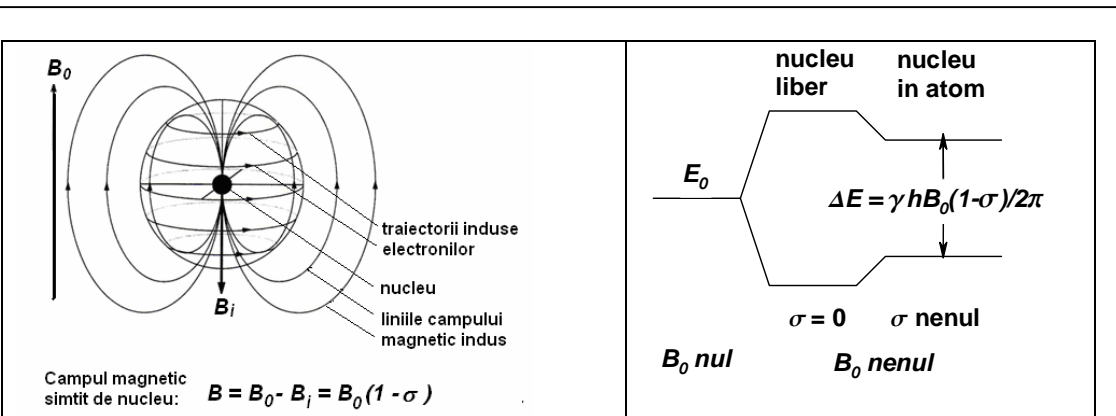
Rezulta pentru semnalul RMN:

- intensitatea proportionala cu: ΔN adica cu $N_0 \gamma B_0$ ca tensiune

$$h v_0 \Delta N \text{ adica cu } N_0 \gamma^2 B_0^2 \text{ ca putere}$$

4.3. Nucleu intr-un atom izolat

4.3.1. Ecranare diamagnetica, deplasare chimica



Rezulta: - pozitia (in frecventa) a semnalului RMN: $v = v_0 (1 - \sigma)$

unde $v_0 = \gamma B_0 / 2\pi$ iar σ este constanta de ecranare diamagnetica

Deplasarea chimica: $\delta(ppm) = 10^6 (v - v_{ref}) / v_{ref}$ unde $v_{ref} = v_0 (1 - \sigma_{ref})$

Important: Un acelasi nucleu da semnale la pozitii diferite datorita ecranarilor electronice diferite, fapt ce explica desfasurarea sub forma de spectru.

4.3.2. Spectre de inalta rezolutie

Spectrul RMN (al unei molecule) = totalitatea semnalelor datorate unui acelasi tip de nucleu (nuclid), de exemplu proton (^1H) sau carbon-13, apartinand insa la grupe chimice diferite sau avand vecinatati diferite.

Diferentele foarte mari dintre frecvenetele RMN si largimile domeniilor de frecventa cauzate de ecranarile electronice fac ca, d.p.d.v. instrumental, un spectru sa poata fi obtinut numai de la un singur nuclid

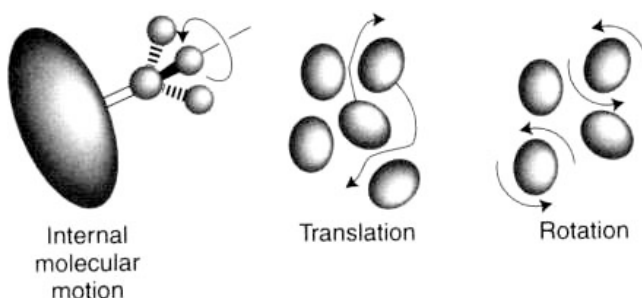
Spectre RMN de inalta rezolutie (i. r.): spectrele in care semnalele sunt bine separate dupa ecranarea electronica, deci unde deplasările chimice sunt masurabile. Initial se considera ca **numai probele lichide** dă astfel de spectre. Ulterior s-au pus la punct tehnici care permit obtinerea de **spectre de i.r.** chiar de la probe solide daca sunt diamagnetice,amorfe si cu nuclee magnetice rare.

Cuplajul dipolar magnetic internuclear constituie principala interacție care anihilează separarea semnalelor datorată ecranării electronice, atât prin scindarea cat și prin largirea semnalelor, ultima asociată cu relaxări spin-spin rapide.

Medierea la zero al acestei interacții, deci spectre de i.r., se poate realiza astfel:

- prin **miscarea de agitație termică (rotatii si translatii)** in **cazul probelor lichide**, si
- prin rotirea rapida după o axă care face unghiul magic (α_{MAS}) cu campul magnetic aplicat, in **cazul solidelor** diamagnetice.

$$3 \cos^2 \alpha_{MAS} - 1 = 0$$



Difuzia

 Short-range intermolecular interaction	 Long-range intermolecular interaction
Mediere foarte buna la zero	Nu se mediaza la zero, dar e foarte mica

4.4. Nuclee diferite chimic aparținând unei molecule izolate: soluții diluate, starea de gaz

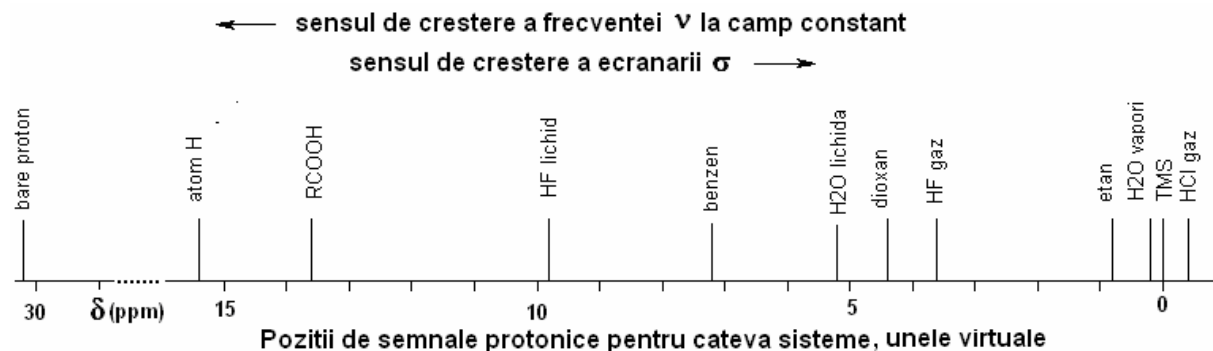
Acstea sunt sisteme reale, dar simplificate în sensul că sunt neglijate efecte datorate:

- interacțiilor intra- și intermoleculare,
- solventului,
- temperaturii,

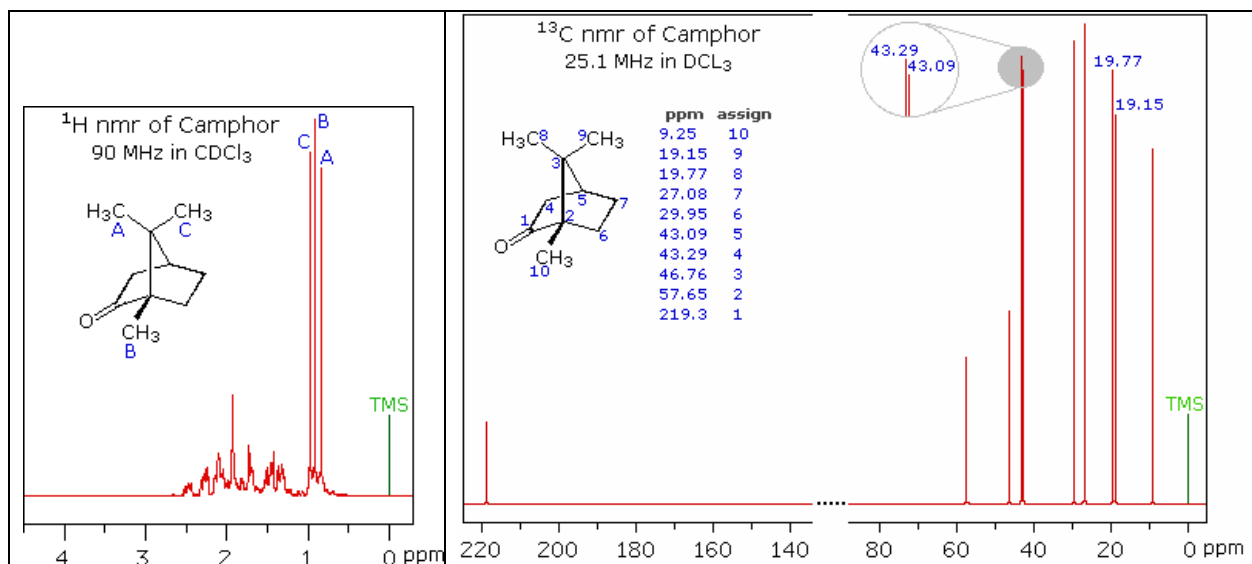
Caracteristici spectrale:

- 1 - **separarea semnalelor** ca efect al diferențelor de ecranare electronică,
- 2 - **forma semnalelor** datorată cuplajelor magnetice internucleare scalare, și
- 3 - **intensitatea relativă** măsurată prin arie, care este proporțională cu numărul de nuclei care generează semnalul respectiv.

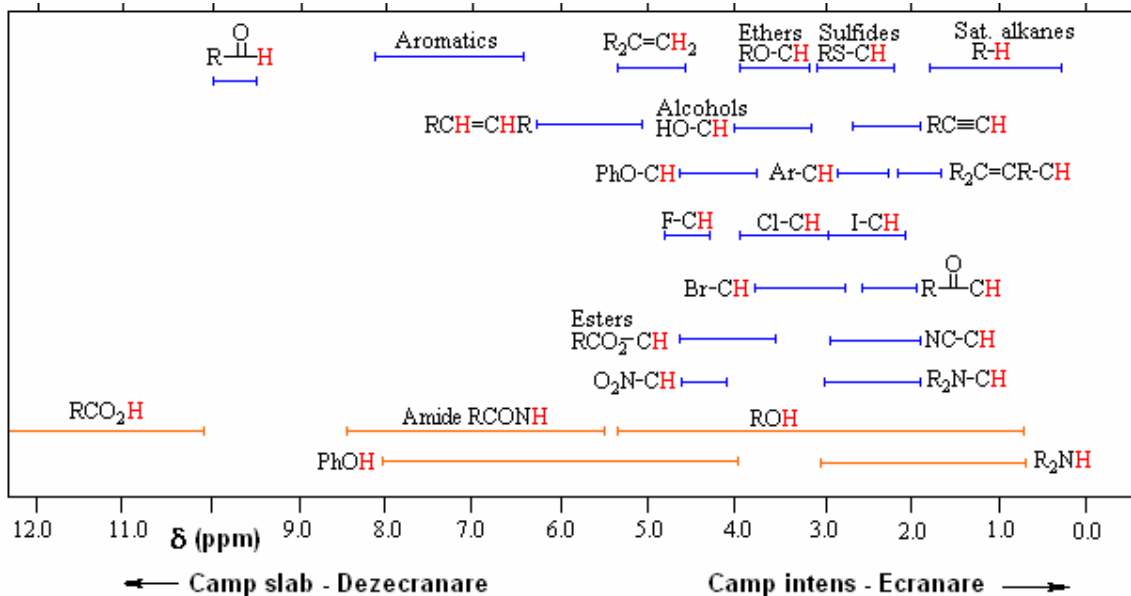
4.4.1. Deplasarea chimică: Separarea semnalelor produsă de ecranarea electronică



- Deosebiri între spectrele de hidrogen-1 și carbon-13 ilustrate pe molecula de camfor dizolvată în CDCl₃.



4.4.1.1. Domenii de deplasari chimice pentru semnalele de hidrogen-1 si reguli empirice



Reguli semiempirice pentru estimarea deplasarilor chimice pentru proton:

- Regulile Shoolery pentru

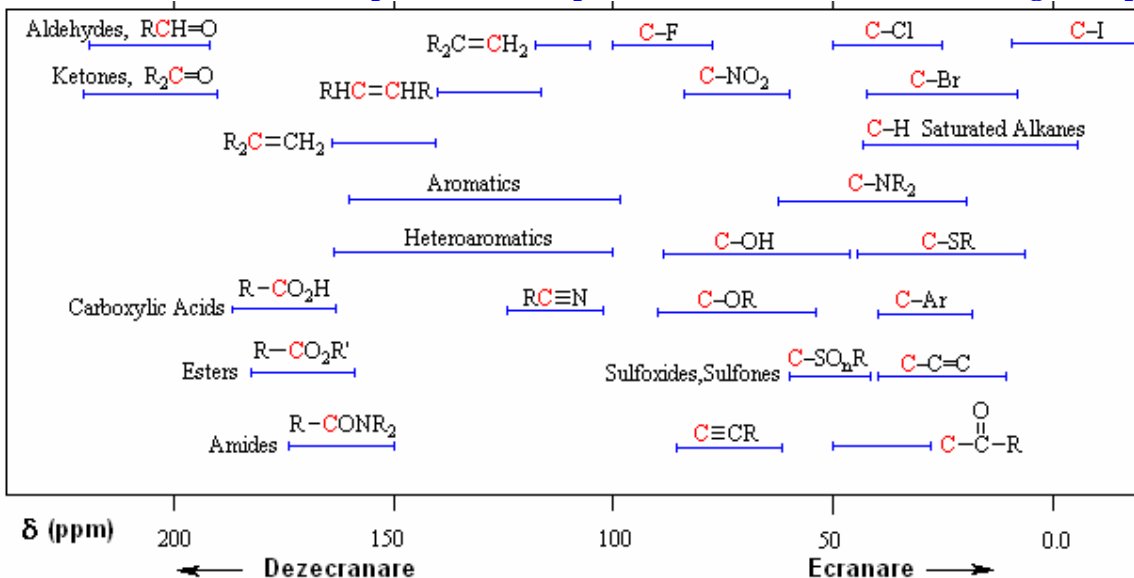
- grupe metil $\text{CH}_3\text{-X}$: δ (ppm) = **0.23** + S_x
- grupe metilen $\text{CH}_2\text{-XY}$: δ (ppm) = **0.23** + $S_x + S_y$
- grupe metin CHXYZ : δ (ppm) = **0.23** + $S_x + S_y + S_z$
- compusi etilenici mono si disubstituiti $\text{H}_2\text{C=CH-X}$, Y-HC=CH-X , $\text{H}_2\text{C=CXY}$
- compusi benzenici monosubstituiti C_6H_5 :

$$\delta \text{ (ppm)} = 7.27 + \sum S_i$$

Substituent	S_{ortho}	S_{meta}	S_{para}
CH_3	-0.17	-0.09	-0.18
CH_2CH_3	-0.15	-0.06	-0.18
NO_2	0.95	0.17	0.33
Cl	0.02	-0.06	-0.04
Br	0.22	-0.13	-0.03
I	0.40	-0.26	-0.03
CHO	0.58	0.21	0.27
OH	-0.50	-0.14	-0.40
NH ₂	-0.75	-0.24	-0.63
CN	0.27	0.11	0.30
CO_2H	0.80	0.14	0.20
CO_2CH_3	0.74	0.07	0.20
COCH_3	0.64	0.09	0.30
OCH_3	-0.43	-0.09	-0.37
OCOCH_3	-0.21	-0.02	-0.13
$\text{N}(\text{CH}_3)_2$	-0.60	-0.10	-0.62
SCH_3	0.37	0.20	0.10

- Experienta spectroscopistului

4.4.1.2. Domenii de deplasari chimice pentru semnalele de carbon-13 si reguli empirice



Reguli semiempirice diverse pentru estimarea deplasarilor chimice pentru carbon-13

- Regulile Grant-Paul pentru alcani nesubstituiti

$$\delta_i \text{ (ppm)} = -2.3 + \sum A_k n_k + S_{ia}$$

cu incrementii $A\alpha = +9.1$; $A\beta = +9.4$; $A\gamma = -2.5$; $A\delta = +0.3$; $A\epsilon = +0.2$
si factorii sterici de corectie S_{ia} din tabelul:

C_i (atomul observat)		$-\text{CH}_3$	$-\text{CH}_2-$	$-\text{CH}-$	$-\text{C}-$
primar	$-\text{CH}_3$	0	0	-1.1	-3.4
secondar	$-\text{CH}_2-$	0	0	-2.5	-7.5
tertiar	$-\text{CH}-$	0	-3.7	-9.5	(-15.0)
quartenar	$-\text{C}-$	-1.5	-8.4	(-15.0)	(-25.0)

Metode utilizate in general:

- Tabele de valori pe grupe de compusi organici

- Programme ACD/NMR pentru prezicere de spectre, deplasari chimice si constante de cuplaj

With ACD/NMR Predictors, you can predict complete NMR spectra directly from a chemical structure. Simply input a structure from a file or the included ACD/ChemSketch interface, and receive full NMR spectra, chemical shifts, and coupling constants in seconds. Predicted spectra can also be directly compared with experimental data for more efficient structure verification.

4.4.1.3. Factori care determina/influenteaaza deplasarea chimica

Ecranarea $\sigma \uparrow \rightarrow$ Deplasarea chimica δ Factori care \downarrow

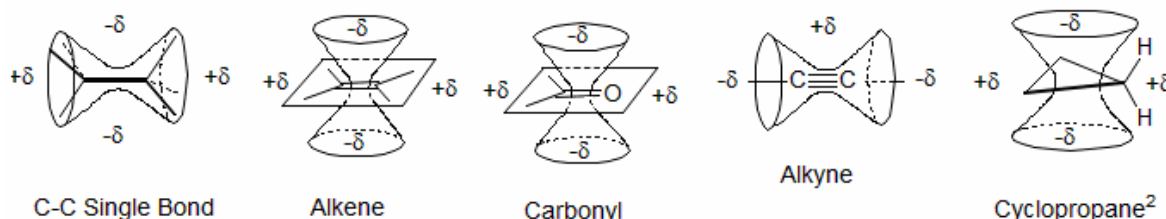
$$\text{Formula Lamb: } \sigma = (\mu_0 e^2 / 3 m_e) \int r \rho(r) dr$$

$$\text{Componente principale: } \sigma = \sigma_{\text{dia}} + \sigma_{\text{para}} + \sigma^{\text{ani}} + \sigma^{\text{interactii}}$$

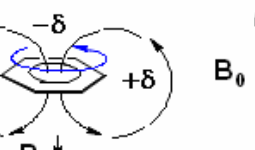
σ^{dia}	σ^{para}	σ^{ani}
componenta diamagnetica , ecranare, orbitalii s, majora la ^1H , sensibila la efectele inductive si mezomeric	componenta paramagnetica , dezecranare, orbitalii p si legaturi chimice, majora la ^{13}C si atomi grei	Componenta anizotropica , +/- ecranare, majora pentru specificitatea semnalelor in toate cazurile

Componenta $\sigma^{\text{interactii}}$ este importanta in cazul **grupelor care dau asociere intra si intermolecularare**. Va fi discutata in cazul sistemelor multimoleculare.

Efecte ale distributiei anizotrope a electronilor in molecule

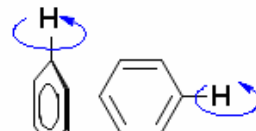


Regiune de dezecranare:
Campul induz Bi are acelasi sens cu campul aplicat Bo



Efectul circulatiei induse electronilor π de catre campul magnetic aplicat, Bo

Regiune de ecranare:
Campul induz Bi este opus campului aplicat



Efect slab asupra ecranarii:
Circulatia indusa electronilor π este blocata

$\delta 0.3 \text{ ppm}$ $\delta 2.6 \text{ ppm}$ 	Efecte datorate circulatiei electronilor π pentru bicyclo(8.2.2)tetradeca-10,12,13-triene
--	---

4.4.2. Forma semnalelor datorata cupajelor magnetice internucleare scalare

4.4.2.1. Despre cupajul internuclear spin-spin sau scalar

Cupajul internuclear spin-spin sau scalar este un parametru spectral important. Poate fi:

- **homonuclear**, intre nucleu de acelasi tip, de exemplu interprotonic, si
- **heteronuclear**, intre nucleu de specii diferite, de exemplu proton-carbon.

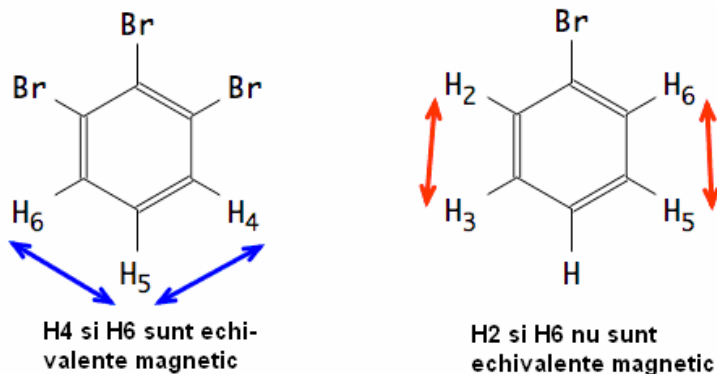
Se deosebeste de **cupajul magnetic dipolar** prin

- marimea mult mai redusa, si
- foarte important, pentru ca nu este afectat de miscarea aleatorie de agitatie termica, fapt pentru care are atributul de “scalar”.

4.4.2.2. Echivalenta magnetica

Nucleele echivalente magnetic sunt

- nucleele echivalente chimic care cupleaza identic cu oricare alt nucleu din molecule.
- Semnalul nucleelor echivalente magnetic nu este scindat de cuplajul spin-spin dintre acestea.

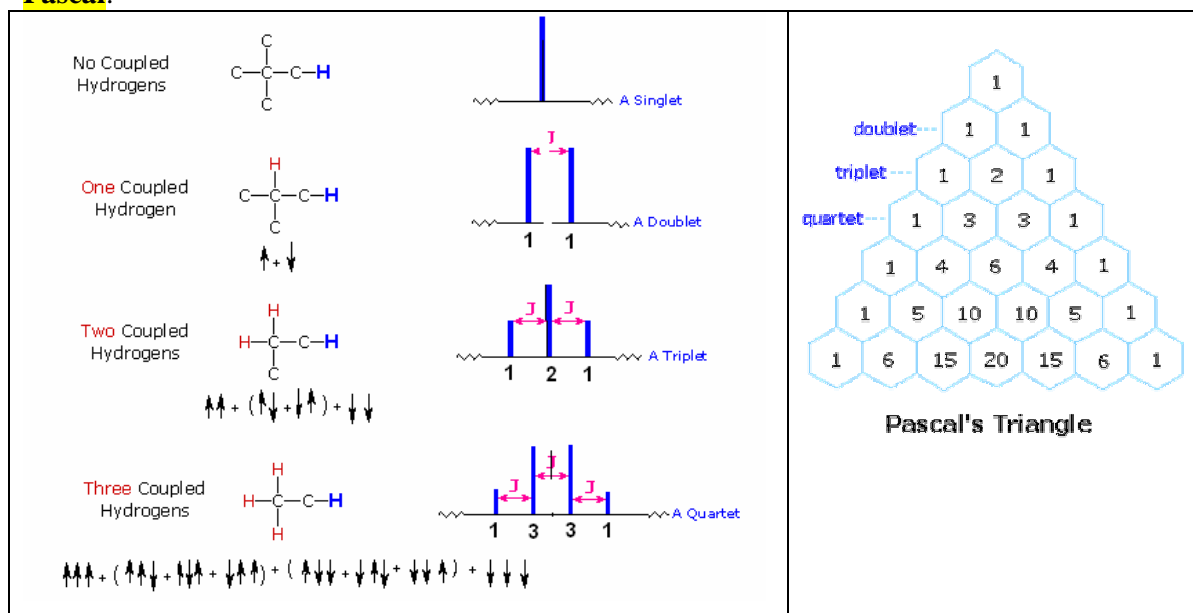


Echivalenta magnetica poate fi produsa de

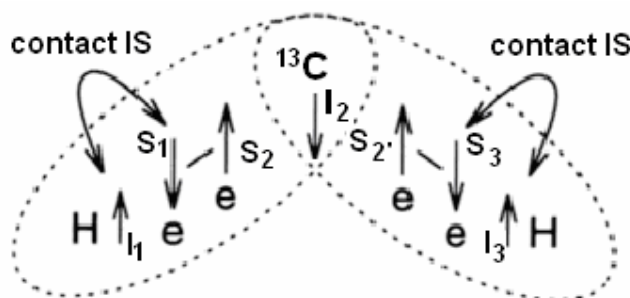
- geometria moleculei si/sau prin
- rotatia libera in jurul legaturilor chimice, de exemplu pentru grupa alchil din alcani

4.4.2.3. Explicarea cuplajului spin-spin internuclear

Intuitiv, se poate spune ca, de exemplu, un nucleu magnetic vecin, sa zicem de spin 1/2, avand doua orientari posibile fata de campul magnetic aplicat, paralel si antiparalel cu acesta, face ca nucleul observat sa simta doua valori egal probabile ale campului magnetic local, **B+b si B-b**, deci sa rezoneze la doua frecvente, deci **semnalul lui sa fie un dublet**. In cazul a **n vecini**, acestia ar avea **n+1 stari** de orientare reciproca, ceea ce ar face ca semnalul observat sa aiba tot atatea componente. Intensitatile relative ale componentelor sunt in raportul coeficientilor **binomului Newton**, $(1+x)^n$, adica conform **triunghiului Pascal**.



In realitate, cuplajul spin-spin scalar se datoreaza **interactiilor Fermi, interactii de contact spin-spin dintre nucleele si electronii legaturilor interatomice** din molecula, fapt ce face sa nu depinda de orientarea moleculei.



Cuplaje spin-spin internucleare peste 1 si 2 legaturi:
Orientarile spinilor S_2 si $S_{2'}$ respecta regulile Hunt

4.4.3. Intensitatea relativa a semnalelor.

Semnalul caracterizeaza un nucleu sau un grup de nucleu echivalente magnetic:

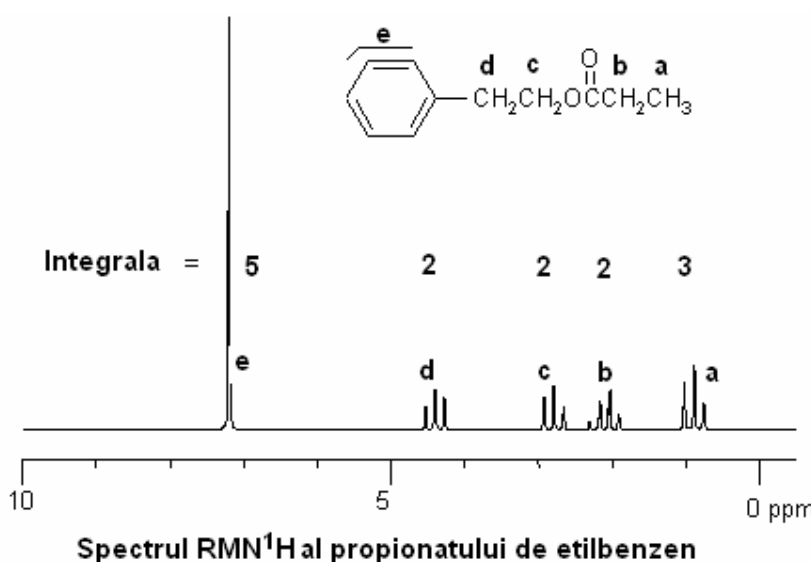
Poate fi un singlet sau un multiplet.

Intensitatea semnalului este aria multipletului.

Este vorba de intensitati relative, iar ariile sunt masurate prin integrare electronica.

Pentru un ansamblu de N_0 nucleu identice s-a gasit anterior ca intensitatea semnalului este proportionala cu $N_0 \gamma B_0$, ca tensiune, si cu $N_0 \gamma^2 B_0^2$, ca putere. Se intlege ca:

- semnalele spectrului unei molecule care contine grupe de N_1, N_2, \dots, N_n nucleu echivalente vor avea intensitati (relative) proportionale cu N_1, N_2, \dots, N_n , iar
- in cazul unui amestec bimolecular, continand k_1 si k_2 moli din cele doua specii, intensitatatile relative ale semnalelor sunt proportionale cu $k_1 N_1, k_1 N_2, \dots$, respectiv cu $k_2 M_1, k_2 M_2, \dots$ unde N_i si M_i ar fi numerele de nucleu echivalente din cele 2 specii molecule, caracteristica ce poate fi generalizata la amestecuri multimoleculare.



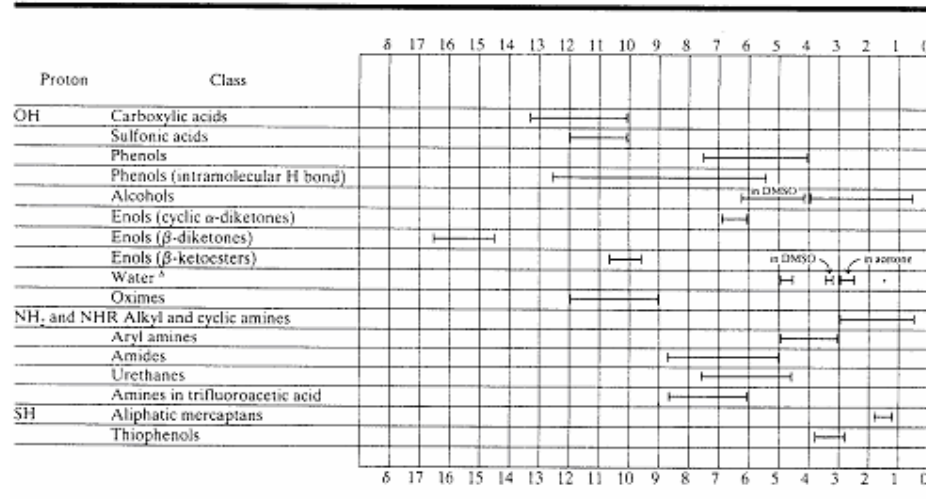
4.5. Nuclee diferite chimic in sisteme multimoleculare: interactii intra si intermolecularare

Acestea sunt cazuri reale: pozitia si chiar forma semnalelor sunt influentate de interactiile moleculelare:

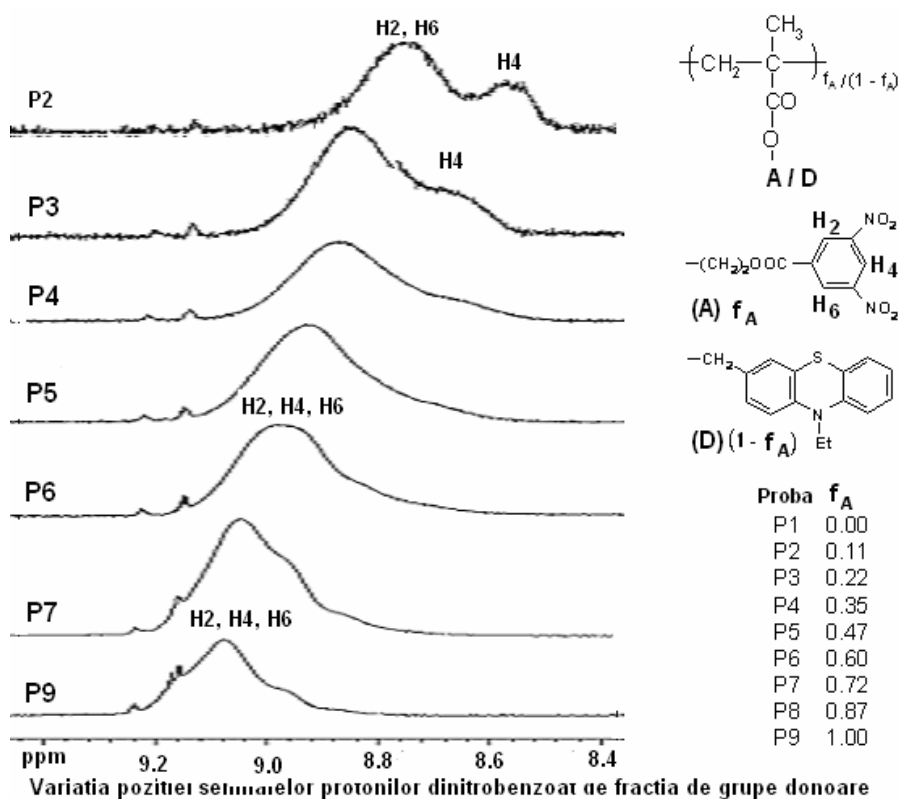
- legaturi de hidrogen,
- interactii de tip donor-acceptor,
- forte Van der Waals

Vice-versa, spectrele pot furniza informatii despre astfel de interactii.

- Efecte ale legaturii de hidrogen



- Influenta densitatii de interactii donor-acceptor



4.6. Comparatie intre spectrele de hydrogen-1 si carbon-13

1- Semnalele de carbon sunt de aproximativ 1400 de ori mai slabe decat cele de hidrogen pentru o aceiasi intensitate de camp magnetic aplicat, intrucat

$$\text{intensitatea semnalului} \sim N_0 \gamma^2 B_0^2, \text{ intrucat}$$

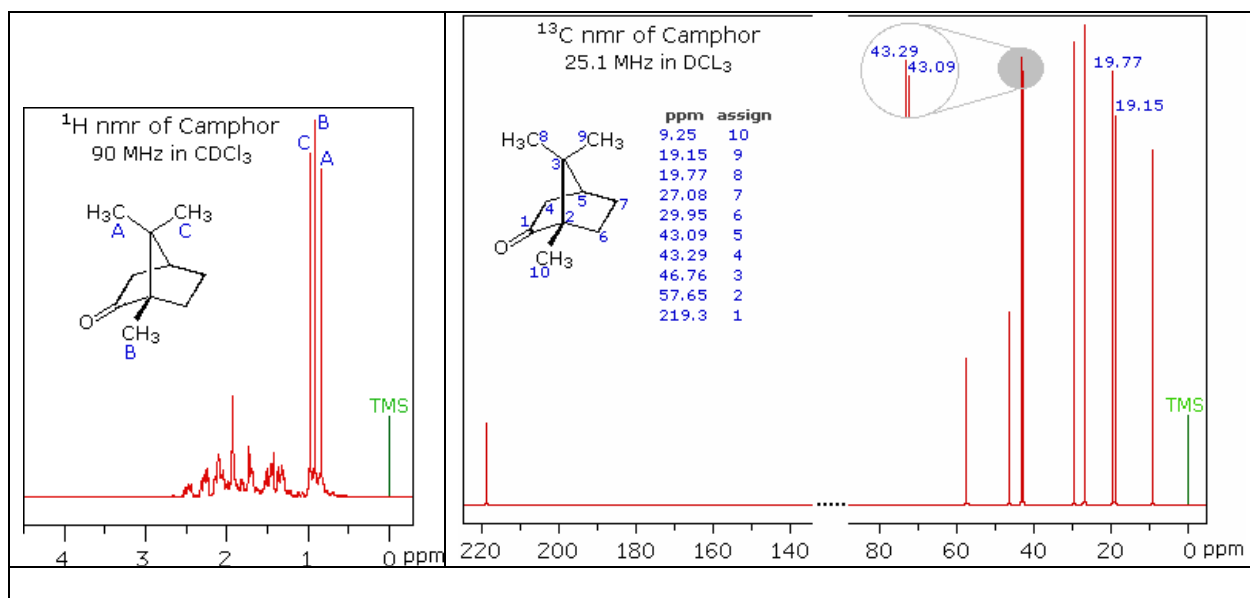
- frecvenetele de rezonanta sunt de aproximativ 4 ori mai mici, raportul fiind γ_H / γ_C , iar
- abundenta naturala a izotopului ^{13}C este 90.9 ori mai mica.

2 – Pe de alta parte, **semnalele nucleelor de carbon sunt mult mai bine separate de ecranarea electronica decat semnalele protonilor**, ceea ce determina

- spectre cu mai bine rezolvate, deci mai sensibile la structura chimica, si
- corelatii mult mai clare intre deplasarile chimice si structura moleculara,

calitati extrem de necesare pentru caracterizarea moleculelor complexe, cum sunt polimerii sintetici sau naturali, dar in special structurile biologice.

- **Ilustrarea avantajelor spectrelor de carbon fata de spectrele de hidrogen** pe moleculea de camfor dizolvata in CDCl_3 .



3 – Pentru a deveni metoda curenta de studiu, spectroscopia de RMN pe carbon a necesitat **cresterea importanta a intensitatii campului magnetic**, ceea ce a fost posibil datorita magnetilor cu bobina supraconductoare.

4 – O a doua dezvoltare instrumentala a fost excitarea in impulsuri asociata cu transformarea Fourier a raspunsului probei la impuls, asa zisa FT-NMR. Aceasta tehnica, pe langa cresterea extraordinara a raportului S/N, a condus la tehnici de excitare multipuls, rezultand spectre multidimensionale si

5 – Un alt avantaj al semnalelor RMN pe carbon provine tocmai din densitatea foarte redusa a acestor nucleu, ceea diminueaza foarte mult efectele interacțiilor magnetice dipolare* si, prin aceasta, a dat posibilitatea obtinerii de spectre inalta rezolutie de la probe solide.

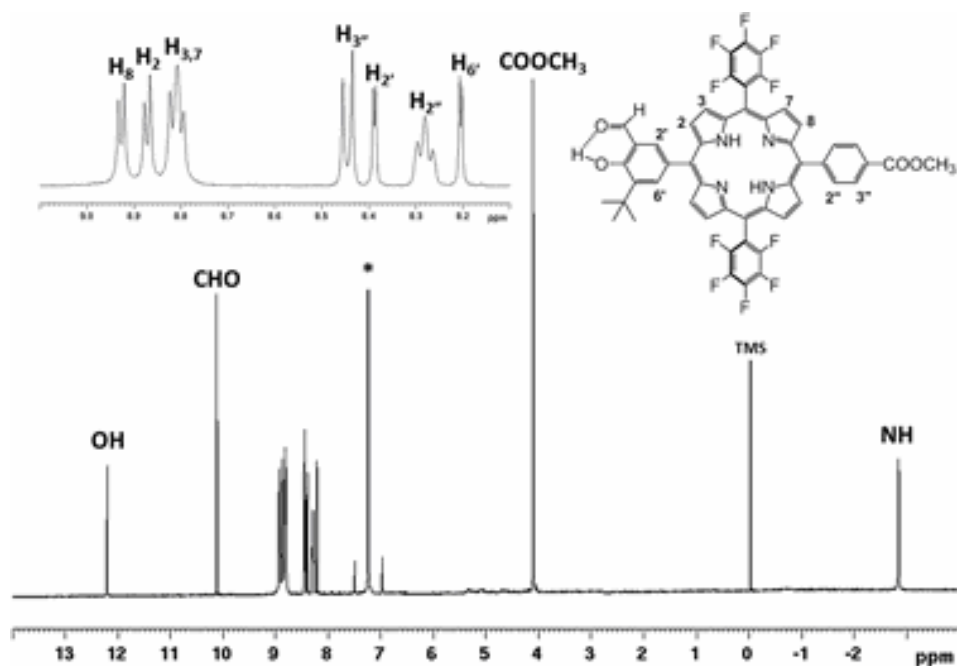
* Distanțele dintre două nucleu de carbon-13 sunt foarte mari.

6 – Exista insa si unele avantaje ale spectrelor de hidrogen fata de cele de carbon:

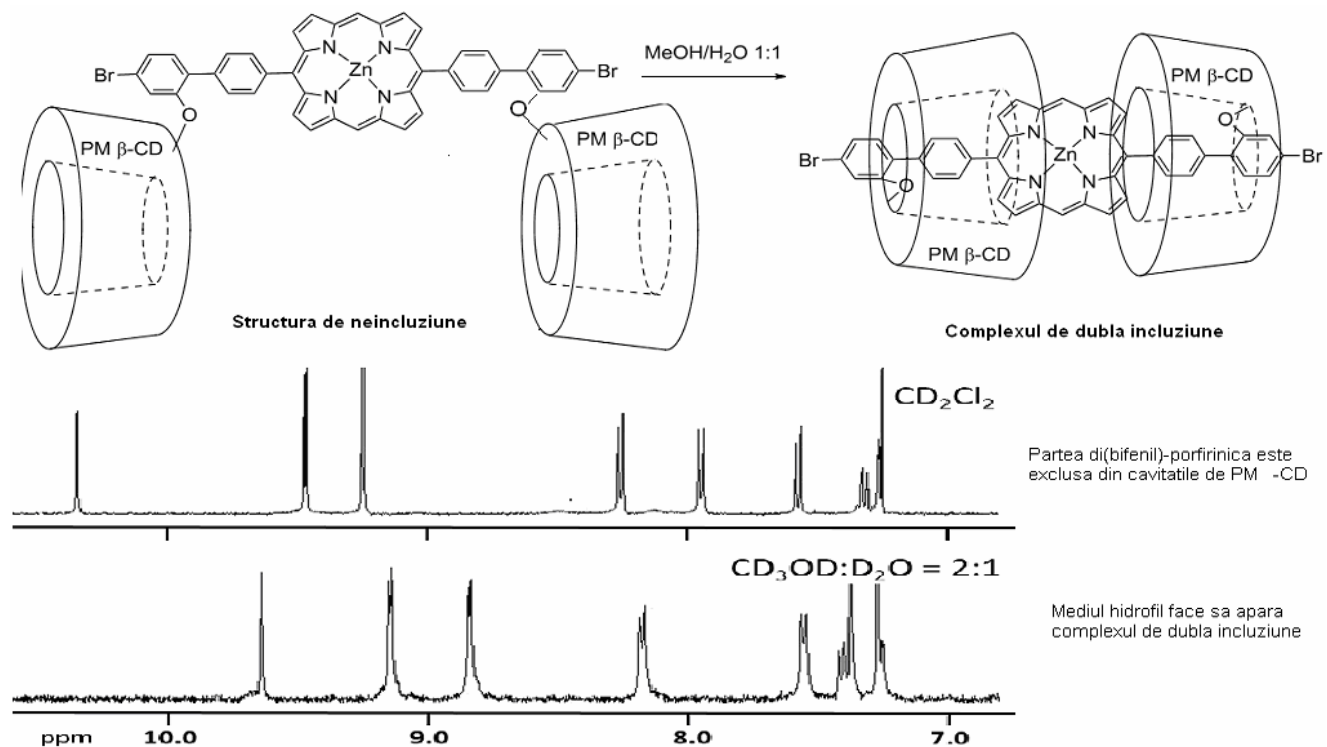
- contin informatii despre cuplajele spin-spin;
- ariile semnalelor pot fi masurate mult mai precis

4.7.Cateva exemple de utilizare a spectrelor RMN

Confirmari de structura chimica: Spectrul protonilor unei porfirine substituite



Arhitectura moleculara: Evidențierea complexării prin incluziune



Alte utilizari tipice:

- compozitia amestecurilor
- mecanisme si cinetici chimice
- chimie medicala

5. Aparatura si probe

5.1. Probe studiate

Probe lichide

- solventi deuterati; de obicei continand o substanta pentru semnalul de referinta
- concentratii, in raport de problema de rezolvat
- filtrarea si dezaerarea, tuburi RMN

Probe solide izotrope

- solide amorfe (pulberi, batoane cu geometrie speciala)
- retele rigide si geluri umede
- incapsularea pentru rotire la unghi magic (MAS)

Probe solide anizotrope

- probe orientate monoaxial
- monocristale

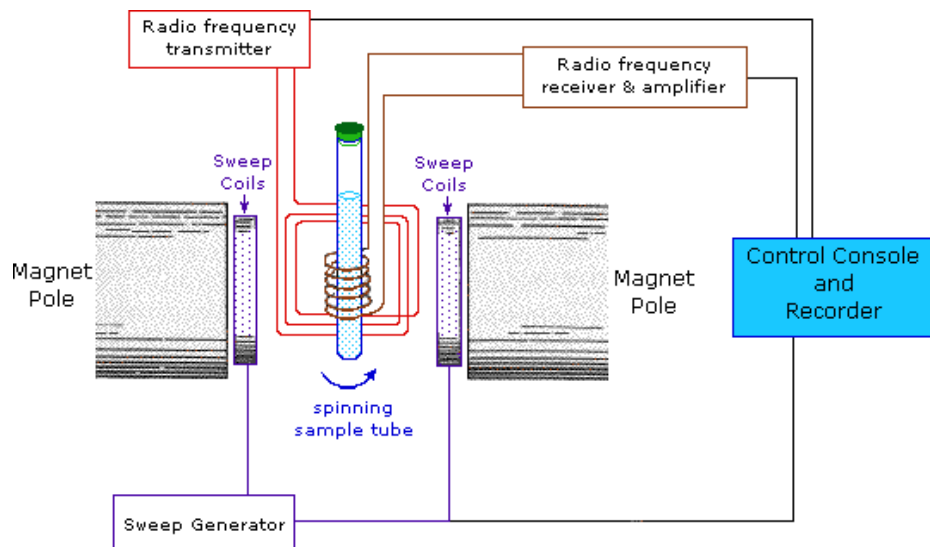
5.2. Aparatura

5.2.1. Cerinte necesare pentru orice tip de aparat:

- omogenitate foarte buna a campului magnetic pe volumul probei, precum si
- stabilitate foarte buna a campului magnetic si a frecventei de excitare:

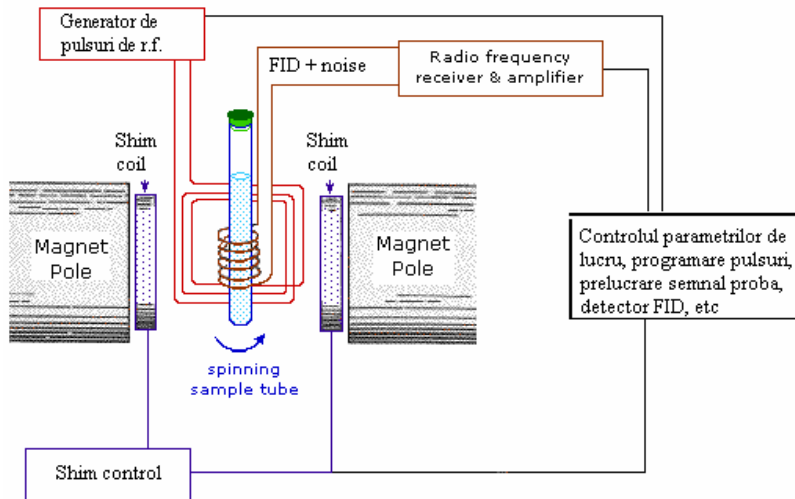
$$\Delta B \leq B/10^9 ; \quad dB/dt \leq 10^{-9} B/\text{ora} ; \quad dv/dt \leq 10^{-9} v_0/\text{ora}$$

5.2.2. Aparatura cu excitare prin baleiera conditie de rezonanta (excitare cu unda continua)

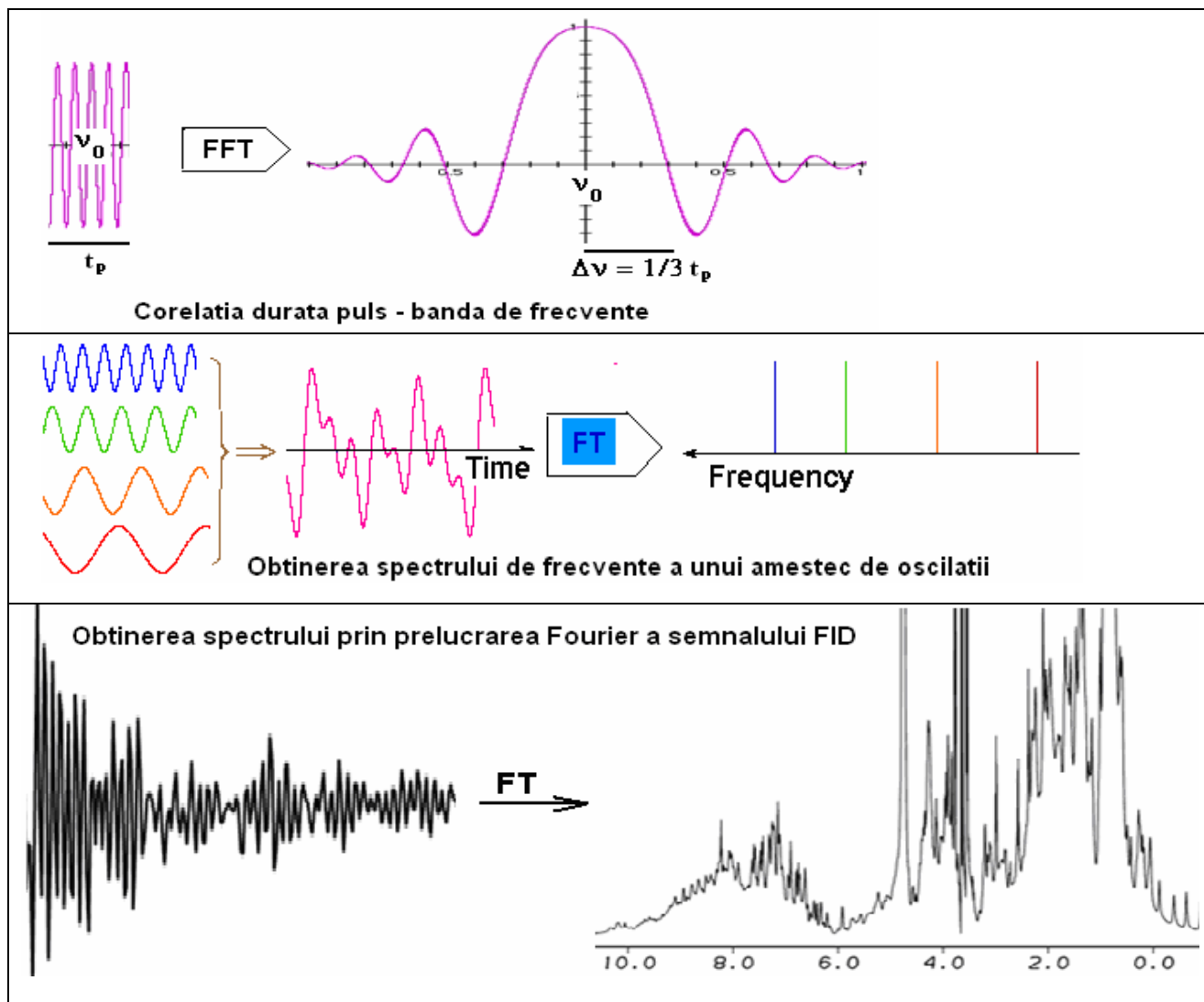


- baleajul campului magnetic si/sau baleajul frecventei
- bobine separate de generare si receptie a campului de r.f. sau
- metoda unei singure bobine introdusa intr-o puncte TT de r.f.
- detectie de faza
- domenii de baleaj specifice speciei nucleare: max. 15 ppm pentru protoni, dar sute de ppm pentru nucleii "grele"
- electromagneti sau magneti permanenti (max. 100 MHz pentru protoni)

5.2.3. Aparatura cu excitare cu impulsuri de r.f. si analiza Fourier a raspunsului probei



Explicarea excitarii cu impulsuri de r.f., banda de frecventa asociata, generarea spectrului in frecventa prin transformarea Fourier a semnalului de respuns al probei (FID).



6. Modelul vectorial (clasic) al miscarii spinilor in camp magnetic

	<p>Misarea de precesie cu frecventa $\omega = \gamma B_0$ a unui spin in campul</p>
	<p>Cele 2 stari de orientare, α si β, corespunzatoare numerelor de proiectie $+1/2$ si $-1/2$, ale unui sistem de spini in camp magnetic. Situatia este echivalenta si este reprezentata in excitarea cu impulsuri prin vectorul magnetizare neta M_0.</p>
	<p>Excitarea in campul de r.f. face ca vectorul M_0 sa formeze un unghi diferit de 0 cu vectorul camp B_0. In figura este prezentata revenirea prin relaxare la paralelism, dupa incetarea campului de r.f..</p>

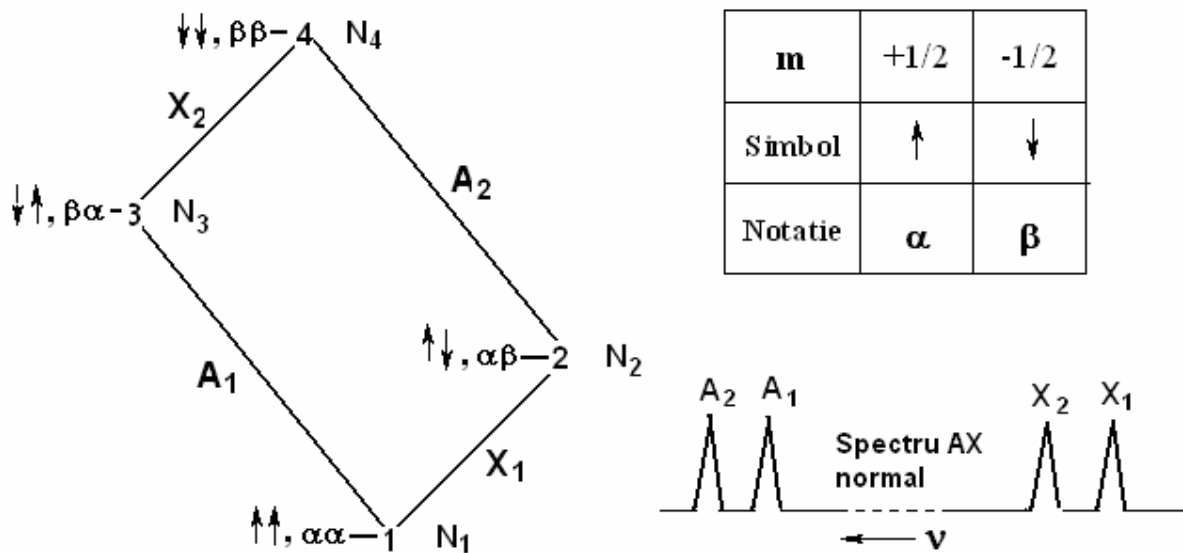
7. Spectre de RMN multipla

B_2 – Intensitatea campului de r.f. pt iradierea secundara

7.1. Spectre de Dubla RMN, variante 1D: Transfer de populatii: $\gamma B_2 < 1/T_2$; Tikling: $\gamma B_2 > 1/T_2$; Indor: $\gamma B_2 \approx 1/T_2 \pm \varepsilon$; Decuplaj de spin: $\gamma B_2 \gg \sum J_i$

Exemplificari pe un sistem de 2 spini cuplati, AX

Diagrama de nivele energetice si spectrul normal:



Starile de spin, nivele energetice, populatiile

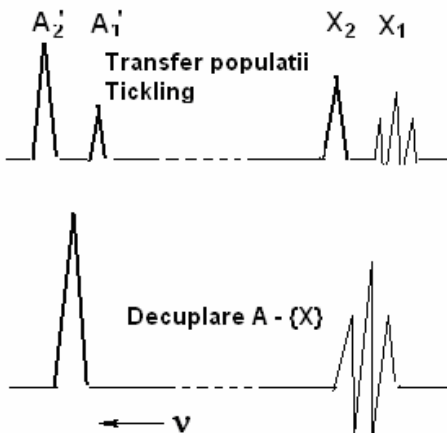
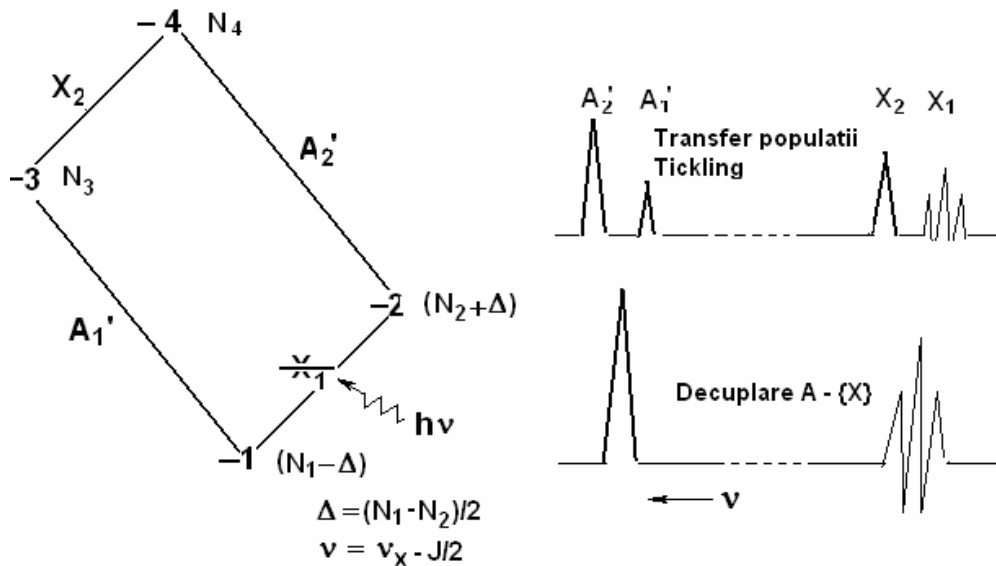
Nivel	Stari de spin Σm_i	Notatii stare	Energia (frecventa)	Populatia normala	Populatia cu X ₁ irad.
1	+1/2 +1/2 = +1	αα	$-\nu_A/2 - \nu_X/2 + J/4$	N ₁	N ₁ - Δ
2	+1/2 -1/2 = 0	αβ	$-\nu_A/2 + \nu_X/2 - J/4$	N ₂	N ₂ + Δ
3	-1/2 +1/2 = 0	βα	$+\nu_A/2 - \nu_X/2 - J/4$	N ₃	N ₃
4	-1/2 -1/2 = -1	ββ	$+\nu_A/2 + \nu_X/2 + J/4$	N ₄	N ₄

$$\nu_i = -m_A \nu_A - m_X \nu_X + m_A m_X J \quad \Delta = (N_1 - N_2)/2$$

Tranzitii, frecvente, intensitati

Nivele implicate	Notatii tranzitii	Frecvente tranzitii	Intensitati normale	Intensitati cu X ₁ saturata
1-2	X ₁	$\nu_X - J/2$	N ₁ - N ₂	N ₁ - N ₂ - 2Δ = 0, anulata
3-4	X ₂	$\nu_X + J/2$	N ₃ - N ₄	N ₃ - N ₄ , neschimbata
1-3	A ₁	$\nu_A - J/2$	N ₁ - N ₃	N ₁ - Δ - N ₃ < N ₁ - N ₃ , micsorata
2-4	A ₂	$\nu_A + J/2$	N ₂ - N ₄	N ₂ + Δ - N ₄ > N ₂ - N ₄ , crescuta

Spectre cu tranzitia X_1 iradiata

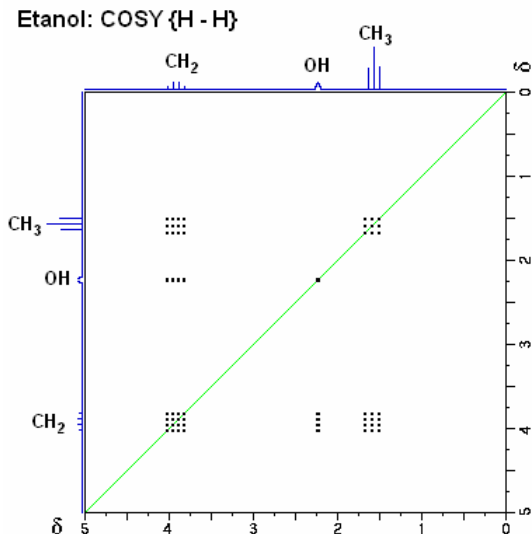


Spectre NOE

Efectul Overhauser Nuclear este caracteristic sistemelor de nucleu cuplate dipolar, de dorit fiind ca cuplajele scalare sa fie complet absente.

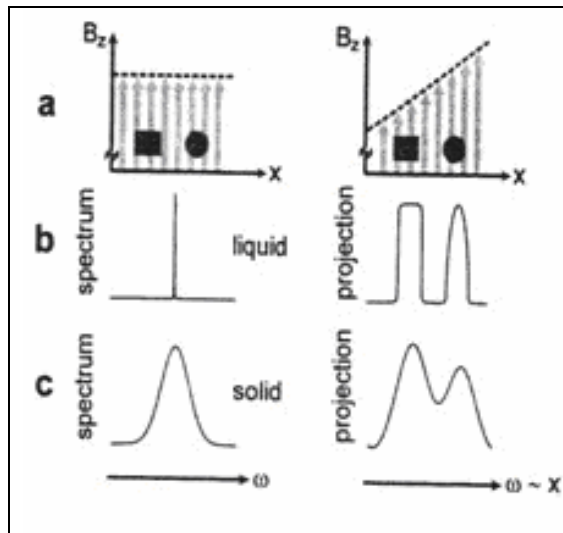
7.2. Spectre de Dubla RMN, tehnici 2D

7.2.1. Sisteme homonucleare: COSY { Correlation Spectry, H – H}; TOCSY { Correlation Spectry, H – H}; NOESY {Relaxare H – H}



7.2.2. Sisteme heteronucleare: DEPT { Distortionless Enhancement by Polarization Transfer H – C}; COSY {H – C}; HMQC { Heteronuclear Multiple Quantum Correlation, C – H}; HSQC { Heteronuclear Single Quantum Correlation, C – H}; HETCOR Heteronuclear Corr.

8. Principiile imagisticii RMN (MRI)



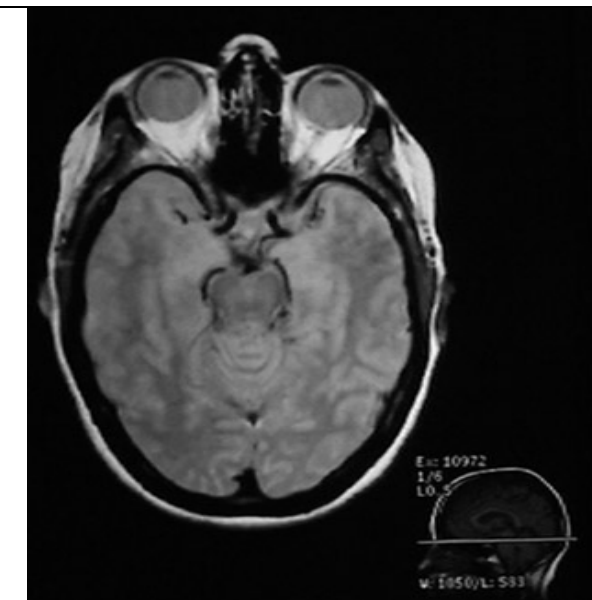
Efectul gradientului campului magnetic aplicat asupra semnalului RMN la lichide si solide.

Proba contine doua impuritati cu pozitii fixe, una dreptunghiulara, celalalta rotunda (a).

Se prezinta forma semnalului RMN pentru proba lichida (b) si solida (c) in cazul campurilor omogeni si cu gradient dupa axa Oz.

Mentiri:

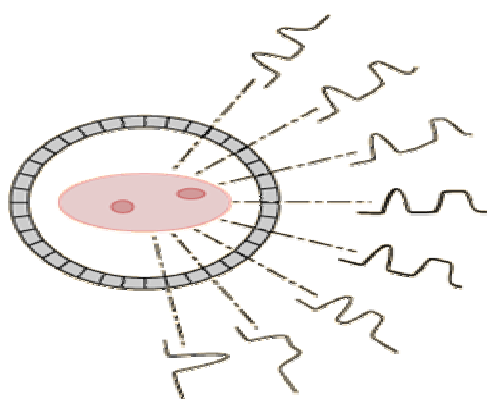
- Pozitiile impuritatilor in medii lichide nu sunt stabile decat rareori (cazul plutirii).
- Fixarea 3D a "impuritatilor" necesita gradienti dupa toate cele trei axe.



Aplicatia MRI (Magnetic Resonance Imaging)

- se bazeaza pe semnalele RMN generate de protonii din proba,
- cu avantajul ca hidrogenul este in concentratie mare, atat in tesuturi vii (in jur de 80% din atomi), cat si in lumea plantelor si in materiale organice.

- In fapt imaginea este reprezentarea tridimensională a intensitatii semnalului RMN, deci a concentratiei atomilor de hidrogen, in proba, dar
- tehnici actuale iau in considerare si timpul de relaxare spin-retea.



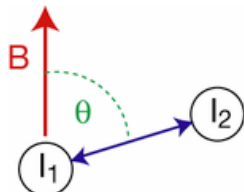
In afara aspectelor instrumentale,

- principalul aspect fiind realizarea de campuri magnetice de volum mare si relativ intense,
- trebuie facuta localizarea semnalelor, ceea ce
- s-a realizat prin aplicarea repetata a unui camp magnetic de gradient slab.

- Secventele de gradient sunt asociate cu straturi din proba, permitand descompunerea imaginii 3D in imagini 2D sucesive.

- Un alt avantaj al semnalelor protonilor este ca acestea sunt foarte sensibile la schimbarile de camp magnetic, ceea ce face ca panta gradientilor sa fie rezonabila.

9. RMN de inalta rezolutie pe solide (SS-NMR)



$$J_{\text{dip}} = \frac{\mu_1 \mu_2 (1 - 3 \cos^2 \beta_{12})}{d^3}$$

Perechea de nucleii	Inter-distanta	Constanta de cuplaj
H – H	10 Å	120 kHz
H – C	1 Å	30 kHz
H – C	2 Å	3,8 kHz

Probele solide nu prezinta in mod normal spectre de inalta rezolutie deoarece **lipsa mobilitatii moleculeculare face ca efectele interactiilor anizotrope sa nu se medieze la zero**:

- **Anizotropia ecranarii electronice sau de deplasare chimica** este o caracteristica locala a fiecarui nucleu. Provine din campurile magnetice create de miscarea indusa de campul exterior electronilor din orbitalii moleculari.

- **Cuplajul magnetic dipolar internuclear**. Este o interacție dependenta de momentele magnetice de dipol, de distanta dintre nucleii si de directia axei internucleare fata de campul exterior.

- cuplajele magnetice dipolare sunt mult mai mari decat separarea semnalelor probelor lichide:

$$J_{\text{dipolar}} \gg \Delta\delta$$

- semnalele sunt foarte largi datorita relaxarii rapide spin retea prin interacțiile dipolare;

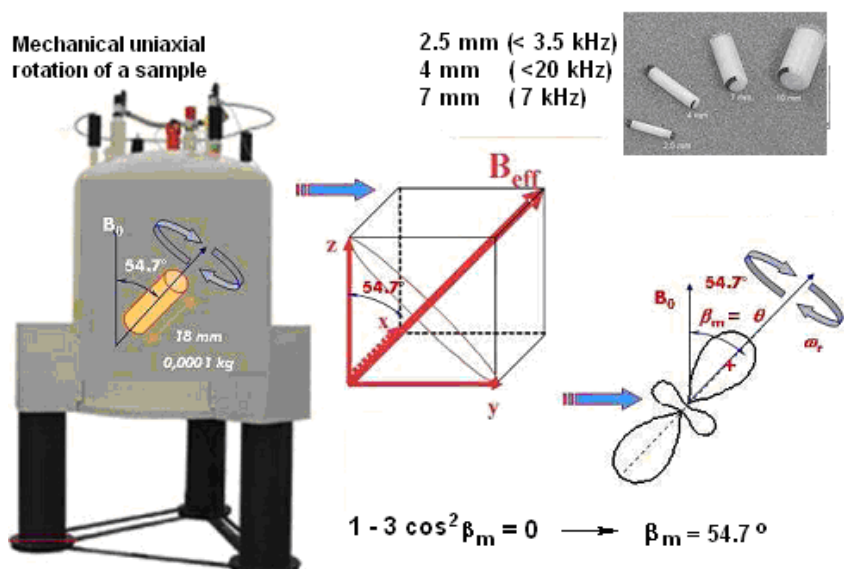
$$T_{\text{dipolar}} < 10^{-4} \text{ s}, \text{ ceea ce inseamna largimi de } 10^4 \text{ Hz} \gg \Delta\delta$$

- **Cuplajul indirect spin-spin sau scalar**, care, insa, este mult mai mic decat cel dipolar sau direct.

- **Cuplajul cuadrupolar: characteristic nucleelor cu $I > \frac{1}{2}$** care sunt inconjurati de distributii nesferice de electroni. Mult mai putin studiate, au putut fi obtinute spectre de HR de astfel de nuclee prin tehnici recente: MQMAS (Multiple Quantum MAS) si STMAS (Satellite Transition MAS)

Tehnici de "anulare" a efectelor interactiilor anizotrope

(1) Tehnica **MAS (Magic Angle Spinning)**: rotirea rapida a probei dupa o axa care face asa-numitul unghi magic cu campul magnetic aplicat.



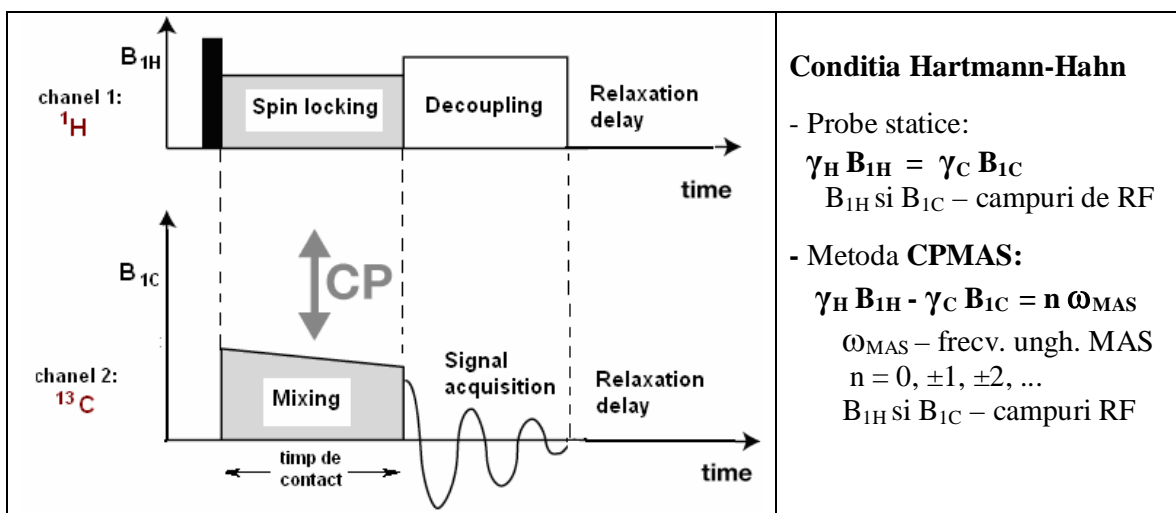
MAS indeparteaza efectele, in speciale ale anizotropiei ecranarii electronice , dar si ale cuplajului dipolar, intrucat in ambele cazuri intensitatea efectelor contine factorul $(1 - 3 \cos^2 \beta_{ij})$. Se mai poate spune ca **tehnica MAS realizeaza decuplarea de cuplajele dipolare**.

Efecte MAS nedorite: Prezenta de sateliti daca viteza MAS, ω , nu este mult mai mare decat latimea spectrului observat, ω_R , adica $\omega > \omega_R$.

(2) Tehnica Cross-polarization (CP) sau transferul de polarizare prin care se realizeaza transferul de polarizare (alinierea spinilor dupa campul magnetic aplicat) de la nucleei cu raport giromagnetic mare (1H , ^{19}F) la nucleii cu raport giromagnetic mic (^{13}C , ^{15}N).

Parametri experimentali importanți: B_{1H} și B_{1C} , precum și **timpul de contact**.

Cresterea maxima de semnal pt nucleele cu γ mic: $\gamma_{\text{mare}} / \gamma_{\text{mic}}$



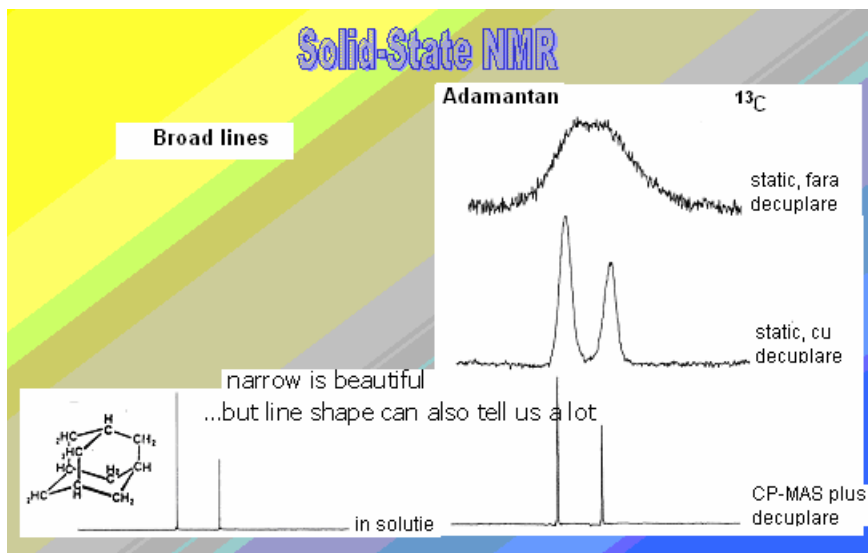
(3) Tehnica decuplarii (cu pulsuri de RF):

- mai eficienta decat MAS pentru indepartarea cuplajelor dipolare heteronucleare.

SS-NMR a fost in special utilizata pentru carbon-13, unde exista avantajul interactiilor dipolare C-C foarte slabe datorita rarefierii naturale (1.1%).

Ulterior s-au obtinut spectre SS si de la nucleele de hidrogen:

- crescand viteza MAS, dar diminuand diametrul probei,
- diluand proba prin deuterare si/sau amestecare cu pulberi nemagnetice,
- elaborand programe de indepartare a satelitilor MAS., etc



Partea a II-a. Utilizarea metodelor RMN in domeniul polimerilor

1. Introducere

1.1. Inceputul stiintei polimerilor

Un **polimer** este o molecule foarte mare continand sute sau mii de atomi, formata prin inlantuirea repetitiva de unitati structurale sau sevante ale acestora in structuri liniare sau retele.

In majoritatea cazurilor, astfel de molecule au forma de **lanturi foarte lungi** constituite din atomi, cei mai multi fiind atomi de carbon, conectati de regula prin legaturi simple. Unitatile structurale sunt denumite **meri**. **Monomerul** este molecule cu un singur mer.

“Materialele polimere”, precum fibrele naturale si latexurile, sunt utilizate din preistorie, dar **conceptul de “polimer”** a fost una din marile idei abia ale secolului **XX**. A fost propus si argumentat in 1920 de catre Hermann Staudinger (Premiul Nobel in 1953). Extinderea notiunii de polimer in domenii diferite ale stiintei si tehnologiei a condus la conceptul de **“macromolecula”**, care intr-un anume sens este mai larg decat cel de polimer.

Biologia moleculara a descoperit ca proteinele si acizii nucleici poseda structuri macromoleculare, iar studierea unor materiale naturale organice a dus la biopolimeri precum polizaharidele, asa cum sunt celuloza, amidonul, chitosanul, dextranul si pullulanul, ca sa numim numai cativa dintr-o lista cu aproape suta de pozitii de produse ale lumii vegetale. Dar nu putini sunt si produsii macromoleculari separati din biomasa animaliera.

Industria chimica a dezvoltat tehnologii pentru sinteza de polimeri si pentru modificarea polimerilor naturali, rezultand materialele plastice, fibrele sintetice, fibrele artificiale, cauciucurile, lacurile si adezivii, ca sa enuntam numai cateva din materialele pe baza de polimeri.

Stiinta polimerilor a introdus si dezvoltat **notiunea de structura chimica**, de fapt de **structura moleculara**. Pe de alta parte, **tehnologia prelucrarii si utilizarii polimerilor** se bazeaza pe **morfologia starii solide**, adica pe structura fizica.

Spectroscopia de RMN a solutionat la inceput problemele de structura chimica, facand aceasta cu excelenta si in prezent, dupa mai bine de o jumata de secol. In plus, in ultimele 2-3 decenii, au fost elaborate **tehnici RMN** cu care se obtin informatii despre **structura starii solide**. Dupa cum se va vedea, informatiile si datele furnizate de aceasta metoda sunt in buna parte **unice**, iar unde este in concurenta cu alte metode, **este mai rapida, mai ieftina si cu o doza mare de certitudine**.

1.2. Observatii RMN la mijlocul anilor ‘960, la 10 ani dupa aparitia spectrometrelor comerciale

Spectrele polimerilor sunt asemanatoare cu spectrele modelelor lor mic moleculare, dar **semnalele sunt mai mari**, deci spectrele mai dificil de interpretat.

In afara de dispersia moleculara, o cauza importanta a largirii semnalelor polimerilor este medierea imperfecta la zero a interactiilor magnetice dipolare datorita mobilitatii moleculare mai reduse decat in cazul moleculelor mici. Din fericire, in cazul solutiilor de polimeri, efectul acestei cauze a putut fi semnificativ redus prin
- cresterea temperaturii si
- diminuarea concentratiei probei.

Mai trebuie precizat ca semnalele carbonului-13 sunt mult mai putin afectate de mobilitatea moleculara redusa decat semnalele protonilor.

Spectrele polimerilor obtinute in acei ani au dezvaluit continutul, la inceput potential, in informatii unice privind structura lor moleculara – un fapt care a motivat perfectionari in aparatura si metoda.

In cazul **homopolimerilor**, desi contin un singur tip de unitati structurale, spectrele pot furniza informatii unice privind dispunerea acestora in si fata de lantul principal, anume:

- structuri anormale cap-cap si coada-coada,
- stereoregularitate sau tacticitate, in cazul polimerilor cu centre asimetrice pe lant (vinilici),
- ramificatii,
- modul de incatenare a monomerilor dienici, iar

in cazul **copolimerilor**:

- cosecentare,
- cotacticitate,
- mecanisme de copolimerizare, etc.

Pentru **biopolimeri**, deja se incerca identificarea aminoacizilor din proteine prin analiza capetelor rezultate in urma degradarii termice controlate.

Realizarile ale anilor '960 au fost motivate de interesul pentru rezolvarea problemelor polimerilor sintetici si naturali, dar in special ale biopolimerilor. Principale au fost:

- perfectionarea aparaturii prin cresterea intensitatii campului magnetic aplicat, frecventa pentru protoni crescand de la 40 la 60 MHz si chiar 100 MHz, utilizand electromagneti,
- programele de simulare bazate pe metoda hamiltonianului de spin,
- elaborarea de tabele si formule de estimare a deplasarilor chimice,
- cuplarea on-line cu calculatorul pentru cresterea raportului S/N, urmarind obtinerea de spectre de carbon, la inceput prin acumulare lenta in modul de excitate clasica, dar
- reusindu-se la sfarsitul perioadei obtinerea primelor spectre de i. r. prin **tehnica excitarii cu impulsuri de r.f., completata de transformarea Fourier rapida a raspunsului probei.**

Ultimele realizari au motivat cresterea frecventei la 200-220 MHz, fapt posibil prin utilizarea **criomagnetilor**.

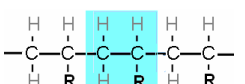
Excitarea in impulsuri de r.f. si utilizarea criomagnetilor a constituit saltul major in aparatura RMN care, pe langa detalierea aspectelor de structura moleculara si supramoleculara, a facut posibile spectroscopia pe solide si tomografia de RMN.

1.3. Structura moleculara (chimica) a polimerilor

Polimerii in istorie

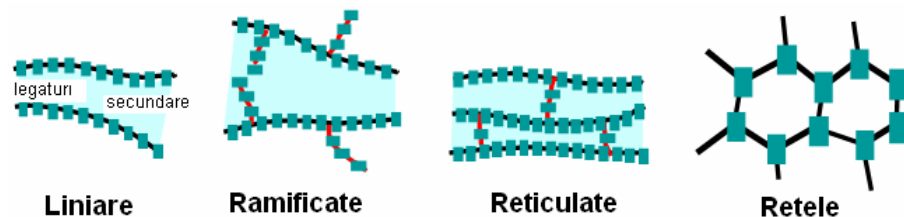
Polimeri naturali		
- lemnul	- pielea	- lana
- bumbacul	- cauciucul	- matasea

Reprezentarea structurii chimice la polimeri si exemple

poli mer multe unitati care se repeata 	R = H poli(etilena) R = CH ₃ poli(propilena) R = C ₆ H ₅ poli(stiren) R = Cl poli(clorura de vinil) R = COOCH ₃ poli(acrilatul de metil)
--	--

Forme de structuri moleculare (Homopolimerii)

Tipuri de lanturi macromoleculare



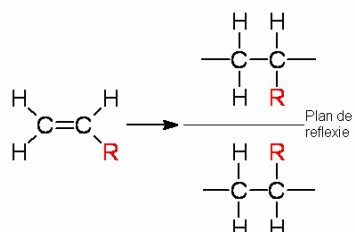
Modificarea formei lanturilor liniare

Conformatia : Schimbarea se realizeaza prin rotirea in jurul legaturilor (simple)



Configuratie : Schimbarea configuratiei necesita ruperi de legaturi

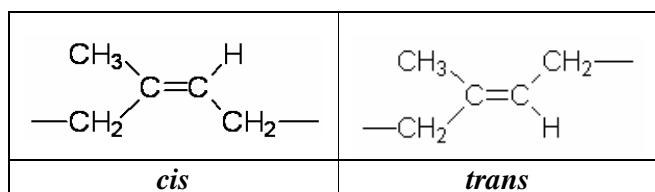
Stereoizomerism



Tacticitate : Stereoregularitatea lantului

Izotacticitate	Grupele R dispuse de aceiasi parte a lantului	$\begin{array}{cccccccc} \text{H} & \text{H} \\ & & & & & & & \\ -\text{C}- & -\text{C}- \\ & & & & & & & \\ \text{H} & \text{R} & \text{H} & \text{R} & \text{H} & \text{R} & \text{H} & \text{R} \end{array}$
Sindiotacticitate	Grupele R alterneaza	$\begin{array}{cccccccc} \text{H} & \text{H} & \text{H} & \text{R} & \text{H} & \text{H} & \text{H} & \text{R} \\ & & & & & & & \\ -\text{C}- & -\text{C}- \\ & & & & & & & \\ \text{H} & \text{R} & \text{H} & \text{H} & \text{H} & \text{R} & \text{H} & \text{H} \end{array}$
Atacticitate	Grupele R dispuse la intamplare	$\begin{array}{cccccccc} \text{H} & \text{H} & \text{H} & \text{H} & \text{H} & \text{R} & \text{H} & \text{H} \\ & & & & & & & \\ -\text{C}- & -\text{C}- \\ & & & & & & & \\ \text{H} & \text{R} & \text{H} & \text{R} & \text{H} & \text{H} & \text{H} & \text{R} \end{array}$

Izomerie cis/trans : Polimerii dienici

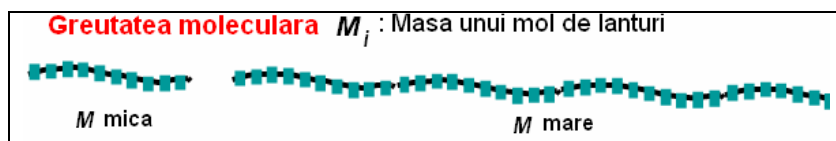


Copolimerii : doi monomeri (A si B) sau mai multi polimerizati impreuna

Secventarea

Random	A si B dispusi la intamplare	
Random	A si B alterneaza	
Bloc	A si B formeaza blocuri mari	
Grefat	lanturi B grefate pe scheletul A	

1.4. Masa moleculara



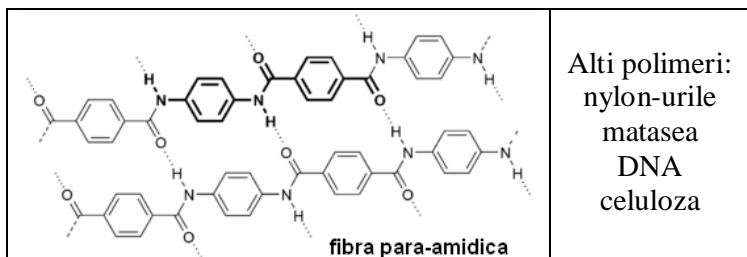
Mase moleculare medii		
$\overline{M}_n = \frac{\text{total wt of polymer}}{\text{total #of molecules}}$	Cantitatea de polimer M_n , media numerica M_w , media gravimetrica	$x_i = n_i / N$ fractia numerica de molecule cu masa M_i
$\overline{M}_n = \sum x_i M_i$ $\overline{M}_w = \sum w_i M_i$ Polidispersitatea: $\overline{M}_w / \overline{M}_n$		$w_i = n_i M_i / M$ fractia gravimetrica de molecule cu masa M_i

Gradul de polimerizare mediu
$n_n = M_n / m$ si $n_m = M_w / m$ cu m – masa moleculara a unitatii structurale

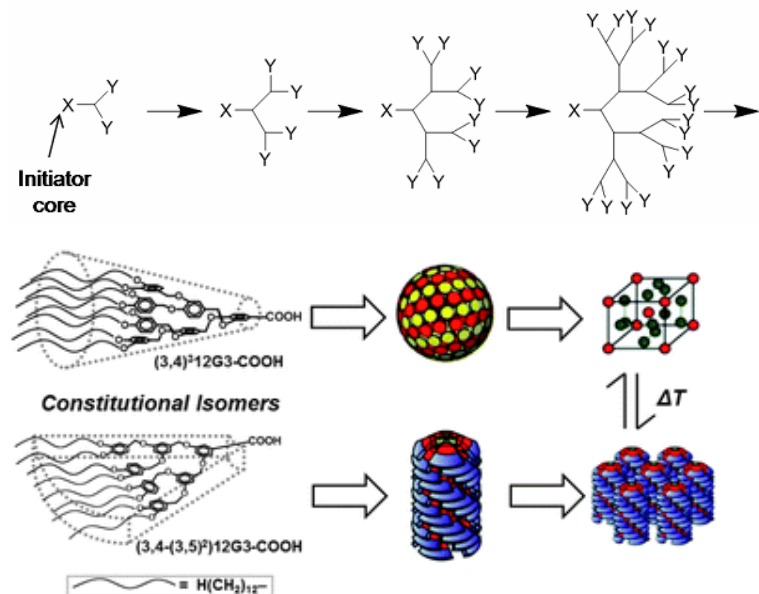
1.5. Structuri supramoleculare

Polimeri cu lanturi auto-asociate

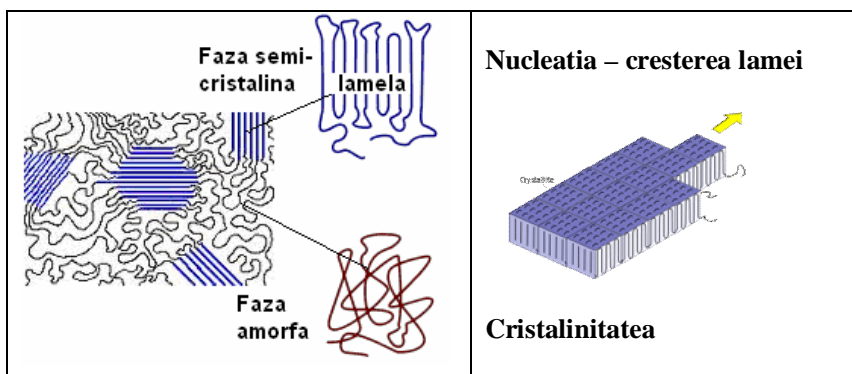
prin interacții ne-covalente (coordonatie, π - π , H-bond)



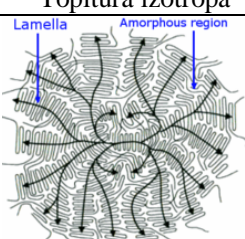
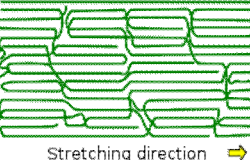
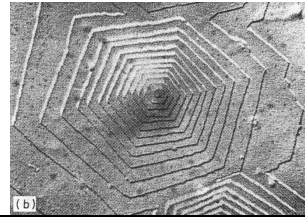
Dendrimerii și asamblarea acestora



1.6. Morfologia stării solide (structura fizică)



Forme de crestere a lamelelor

Topitura izotropa	Topitura anizotropa	Solutie diluata
		
Sferulite	Fire/filme orientate	Monocristale

1.7. Proprietati pentru prelucrare

(1) Solubilitatea	(1) $T_g < T_{prelucrare}$ (2) $T_{prelucrare} < T_{degradare}$
- depunerea de filme/pelicule din solutie - filarea din solutie	- injectia din topitura - extruderea

1.8. Proprietati de utilizare

Mecanice: modulul Young, alungirea la rupere, forta specifica de rupere, compresibilitatea, duritatea,

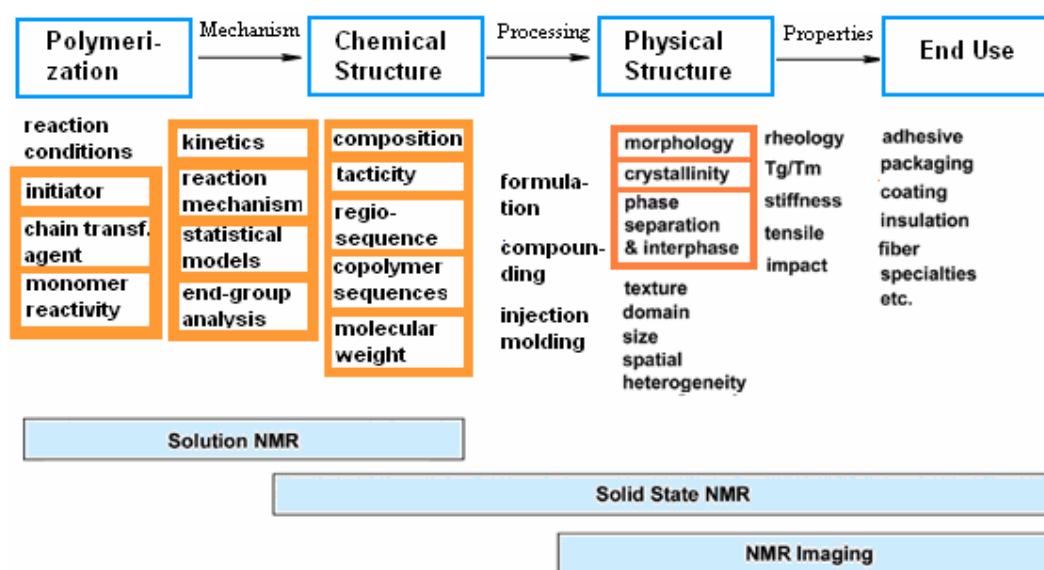
Termice: T_g , $T_{degradare}$, temperatura de inmuiere, coeficientul de Dilatare,

Electrice: proprietati dielectrice (constanta, pierderile, rigiditatea)....

Optice: transparenta (daca e cazul)

Altele: rezistenta chimica si la solventi, compatibilitatea,

1.9. Utilitatea metodelor RMN in domeniul polimerilor



Tehnici RMN pe lichide, solide si de vizualizare pot fi folosite in mai toate etapele, de la polimerizare si pana la comportarea la utilizare.

Se vor face referi in special la aspectele incadrate.

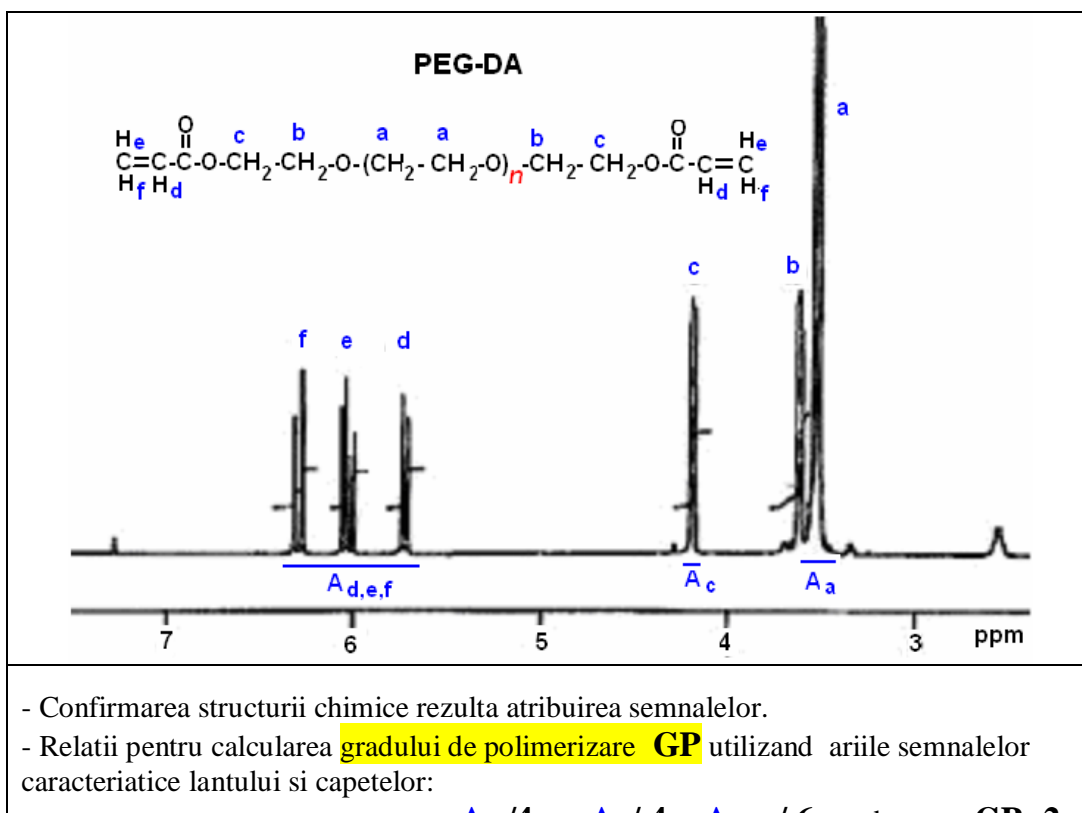
2. Spectroscopie RMN pe polimeri in solutie

2.1. Identificari de structura chimica si determinari de masa moleculara

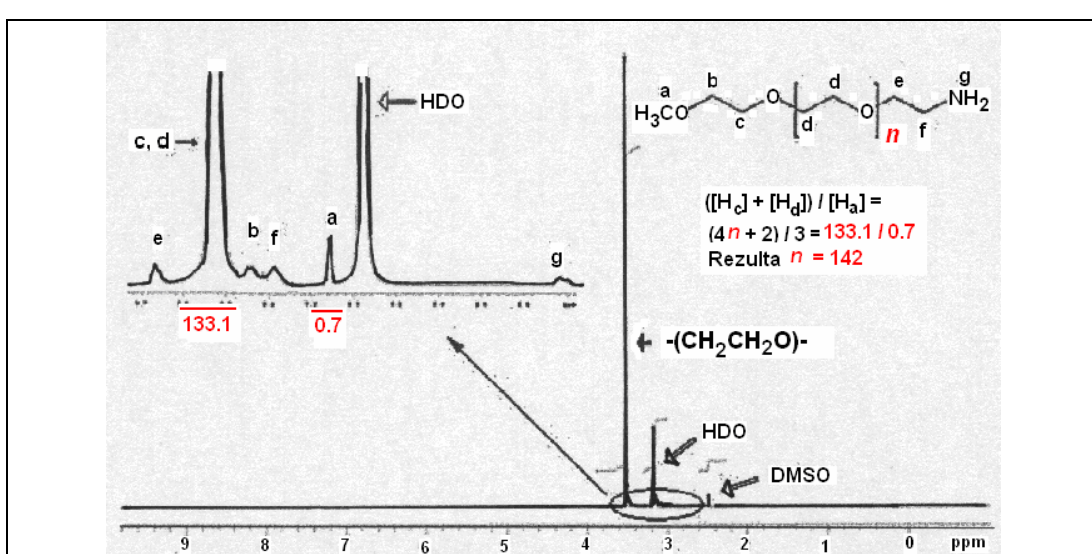
- 2.1.1. Cazul homopolimerilor
- 2.1.2. Cazul copolimerilor bloc
- 2.1.3. Cazul copolimerilor statistici

2.1.1. Cazul homopolimerilor

Poli(etilenglicoldiacrilat)

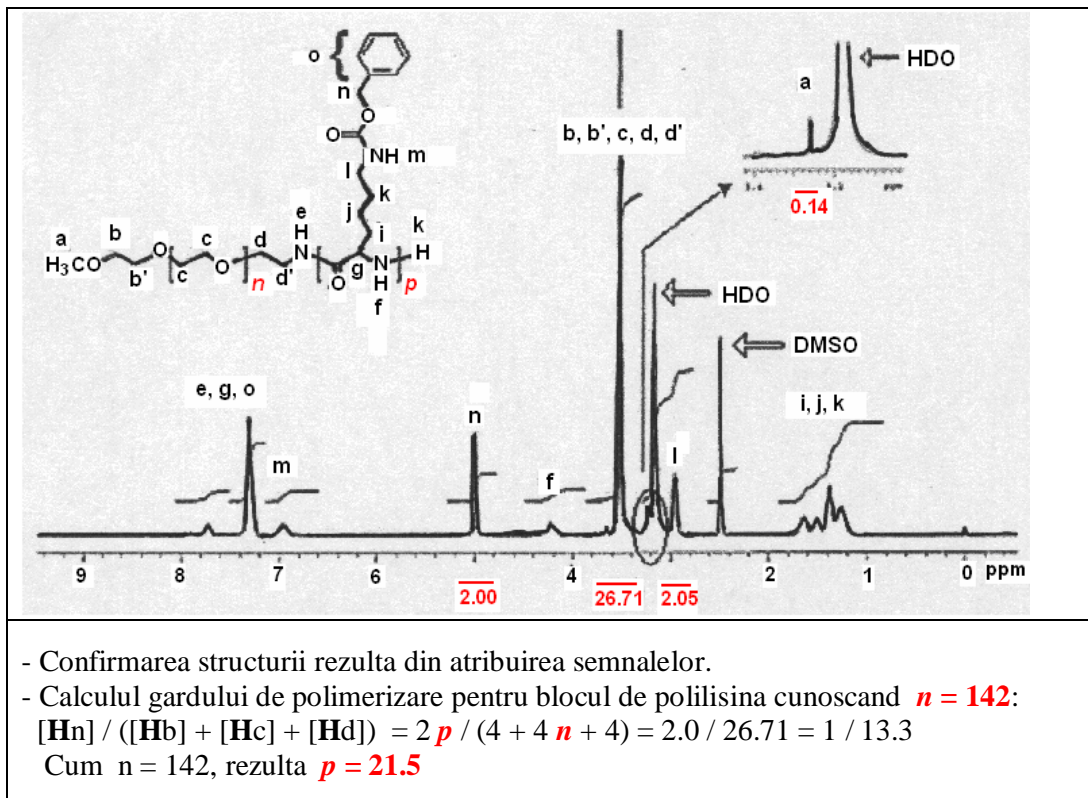


α -Metoxi- ω -amino-poli(etylenglicol)



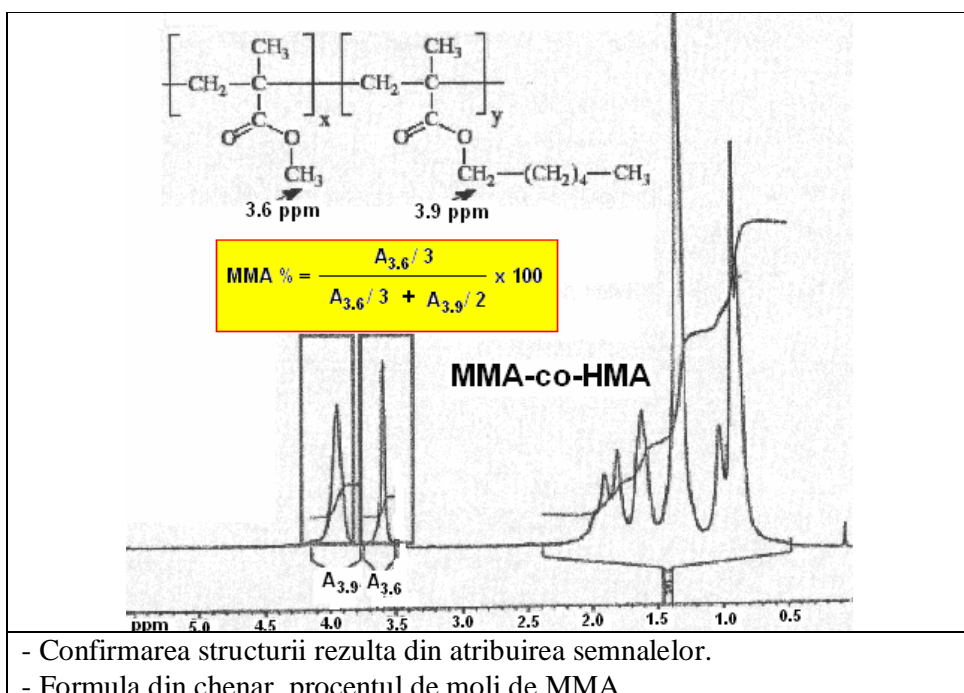
2.1.2. Cazul copolimerilor bloc

α -Metoxi-poli(etylenglicol)-bloc-co-poli- ϵ -benziloxicarbonil-L-lisina
obtinut plecand de la α -metoxi- ω -amino-poli(etylenglicol), care are $n = 142$

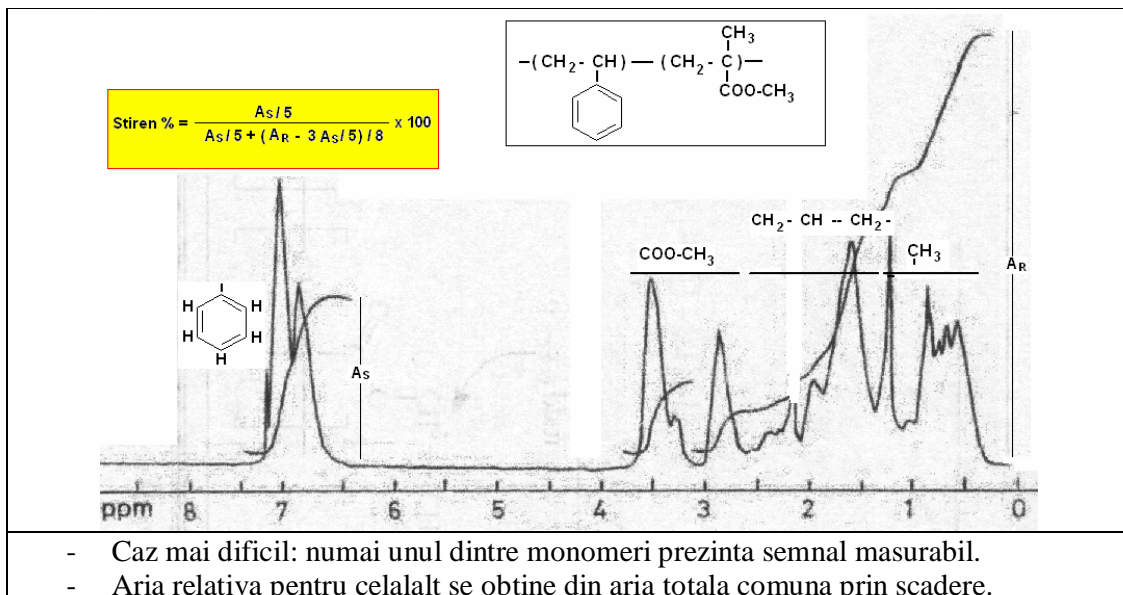


2.1.3. Cazul copolimerilor statistici (spectre de hidrogen)

Poli(metil metacrilat-co-hexilmethacrilat)



Poli(metil metacrilat-co-stiren)



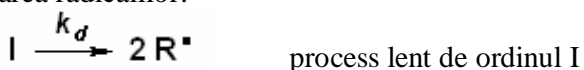
2.2. Studii de cinetica

2.2.1. Cinetica polimerizării radicalice (FRP - Free Radical Polymerization)

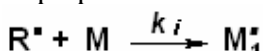
(i) Reactii, ecuatii si expresii

Initierea:

- Generarea radicalilor:



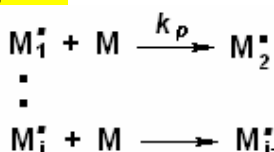
- Initierea propriu-zisa:



process rapid care se desfosoara cu viteza

$$R_i = d[M^{\cdot}] / dt = 2 f k_d [I] \quad (1)$$

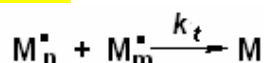
Propagarea:



proces rapid de crestere a lantului cu viteza

$$R_p = k_p [M] [M^{\cdot}] \quad (2)$$

Terminarea:



prin recombinare si disproportionare cu viteza globala $R_t = 2 k_t [M^{\cdot}]^2$ (3)

Cazul starii stationare, cand $R_i = R_t$ (4)
rezultand viteza globala de polimerizare

$$R_p = -d[M]/dt = k_p [M] [M^{\cdot}] = k_p [M] (f k_d [I] / k_t)^{1/2} \quad (5)$$

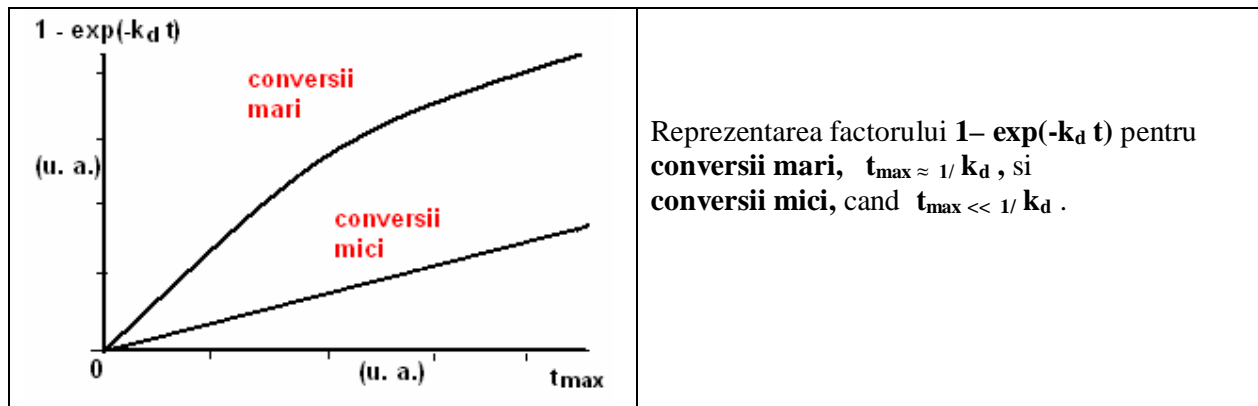
Ecuatii diferențiale și soluții integrale:

- Descompunere inițiator: $-\frac{d[I]}{dt} = k_d [I]$ cu soluția $[I] = [I_0] \exp(-k_d t)$ (6)

- Propagarea în ss. are ecuația $-\frac{d[M]}{dt} = k_p [M]$ ($f k_d [I]/k_t$) $^{1/2}$ (7)

cu soluția $\ln ([M_0 / [M]]) = 2 k_p (f [I_0] / k_d k_t)^{1/2} (1 - \exp(-k_d t/2))$ (8)

unde $[M]_0$ este concentrația initială de monomer.

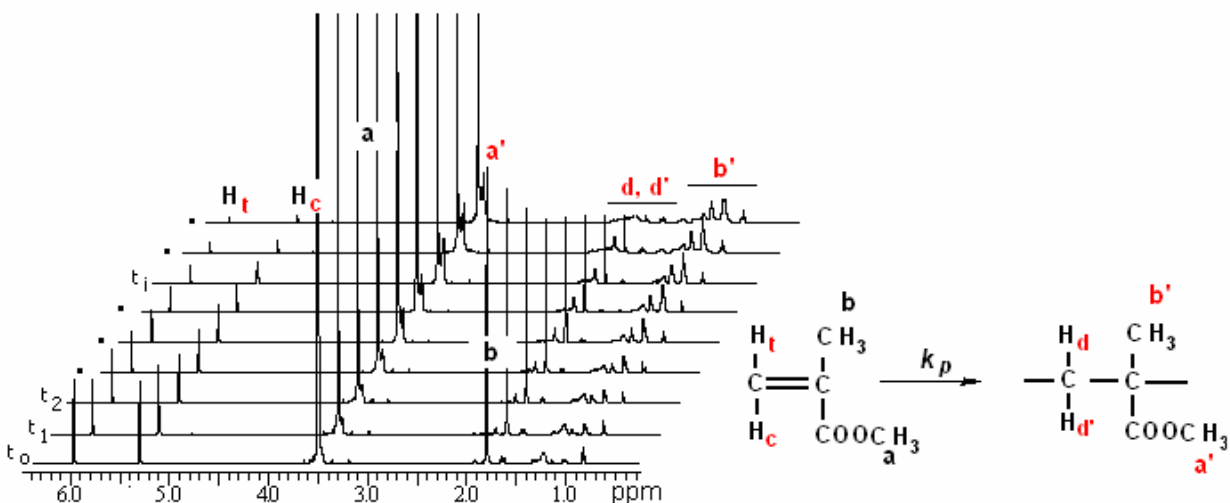


Lungimea lantului kinetic în stare stationară descrește cu $[I]^{1/2}$, f , k_d și k_t , deci cu **temperatură**:

$$v = R_p / R_i = 0.5 k_p [M] / (f k_d k_t [I])^{1/2} \quad (9)$$

Efectul Trommsdorff: autoaccelerare, deoarece un macroradical, M_n , difuzează mai lent decât o molecule de monomer, M

(ii) Monitorizarea polimerizării cu ajutorul spectroscopiei RMN



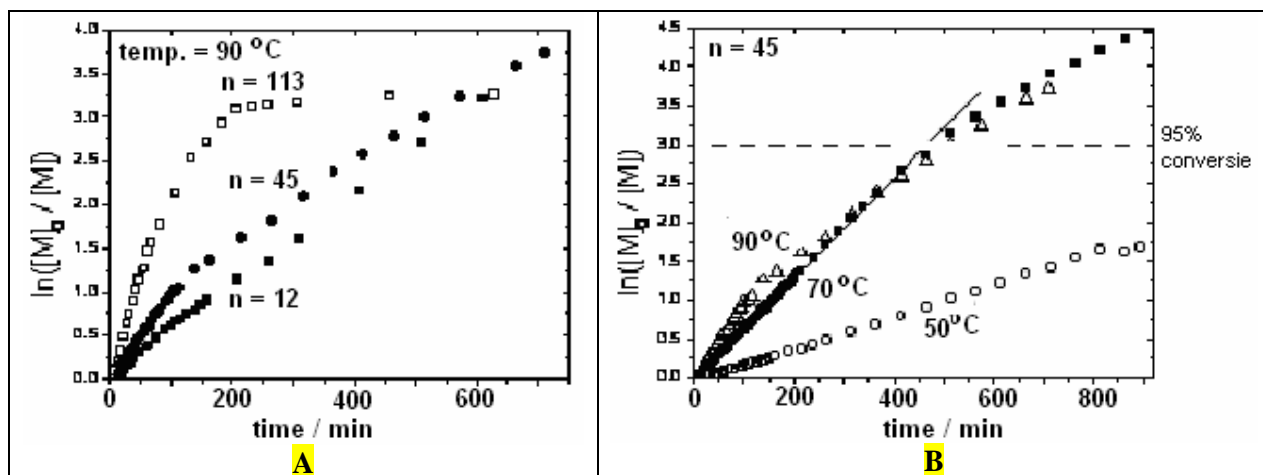
Spectre RMN- 1 H înregistrate in-situ la diversi timpi de reacție la polimerizarea MMA.

Determinarea raportului $[M_0] / [M]$ din spectre RMN- 1H inregistrate in-situ

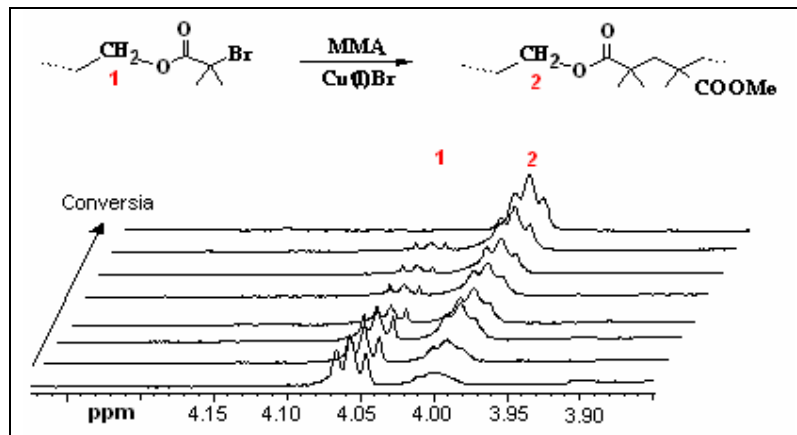
la diversi timpi de reactie, (pentru polimerizarea MMA) necesita:

- cel putin cate un semnal bine separat, atat pentru monomer, cat si pentru unitatea structurala a polimerului;
- cu unele exceptii (vezi mai tarziu un exemplu), determinarea constantei k_d este posibila off-line, urmarind evolutia spectrului initiatorului intr-un mediu asemanator, dar care contine o componenta cu rolul de a trapa eficient radicalii;
- pentru simplitate este indicata utilizarea spectrelor la conversii mici

Valorile raportul $[M_0] / [M]$ pot fi obtinute si prin alte metode, dar **Spectroscopia RMN in-situ este cea mai precisa si comoda.**



Reprezentari conform ecuatiei (8) pentru polimerizarea radicalica vie (LFRP) a MMA: (A) la aceiasi temperatura (90°C) cu macroinitiatori de lungimi diferite: $\text{CH}_3\text{O-PEG}_n$ cu $n = 12, 45$ si 113 , si (B) cu acelasi macroinitiator ($n = 45$) dar temperaturi diferite ($90, 70$ si 50°C).



Monitorizarea conversiei macroinitiatorului $\text{CH}_3\text{O-PEG}_n$ prin aditie de monomer MMA, fapt ce permite determinarea constantei vitezei de descompunere, k_d . Desfacerea legaturii C-Br este catalizata de prezenta unei sari de Cu(I) care formeaza un complex cu atomul de brom.

2.2.2. Reactii pe polimeri

Cale interesanta spre polimeri noi

Modificarea structurii chimice la nivel de unitate structurala a unui polimer cunoscut, eventual disponibil comercial, constituie o cale facila si mai ieftina pentru obtinerea de polimeri cu proprietati noi, chimice si/sau fizice, comparativ cu succesiunea cunoscuta a operatiilor de sinteza si polimerizare de noi monomeri.

Sunt cunoscute diverse reactii chimice de modificarea polimerilor, cum ar fi, de exemplu:

- modificarea chimica a grupelor laterale fara modificarea semnificativa a lungimii acestora,
- grefarea de lanturi polimere laterale,
- alungirea, de regula heterogena, a lanturilor polimere,
- reticularea de diverse grade.

Spectroscopia RMN, incluzand si tehnici neconventionale, permite caracterizarea structurala a polimerilor rezultati, inclusiv a celor reticulati dens (insolubili), atat calitativ, cat si cantitativ, fiind cea mai versatila si precisa in obtinerea de parametri structurali precum:

- gradul de transformare a unitatilor structurale,
- densitatea si lungimea grefelor,
- compozitia de copolimer rezultata in urma reactiilor de alungirea lantului,
- structura si densitatea reticularilor.

Aplicatiile spectroscopiei de RMN in studii de modificare chimica a grupelor laterale sunt

- cele mai numeroase si avand diverse obiective,
- cele mai interesante privind mecanismele si cinetica proceselor.

Referitor la cinetica proceselor,

- acestea pot fi considerate in prima aproximatie ca fiind de ordinul 2,
 - dar au fost constatate si complicatii majore, precum:
 - o reactii paralele si reactii intermediare,
 - o dar, chiar in absenta acestora, au fost observate abateri care au fost explicate prin 3 constante de viteza asociate starilor unitatilor vecine:
 - ambele nereactionate,
 - numai una reactionata, si
 - ambele reactionate,
- constatandu-se atat efecte de incetinire, cat si efecte de accelerare.

Studiile pe sisteme cu 3 constante de viteza sunt complicate chiar prin spetroscopie RMN fiind posibile atunci cand starea vecinatatilor separa semnalele monitorizate cantitativ in componente.

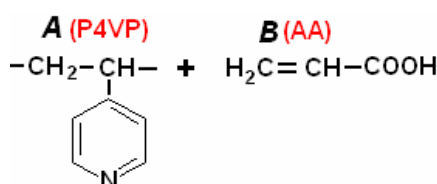
Alternativ, exista metoda elaborarii de modele cinetice teoretice si testarea acestora cu masuratorile experimentale, dand diverse valori constantelor de viteza.

Cinetica unei reactii pe polimer

Pentru ilustrare va fi prezentat cazul unui sistem in care

- influenta starii vecinatatii nu este semnificativa, dar
- modificarea chimica finala este precedata de formarea unui produs intermediu.

Obtinerea betainei dintre P4VP si AA



Notatii si determinari de concentratii

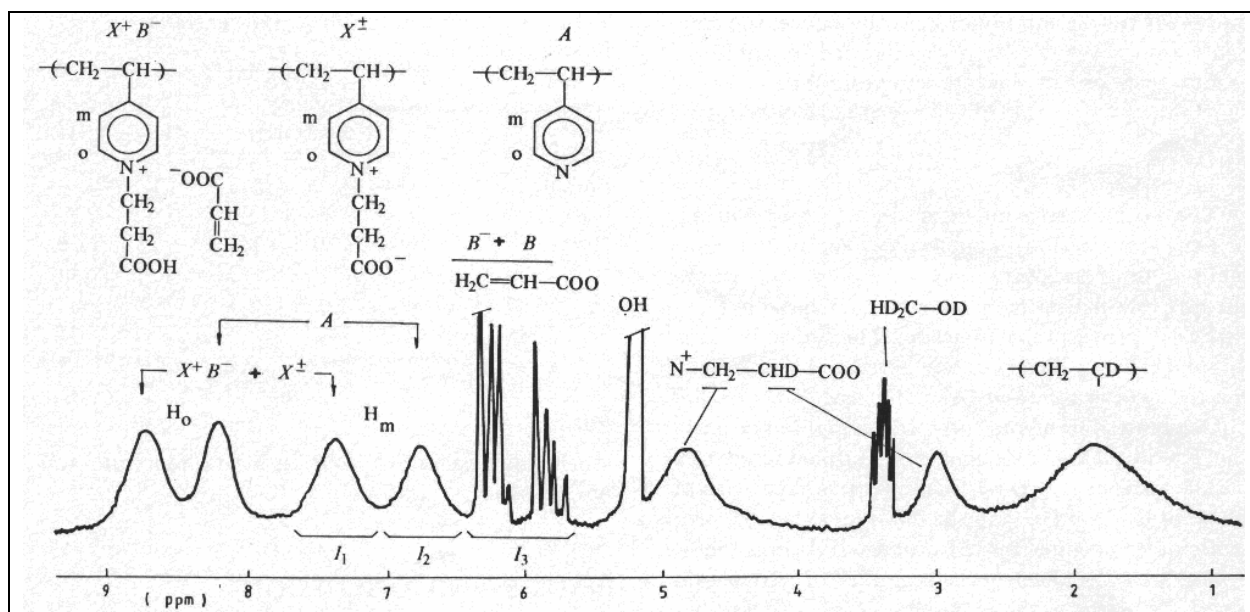
\mathbf{B}^- anionul carboxilat (al acidului)

\mathbf{X}^+ cationul cuaternar de amoniu rezultat prin aditia la acid

\mathbf{X}^\pm unitatea zwitterionica sau betainica

Concentratii initiale absolute	Concentratii momentane normalizate	Determinari concentratii relative din spectre
$[A]_0 = a$	$x_1^* = [X^+ B^-]/a$	$[A]_0 = (I_1 + I_2)/2$
$[B]_0 = b$	$x_2^* = [X^\pm]/a$	$[A] = I_2/2$
$r = b/a$	$x^* = x_1^* + x_2^*$	$[X^+ B^-] = I_3/3$ $[X^\pm] + [X^+ B^-] = I_1/2$

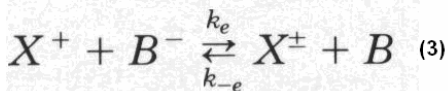
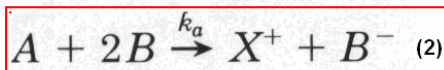
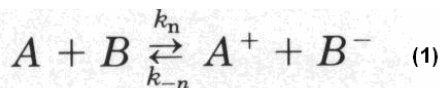
Spectrul de hidrogen al unei poli(4-vinilpiridinei) reactionate cu acid acrilic



Dificultate la determinarea in-situ de concentratii:

- intr-un polimer purificat pot determinate concentratiile relative de unitati \mathbf{A} , $\mathbf{X}^+ \mathbf{B}^-$ si \mathbf{X}^\pm , dar
- in mediul de reactie pot fi determinate numai concentratiile $[A]$ si suma ($[X^\pm] + [X^+ B^-]$), cel putin din spectrele de hidrogen, unde semnalele pentru \mathbf{B} si \mathbf{B}^- coincid.

Reactiile care pot avea loc pentru formarea structurii zwitterionice:



Ecuatiile cinetice si solutia integrala a acestora contin 3 parametri:

- constanta reactiei de aditie, k_a si
- doua rapoarte de echilibru, $K_n = k_n / k_{-n}$ si $K_e = k_e / k_{-e}$

In mediul de metanol, unde reactia de neutralizare este neglijabila fata de reactia de aditie, adica $k_a \gg k_n$, solutia contine 2 parametri, k_a si K_e ,

$$\ln \frac{[1 + 2K_e - (2 + K_e)r^{-1}x^*]}{[1 + 2K_e - (1 + K_e)x^*]} + \frac{(2 + K_e)[2 + K_e - (1 + K_e)r]x^*}{r(1 + K_e)[(1 + 2K_e)r - (2 + K_e)x^*]} \\ = k_a a^2 \left(2 - r - \frac{K_e}{1 + K_e} \right)^2 t$$

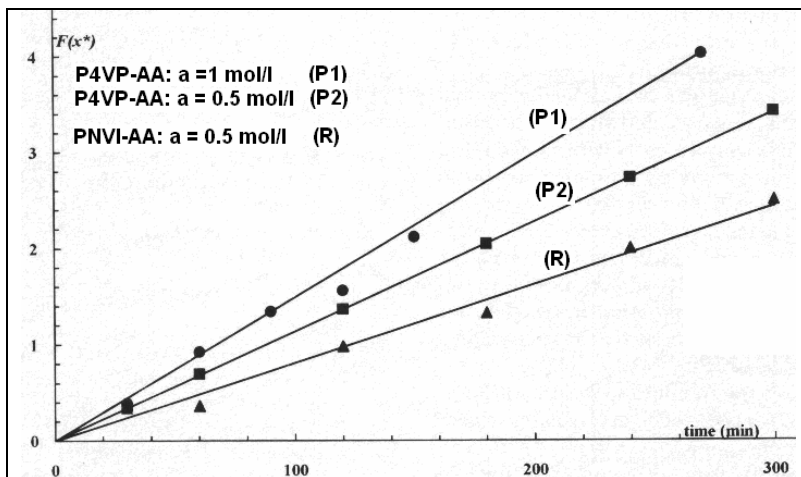
Chiar si in acest caz, din spectre se poate determina numai un singur parametru, anume suma $x^* = x_1^* + x_2^*$.

Problema s-a putut totusi rezolva dupa cum urmeaza:

- observand ca la rapoarte initiale $r = [B]_0 / [A]_0$ aproape de valoarea 2 sau mai mari, reactia de trecere a perechii de ioni $X^+ B^-$ in zwitterionul X^\pm este nesemnificativa, adica $k_e \ll k_{-e}$, ramand semnificativa numai reactia (2), iar
- solutia in acest caz a ecuatiei cinetice corespunzatoare are pentru $r = 2$ forma simpla

$$(1 - x_1^*)^{-2} - 1 = 8 k_a a^2 t$$

cu ajutorul se poate determina constanta vitezei de aditie, k_a , din panta reprezentarii membrului intai functie de timpul de reactie.



Valorile k_a gasite au fost: $(1.9 \pm 0.2) \times 10^{-3} \text{ mol}^{-2} \text{ l}^2 \text{ min}^{-1}$ pentru P4VP si $(5.3 \pm 0.2) \times 10^{-3} \text{ mol}^{-2} \text{ l}^2 \text{ min}^{-1}$ pentru PNVI

Ulterior, constanta de echilibru $K_e = k_e/k_{-e}$ a fost determinata cautand valoarea pentru care reprezentarile functiei cinetice pentru valoarea k_a gasita la raportul $r = 2$ devin liniare.

Pentru sistemul 4MP-AA la $[A]_0 = 1$ mol/l s-a gasit ca

K_e are valori intre 0.05 si 0.55 cand raportul r scade de la 1.9 la 0.8

2.3. Microstructura homopolimerilor liniari

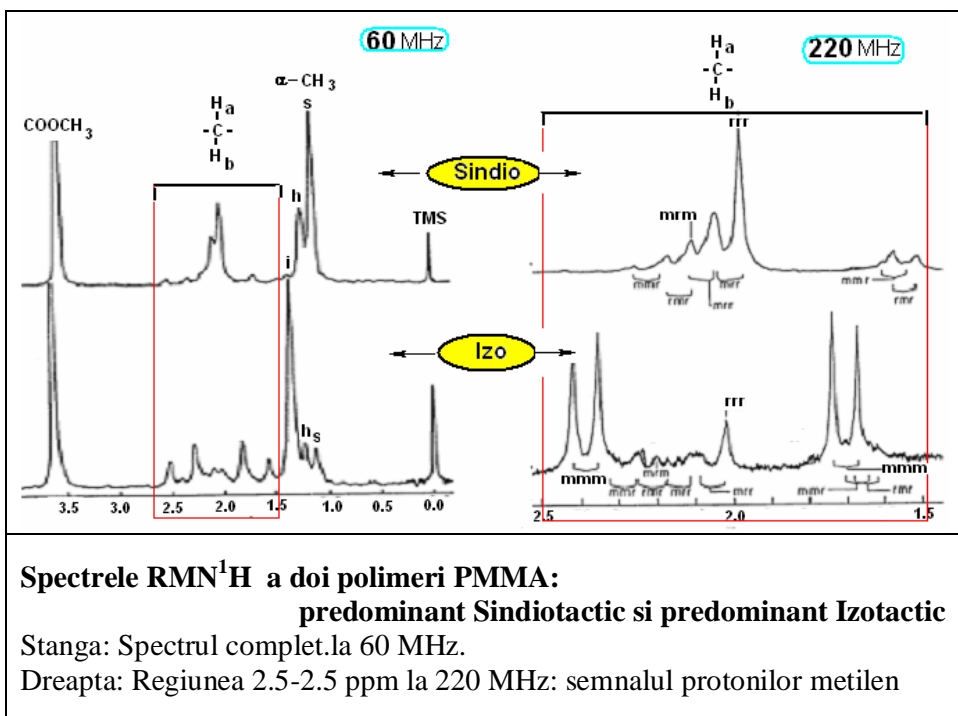
2.3.1. Tacticitatea: diverse aspecte si definitii

Primele observatii RMN privind tacticitatea

Stereoizomeria sau tacticitatea este o caracteristica a lanturilor macromoleculara care contin atomi chirali.

Tacticitatea cea mai simpla apartine **polimerilor vinilici** (de la etilena monosubstituita), iar forme mai complexe apar la unele forme de polimeri dienici (forme 1,2 si 3,4).

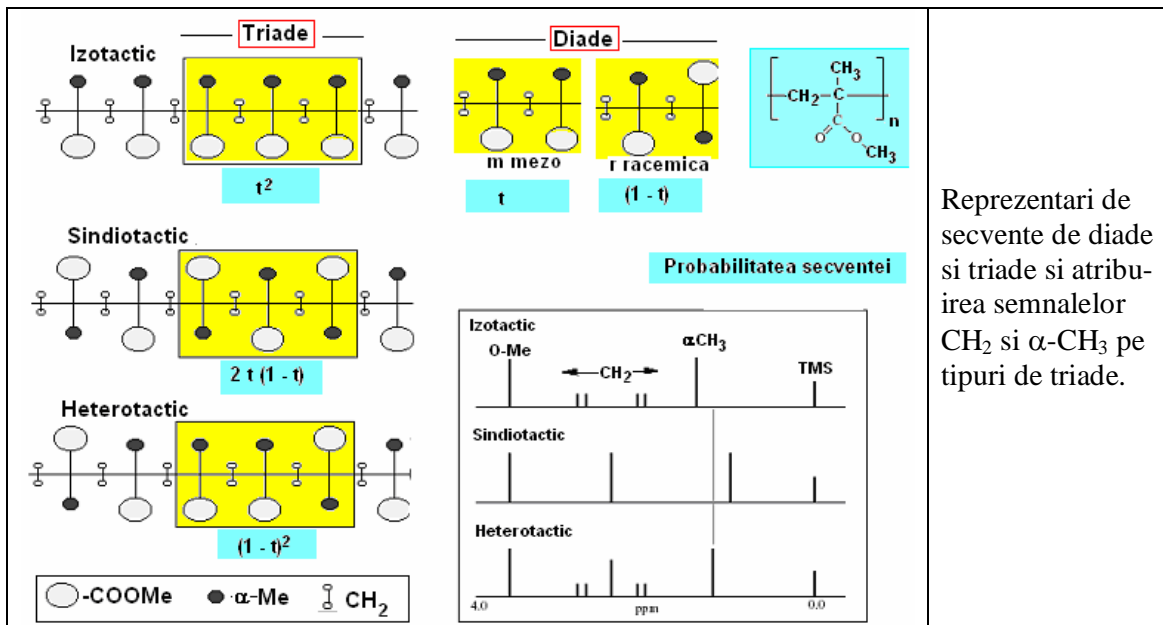
Primele observatii au fost facute in **spectrele de hidrogen ale PMMA**, explicand scindarile semnalelor metilen si α -metil (**Bovey si Tiers, 1960**).



**Spectrele RMN¹H a doi polimeri PMMA:
predominant Sindiotactic si predominant Izotactic**

Stanga: Spectrul complet la 60 MHz.

Dreapta: Regiunea 2.5-2.5 ppm la 220 MHz: semnalul protonilor metilen



2.3.2. Modele de stereo-aditie si probabilitati de formare a secventelor

Modelul terminal sau Bernoullian sau cu efect ultim (al ultimului mer).

Stereoaditia moleculei de monomer la capatul lantului in crestere depinde de un singur parametru: probabilitatea aditiei mezo, notata cu t in tabel. In acest caz, se demonstreaza ca propagarea se face dupa statistica Bernoulli.

Acum model poate fi confirmat prin analiza de semnale scindate cel putin la nivel de triade.

Modelul penultim sau cu efect al stereozomeriei ultimei perechi de meri din lantul in crestere.

Propagarea depinde de 2 parametri:

u – probabilitatea ca la o diada terminala **m** sa aiba loc o aditie racemica, **r**, si
 v – probabilitatea ca la o diada terminala **r** sa aiba loc o aditie mezo, **m**.

Se respecta statistica Marcov de ordinul I.

Acum model poate fi confirmat prin analiza de semnale scindate cel putin la nivel de tetrade.

Modelul antepenultim considera efectul ultimei triade.

Propagarea depinde de 4 parametri, α , β , γ , si δ .

Se respecta statistica Marcov de ordinul II.

Modelul Coleman-Fox, in care sunt presupuse doua specii diferite in propagare.

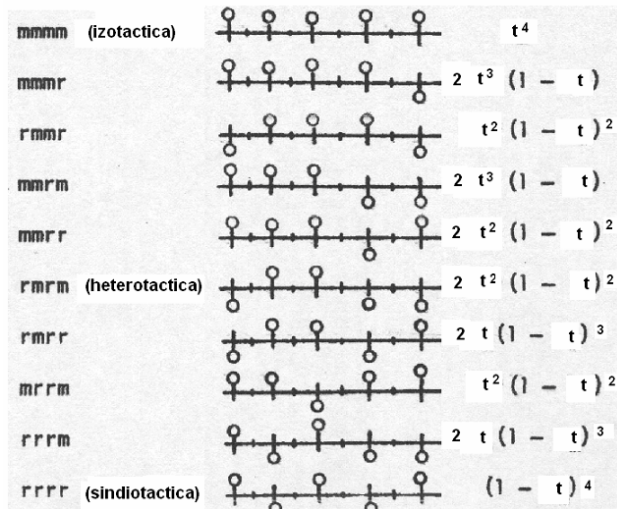
Reprezentari de secvente de diade si triade si atribuirea semnalelor CH₂ si α -CH₃ pe tipuri de triade.

Sevente de configuratie si probabilitati

Tipul	Nominalizarea	Proiectia	Probabilitatea Bernoulliana	Probabilitatea Markov ord. 1
Diada	mezo, m		t	$v / (u + v)$
	racemica, r		$(1 - t)$	$u / (u + v)$
Triada	izotactica, mm		t^2	$(1 - u) v / (u + v)$
	heterotactica, mr		$2 t (1 - t)$	$2 u v / (u + v)$
	sindiotactica, rr		$(1 - t)^2$	$u (1 - v) / (u + v)$
Tetrada	mmm		t^3	$(1 - u)^2 v / (u + v)$
	mmr		$2 t^2 (1 - t)$	$2 u v (1 - u) / (u + v)$
	rmr		$t (1 - t)^2$	$u v^2 / (u + v)$
	mrm		$t^2 (1 - t)$	$2 u v (1 - v) / (u + v)$
	rrm		$2 t (1 - t)^2$	$u^2 v / (u + v)$
	rrr		$(1 - t)^3$	$u (1 - v)^2 / (u + v)$

t – probabilitatea de aditie mezo

Pentade



Tipul de scindare a semnalelor functie de pozitia grupei generatoare pe lant

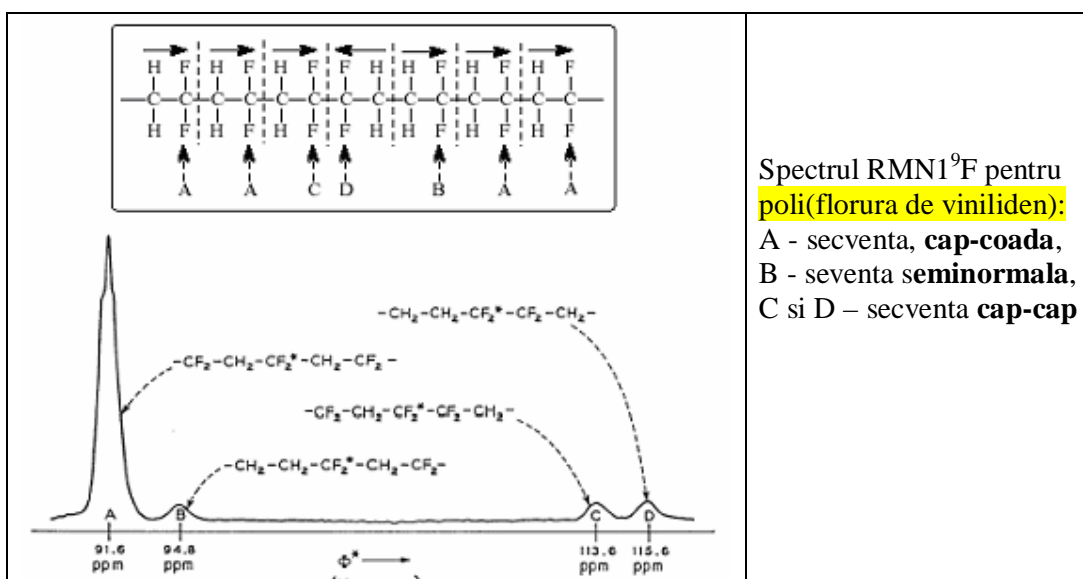
Grupele laterale: **triade, pentade, ...**
 Grupele de pe lant: **diade, tetrade,**

Relatii intre intensitatile componentelor unui acelasi semnal scindat la diverse nivele

Dyad-triad
$(m) = (mm) + \frac{1}{2}(mr)$
$(r) = (rr) + \frac{1}{2}(mr)$
Triad-tetrad
$(mmr) = (mmmm) + \frac{1}{2}(mmmr)$
$(mr) = (mmir) + 2(rmr) = (mrr) + 2(mrm)$
$(rr) = (rrr) + \frac{1}{2}(mrr)$
Tetrad-pentad
$(mmmm) = (mmmm) + \frac{1}{2}(mmmr)$
$(mmr) = (mmmr) + 2(rmmr) = (mmrm) + (mmrr)$
$(mrm) = \frac{1}{2}(mmrm) + \frac{1}{2}(memr)$
$(mrr) = 2(mrrm) + (mrrr) = (mmrr) + (mrir)$
$(rme) = \frac{1}{2}(mrrr) + \frac{1}{2}(rrrr)$
$(rrr) = (rrr) + \frac{1}{2}(mrrr)$
Dyad-tetrad
$(m) = (mm) + (mrmr) + \frac{1}{2}(mmr) + \frac{1}{2}(mrr)$
$(r) = (rr) + (rnr) + \frac{1}{2}(mnr) + (mrr)$
Triad-pentad
$(mm) = (mmmm) + (mmmr) + rmmr)$
$(mr) = (mmrm) + (mmrr) + (mrrr) + (mrir)$
$(rr) = (rrr) + (mrrr) + (mrrm)$

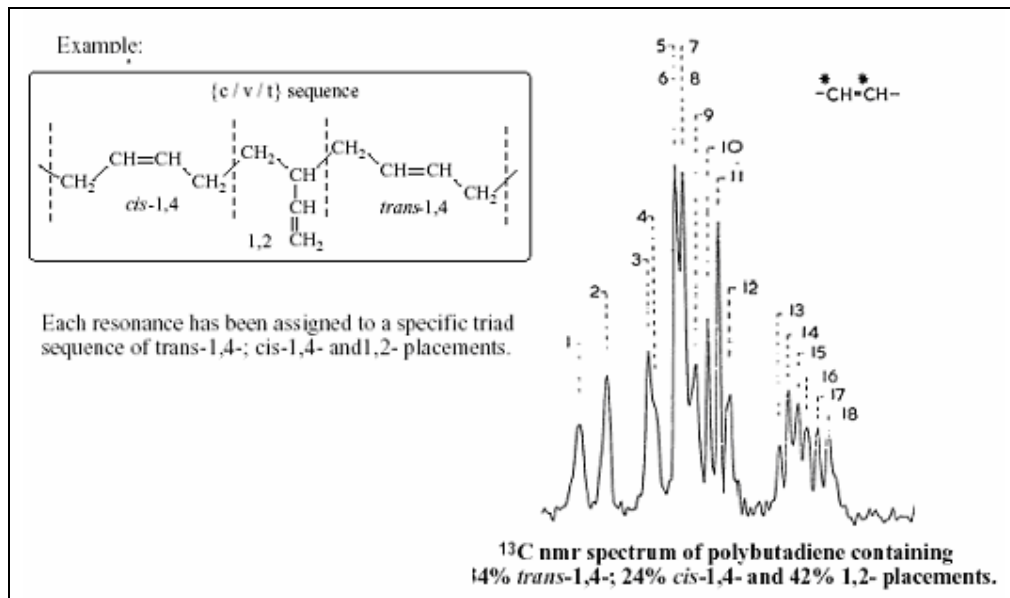
2.3.3. Izomerie de pozitie

Incatenari cap-coada, cap-cap si coada-coada.



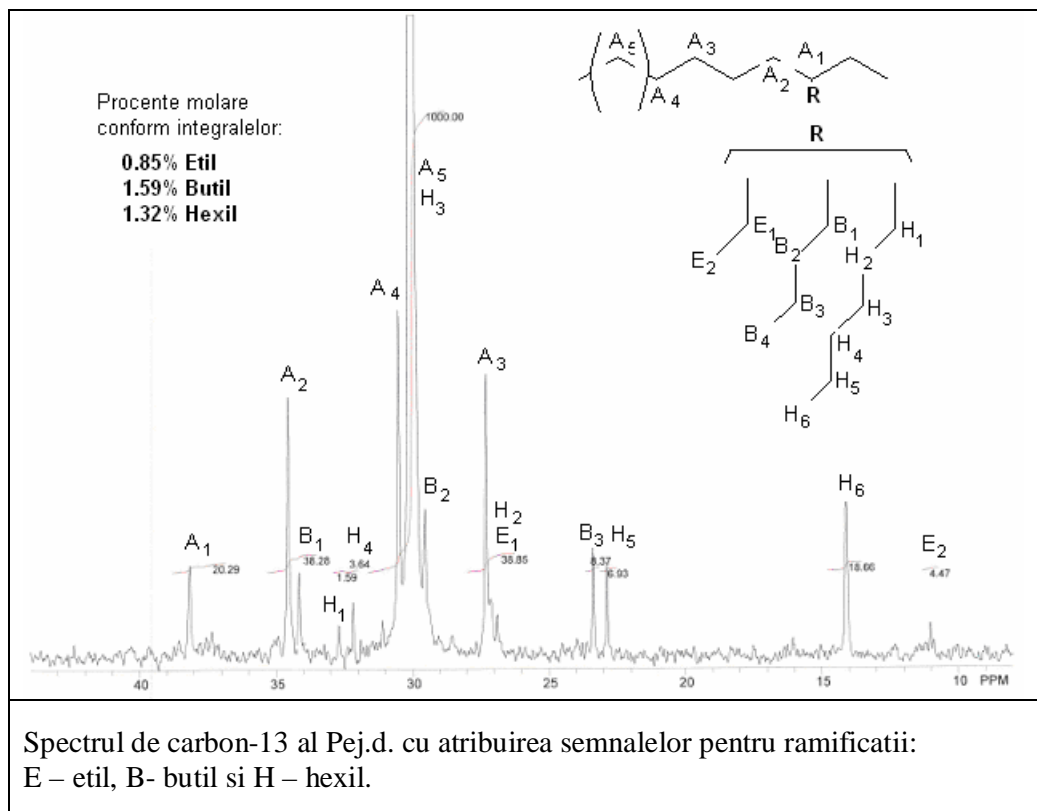
2.3.4. Izomerie structurala sau geometrica

Specifica polimerizarii dienelor.



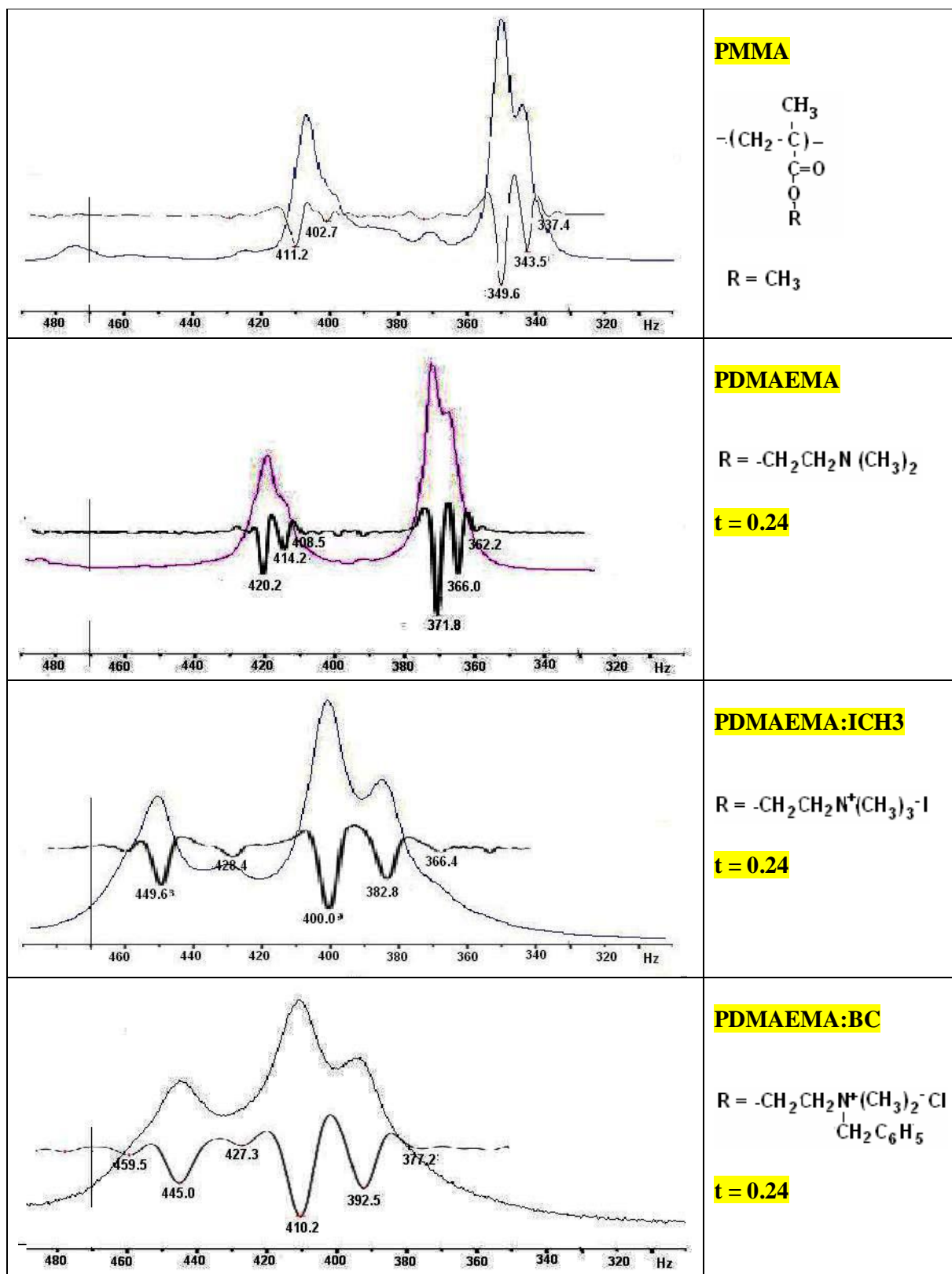
2.3.5. Defecte in polimeri

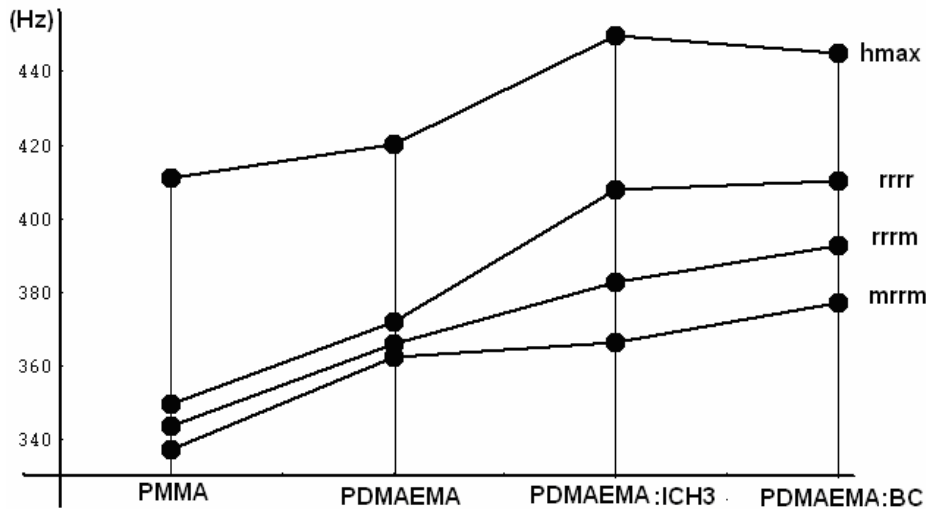
Ramificatii in polietilena de joasa densitate



2.3.6. Efectul interactiilor electrice asupra scindarii semnalelor

Cazul unui polimer metacrilic modificat



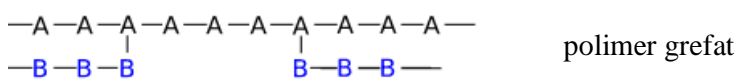
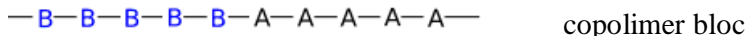
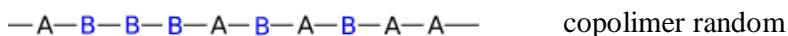
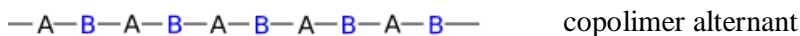


2.4. Microstructura copolimerilor liniari

2.4.1. Diverse aspecte si definitii

Tipuri de copolimeri

- copolimeri binari, marea majoritate, cel mai mult studiați și utilizati,



- copolimeri ternary, chiar cuaternari, sisteme putine, cativa cu utilizari practice,

- forme de polimeri grefati: dendrimeri stea, pieptene și perie

Principalele reacții de incatenare:

- polimerizare radicalica -> cele 3 tipuri de copolimeri, toti interesanti ca stereoizomerie

- polimerizare ionica ----- > cele 3 tipuri de copolimeri, toti interesanti ca stereoizomerie

- policondensare -----> copolimeri alternanti, de regula fara stereoizomerie de interes

Modele de copolimerizare radicalica (mai rar ionica):

- modelul terminal: statistica Bernoulli, 2 parametri cinetici, modelul cel mai studiat

- modelul cu efect penultim: statistica Markov de ord. 1, 4 parametri cinetici, putin studiat

Seacentarea sau distributia co-unitatilor structurale:

- a determinat clasificarea de mai sus,

- care cantitativ este determinata de lungimea medie a secentelor AAA.. si BBB..., estimate prin expresiile:

$$L_A = 1 + r_1 [M_1] / [M_2] \quad \text{si} \quad L_B = 1 + r_2 [M_2] / [M_1]$$

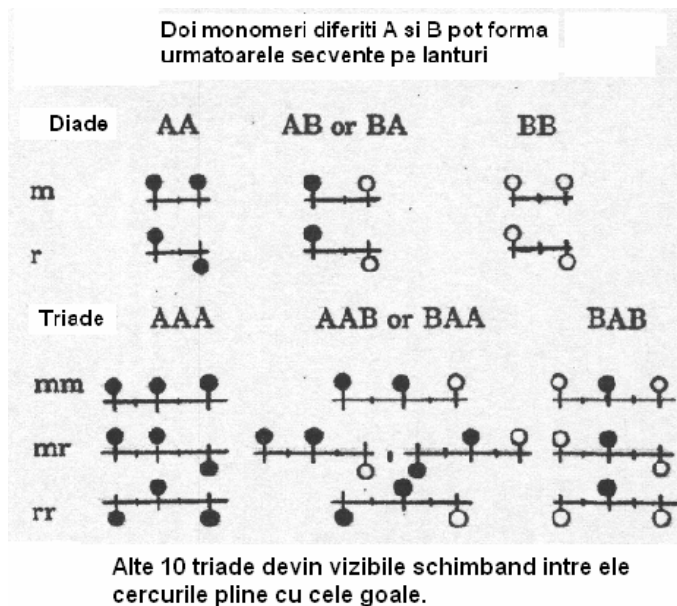
unde $[M_i]$ si r_i sunt concentratiile la alimentare si raportul de reactivitate pentru monomerul M_i .

Stereoizomeria:

- tacticitatea este de interes la copolimerii bloc, tacticitatile blocurilor fiind similare cu cele ale homopolimerilor corespunzatori, si

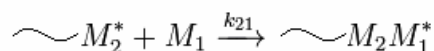
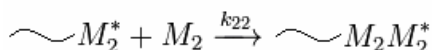
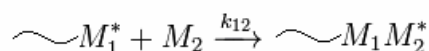
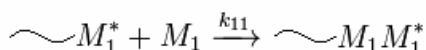


- cotacticitatea care este de interes in special la copolimerii alternanti unde chiar conduce la studii interesante



2.4.2. Cinetica copolimerizarii si parametrii modelului terminal

Ecuatiile modelului terminal pentru reactii radicalice si ionice



conduc la **ecuatia copolimerizarii (Mayo-Lewis)**

$$\frac{d[M_1]}{d[M_2]} = \frac{[M_1](r_1 [M_1] + [M_2])}{[M_2]([M_1] + r_2 [M_2])}$$

unde r_1 si r_2 sunt rapoartele de reactivitate definite prin relatiile:

$$r_1 = k_{11} / k_{12} \quad \text{si} \quad r_2 = k_{22} / k_{21}$$

Variante de copolimeri functie de rapoartele de reactivitate:

$r_1 \gg 1$ si $r_2 \gg 1$: amestec de copolimeri bloc si homopolimeri

$r_1 \ll 1$ si $r_2 \ll 1$: copolimeri alternanti

r_1 si $r_2 \approx 1$: copolimeri random

Determinarea rapoartelor de reactivitate r_1 si r_2

Ecuatia copolimerizarii poate fi pusa sub diverse forme, Mayo-Lewis, Fineman-Ross, Kellen-Tudos, ... fiecare generand un procedeu de obtinere a celor doua rapoarte.

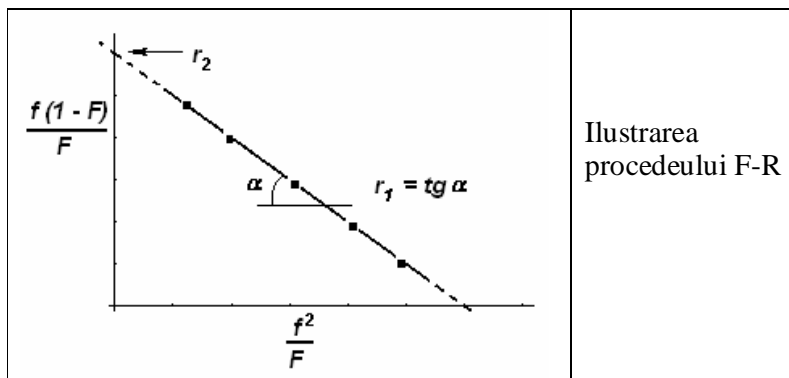
Procedeul Fineman-Ross:

Ecuatia copolimerizarii ia forma

$$f(1 - F) / F = -r_1 (f^2/F) + r_2$$

unde $f = [M_1] / [M_2]$ si $F = d[M_1] / d[M_2]$ sunt rapoartele molare ale comonomerilor in mediul de reactie si in copolimer, respectiv.

Procedeul Fineman-Ross consta in reprezentarea membrului stang, $f(1 - F) / F$, functie de raportul f^2/F , cu valori f si F determinate la mai multe compozitii ale mediului de reactie.



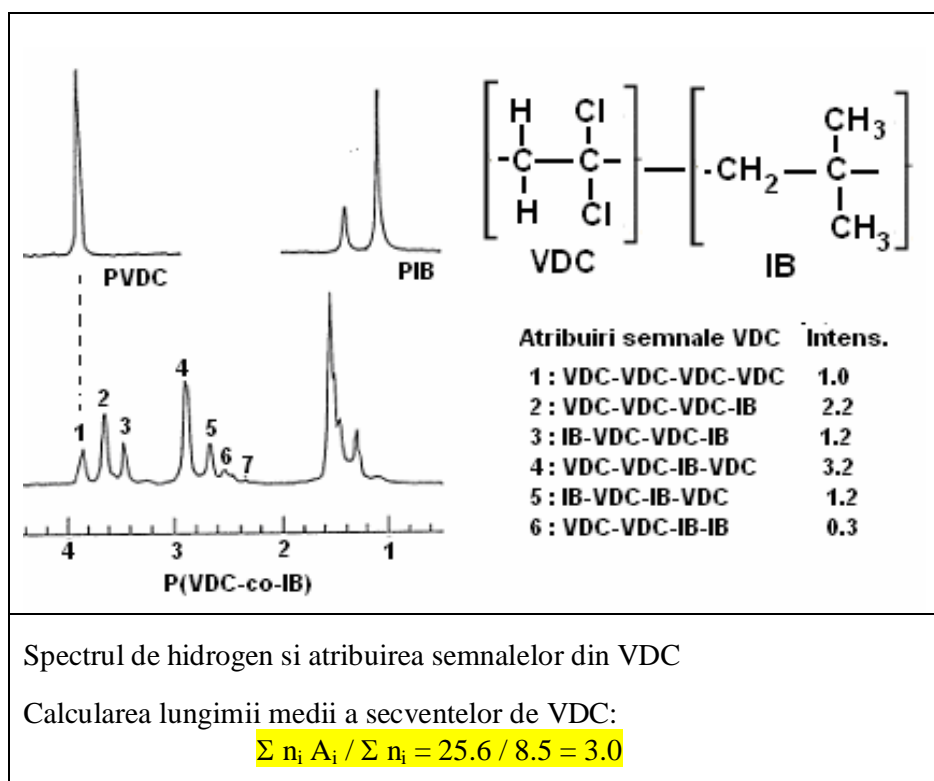
Ilustrarea
procedeului F-R

2.4.3. Seeventarea din spectre RMN

Poli(clorura de viniliden - co - izobutilena)

Caracteristici: - nu posedă atomi chirali, deci

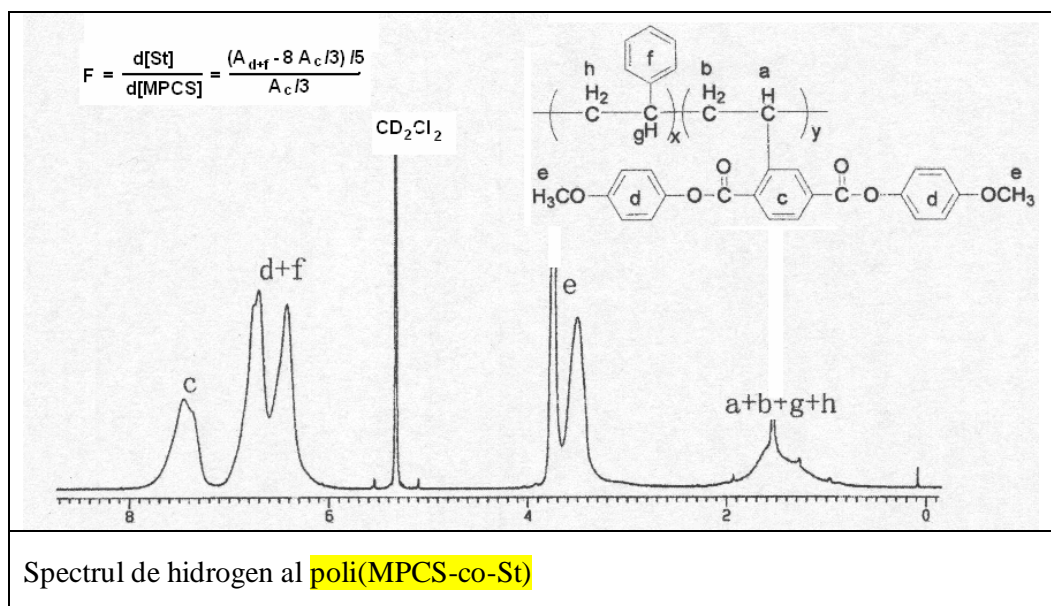
- nu prezintă stereoizomerie (tacticitate), deci
- scindările se datorează numai seeventarii

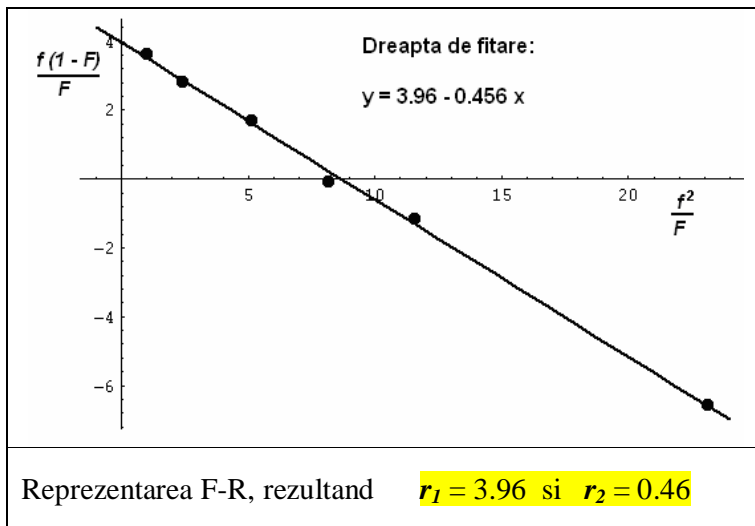


2.4.4. Rapoarte de reactivitate si seevente medii

Poli(MPCS-co-St) unde **MPCS** = 2-bis[(4-metoxifenil)oxi-carbonil]stiren

St = stiren





Tabel de date* utilizate la reprezentarea de mai sus, si valori medii ale lungimii homosecventelor** functie de raportul monomerilor la alimentare

f	F	f^2 / F	$f(1-F) / F$	$Lst = 1 + r_1 f$	$L_{MPCS} = 1 + r_2 / f$	Conversia %
9.10	3.587	23.1	-6.56	33.4	1.05	1.0
4.02	1.404	11.54	-1.16	15.3	1.11	1.1
2.31	1.041	8.13	-0.09	9.2	1.20	1.2
1.56	0.475	5.10	1.72	6.5	1.29	1.3
0.675	0.192	2.37	2.84	3.3	1.67	1.7
0.431	0.090	2.09	4.41	2.7	2.06	2.1
0.248	0.064	0.961	3.63	1.9	2.82	2.8

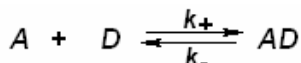
* Datele corespund conversiilor mici, cand concentratiile comonomerilor pot fi considerate constante.

** Homosecventele pot fi tratate ca miniblocuri iar marimeile lor confirmă faptul că stirenu homopolimerizează mult mai probabil decât partenerul mult mai voluminos, MPCS.

2.5. Determinarea constantei de asociere cu ajutorul spectrelor RMN

2.5.1. Cum se poate reflecta interactiile moleculare in spectrele RMN ale partenerilor.

Fie interacția dintre două specii moleculare, A și D, deci o reacție de ordinul 2.

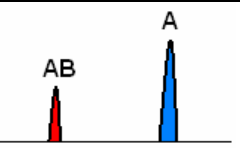
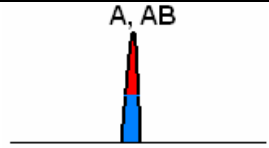
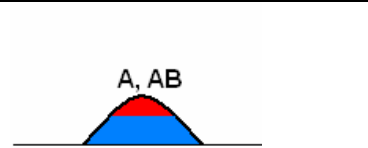


Functie de concentratiile speciilor, constanta de echilibru $K_a = k_+/k_-$ are expresia

$$K_a = [AD] / [([A]_0 - [AD]) ([D]_0 - [AD])]$$

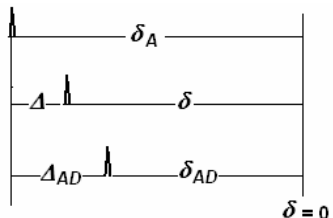
Masurările obisnuite de concentrări fiind dificile, uneori imposibile, se pune problema dacă pot fi substituite prin **masuratori in-situ de parametri din spectrul RMN al mediului de reacție**.

Se pot întâlni 3 forme ale unui semnal al moleculelor, să zicem A, funcție de viteza de schimb dintre stările complexată și necomplexată:

		
Schimb lent	Schimb rapid	Situatie intermediara
Concentratările speciilor rezultă din integrale	Pozitie medie. Problema se rezolvă din deplasări chimice	Se reduce temperatura până la separarea semnalelor, apoi se utilizează ec. Van't Hoff

Să considerăm **cazul schimbului rapid**, când suprapunerea are loc pe o pozitie intermediară față de spectrul schimbului lent.

Dependenta deplasării chimice de ponderea stării moleculelor în interacție.



Alăturat sunt prezentate pozițiile unui semnal al moleculelor A când toate grupele sunt necomplexate (δ_A) sau toate complexate (δ_{AD}) sau numai o fracție din acestea sunt complexate (δ). Diferențele de deplasări chimice sunt notate cu $\Delta = \delta_A - \delta$ și $\Delta_{AD} = \delta_A - \delta_{AD}$.

Pozitia semivalenului in capul schimbului rapid functioneaza:

- deplasările chimice pentru stări extreme, $\delta_A \approx \delta_{AD}$ și
- ponderile stărilor: $P_A = [A]/[A]_0$ și $P_{AD} = [AD]/[A]_0$:

$$\delta = P_A \delta_A + P_{AD} \delta_{AD} \quad \text{care cu } P_A = 1 - P_{AD} \text{ devine}$$

$$\delta = (1 - P_{AD}) \delta_A + P_{AD} \delta_{AD} \text{ exprimata care devine:}$$

$$P_{AD} = \frac{\delta_A - \delta}{\delta_A - \delta_{AD}} = \frac{\Delta}{\Delta_{AD}} \quad \text{de unde și } P_A = 1 - \frac{\Delta}{\Delta_{AD}}$$

Utilizand concentrația totală de molecule, $c = [A]_0 + [D]_0$, înlocuind din expresia lui K_a crudă to:

$$K_a = \frac{P_{AD}}{c(1 - P_{AD})(1 - f_A - P_{AD}f_A)}$$

$$\text{unde } P_{AD} = \frac{\Delta}{\Delta_{AD}} \quad \text{și } f_A = \frac{[A]_0}{c}$$

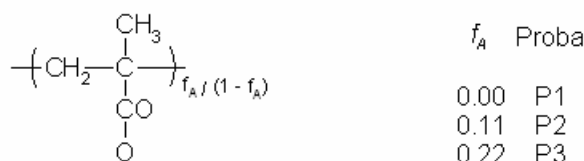
Prin urmare, cu ajutorul expresiei

$$K_a = (\Delta / \Delta_{AD}) / [c (1 - (\Delta / \Delta_{AD})) (1 - f_A - n f_A (\Delta / \Delta_{AD}))]$$

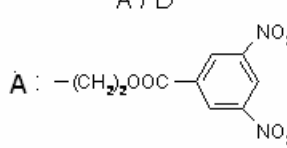
cunoscând c și f_A , și masurând diferențele de deplasări chimice Δ și Δ_{AD} se poate afla valoarea constantei de asociere K_a în stare de echilibru a sistemului. De notat factorul n care este legat de tipul complexului: $n = 1$ pentru complex 1:1 și $n = 2$ pentru complex 1:2.

2.5.2. Interacțiile donor-acceptor în copolimeri

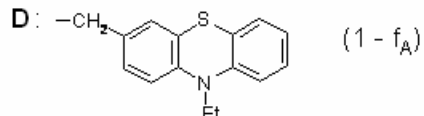
Fie grupul de copolimeri cu grupe laterale dinitrobenzoat (acceptoare de electroni) și N-etyl fenotiazinice (donoare de electroni) de diverse compozitii.



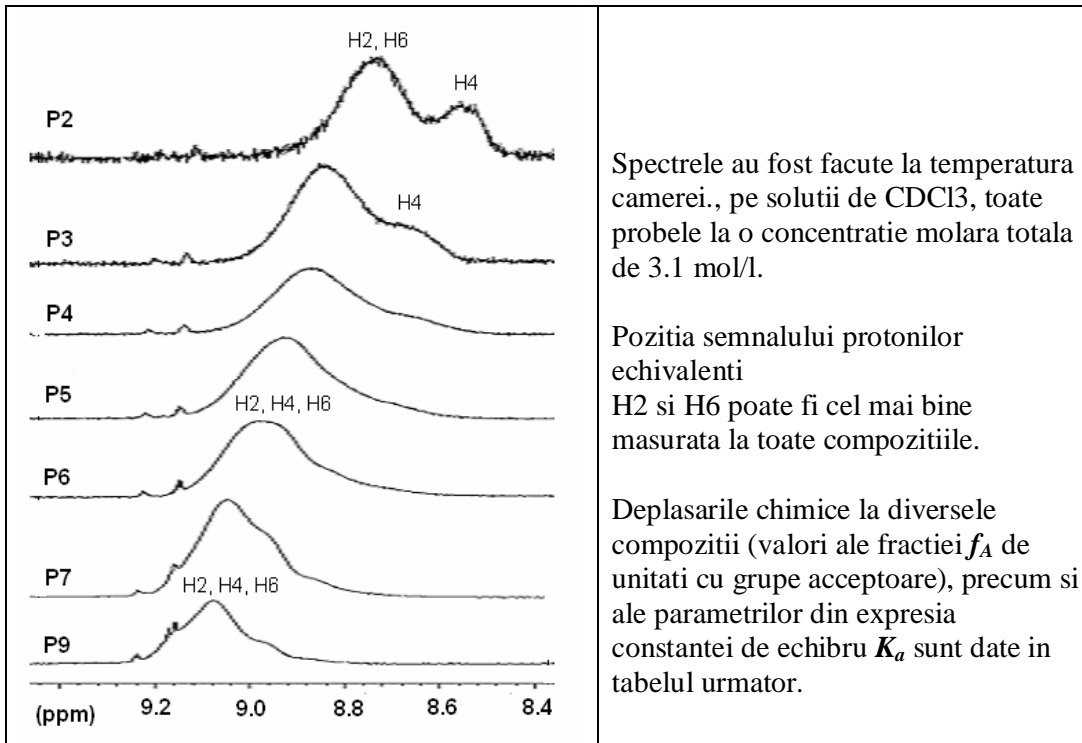
f_A	Proba
0.00	P1
0.11	P2
0.22	P3
0.35	P4
0.47	P5
0.60	P6
0.72	P7
0.87	P8
1.00	P9



$$f_A \quad (1 - f_A)$$



Semnalele protonilor din grupa dinitrobenzoat, în spate H2, H6 și H4, își schimbă pozitia după cum se observă.



Spectrele au fost facute la temperatura camerei., pe solutii de CDCl_3 , toate probele la o concentratie molara totala de 3.1 mol/l.

Pozitia semnalului protonilor echivalenti

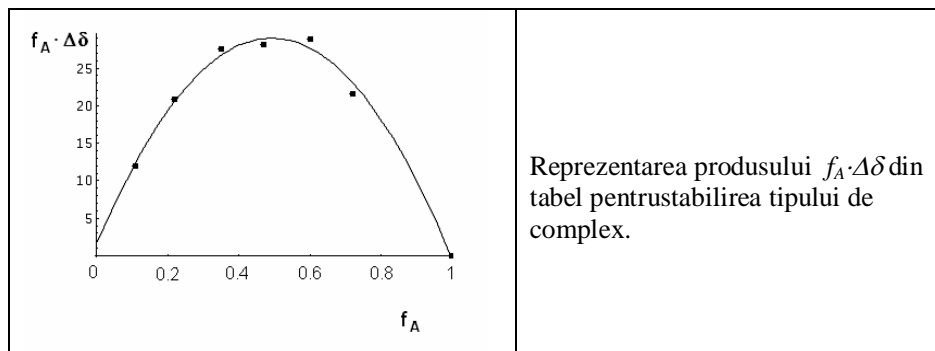
H2 si H6 poate fi cel mai bine masurata la toate compozitiile.

Deplasarile chimice la diversele compozitii (valori ale fractiei f_A de unitati cu grupe acceptoare), precum si ale parametrilor din expresia constantei de echilibru K_a sunt date in tabelul urmator.

O clarificare necesara a fost sa se demonstreze faptul ca complexul este de tip 1:1, caz in care factorul n din expresia constantei de asociere are valoarea 1. Acest lucru a fost confirmat de reprezentarea produsului $f_A \cdot \Delta$ functie de f_A care prezinta maxim la $f_A = 0.5$. In cazul unui complex 1:2 maximul ar fi la $f_A = 1/3$.

Valoarea medie rezultata pentru K_a este de $1.3 \pm 0.3 \text{ M}^{-1}$, o valoare apropiata de valoarea 1 pentru care cele doua stari au probabilitati egale. Deci este vorba de un complex DA slab.

Sample	P9	P7	P6	P5	P4	P3	P2	DA complex
f_A	1.0	0.72	0.60	0.47	0.35	0.22	0.11	
δ (Hz)	712 (δ_A)	682	664	652	633	625	615	$\delta_{DA} = 590.5$
Δ (Hz)	0	30	48	60	79	87	97	$\Delta_{DA} = 122$
$f_A \cdot \Delta$	0	21.6	28.8	28.2	27.6	19.1	10.7	0
Δ / Δ_{DA}	0	0.246	0.393	0.492	0.647	0.715	0.793	
$K_a (\text{M}^{-1})$		1.06	1.28	1.15	1.21	1.34	1.59	

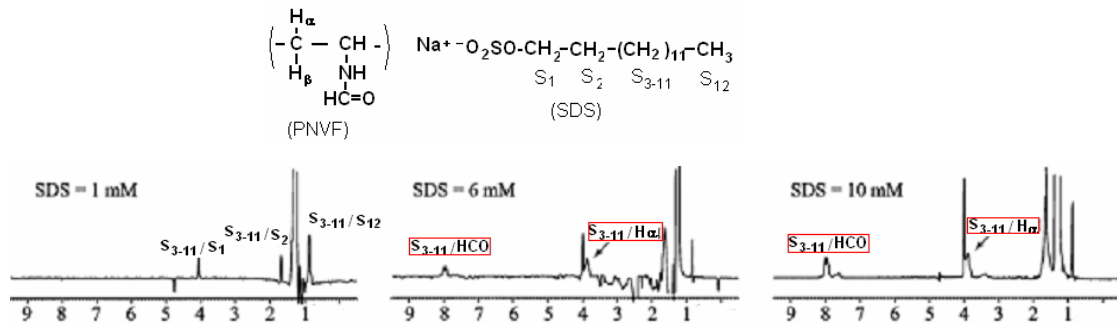


Reprezentarea produsului $f_A \cdot \Delta\delta$ din tabel pentru stabilirea tipului de complex.

2.5.3. Interactii electrostatice in amestecuri

Poli(N-vinilformamida) – Dodecilsulfat de sodium

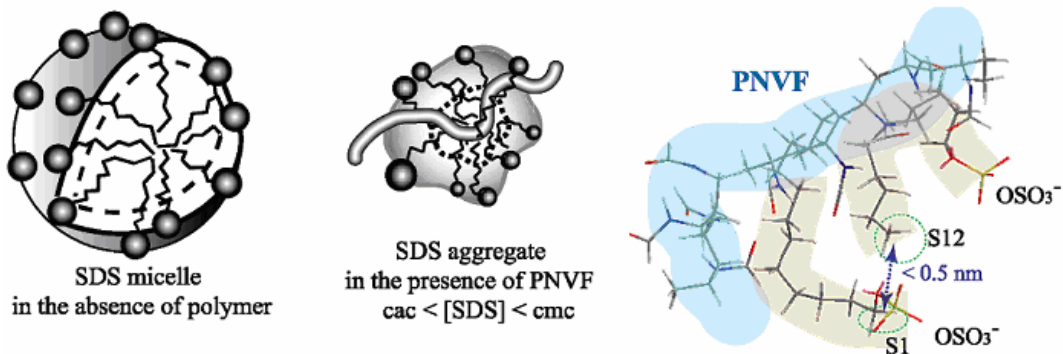
(*Macromolecules* 2008, 41, 1281-1288)



Din spectre de fluorescenta cu piren ca fluorofor s-a gasit ca in prezenta PNVF moleculele de SDS incep sa formeze agregate, dar fara a putea preciza implicarea moleculelor de polimer.

Cu ajutorul efectelor NOE s-a demonstrat ca agregatele de SDS sunt legate de lanturile de PNVF: In figura sunt prezentate experimentele NOE la 3 concentratii de surfactant, concentratia polimerului fiind de 5 g/l, in conditiile iradierii semnalului aproximativ singlet al protonilor S3-11.

Se observa absenta unor efecte NOE semnificative la [SDS] = 1 mM, dar efecte care cresc cu concentratia de SDS la 6 si 10 mM, ceea ce confirma apropieri de ordinul 0.5 nm intre grupele polimerului si surfactantului.



3. Spectroscopia RMN pe probe solide de polimeri

3.1. Incepiturile si motivarea spectroscopiei RMN pe polimeri in stare solidă

Spectroscopia RMN pe probe solide (**SS-NMR** – solid state NMR) s-a dezvoltat la inceput in paralel cu spectroscopia RMN pe probe lichide. Astfel, prin anii 950, in timp ce chimistii puneau la punct aplicatiile fenomenului de RMN pentru identificarea structurii moleculelor organice pe baza spectrelor de inalta rezolutie, fizicienii erau interesati de aplicatii de cristalografie la materiale diamagnetice, in special la substante anorganice. Astfel a aparut cristalografia RMN.

Treptat, cristalografia RMN a devenit interesanta pentru caracterizarea morfologiei, deci a asamblarii moleculelor, si mobilitatii moleculare la compusii organici. Specific acestei metode, spre deosebire de metodele de difractie (raze X, electroni, neutroni), este ca ofera informatii asupra morfologiei la nivel local, devenind utila in special in cazul materialelor microcristaline si amorf. Desi dezavantajata de durata lunga de timp si de costuri mai mari decat metoda difractiei de raze X, aparatura pentru SS-NMR s-a perfectionat oarecum in paralel cu cea utilizata in spectroscopia pe lichide, beneficiind de versatilitatea tehnicii de excitare in implusuri si de cresterea de sensibilitate datorata campurilor magnetice puternice create cu magnetii supraconductori.

Numerouase aplicatii de SS-NMR au fost facute pe polimeri, fiind dedicate in special morfologiei amorfo-cristaline, dar si asamblarii supramoleculare.

Primele spectre au fost obtinute la temperatura camerei (RT) pe polimeri cu $T_g < RT$, deci aflati in starea cauciucos (rubbery state), la care mobilitatea moleculara face ca semnalele sa fie mai inguste decat in starile rigide. Exemple de astfel de polimeri: PE, PP, PIB, PVDF, PVF, diversi elastomeri (PB, PI, PU).

3.2. Experiente de pionierat: SS-NMR pe polietilena.

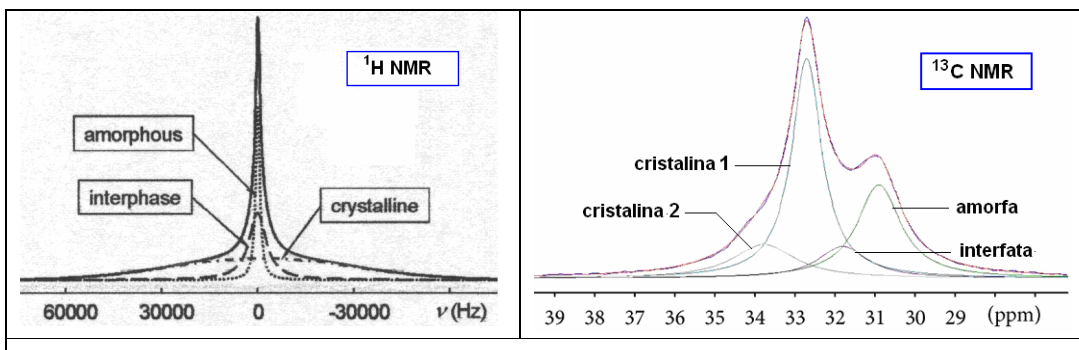
Primul spectru SS-NMR de polimer a fost **spectrul protonilor din polietilena (PE)**, un polimer cu structura simpla la care spectrul de i.r. consta dintr-un singur semnal, atat pentru hidrogen, cat si pentru carbon. Spectrul PE in stare solida prezinta insa caracteristici interesante:

- Spectrul de hidrogen prezinta doua semnale suprapuse (la aceiasi frecventa), ambele largi, dar de largimi diferite, in timp ce
- spectrul de carbon prezinta semnale nesuprapuse: 3 vizibile si 4 rezultate prin deconvolutie.

Coroborate cu difractogramele de raze X, semnalele RMN au fost atribuite fazelor cristalina, amorfa si de interfata, deci care se deosebesc prin viteza mobilitatii moleculare.

- Interesant este faptul ca in spectrul de hidrogen semnalul mai larg apartine fazei rigide, deci care include zonele cristaline, in timp semnalelor de carbon nu sunt semnificativ diferite ca largime.
- Foarte interesant: Spectrul ^{13}C SS-NMR arata 2 structuri cristaline, ceea ce difractogramele obisnuite de raze X prezinta o singura structura cristalina. Din difractograme ulterioare, mai performante, cele doua structuri cristaline au fost identificate:

- **orto-rombica**, cea mai concentrata, si
- **monoclinica**.

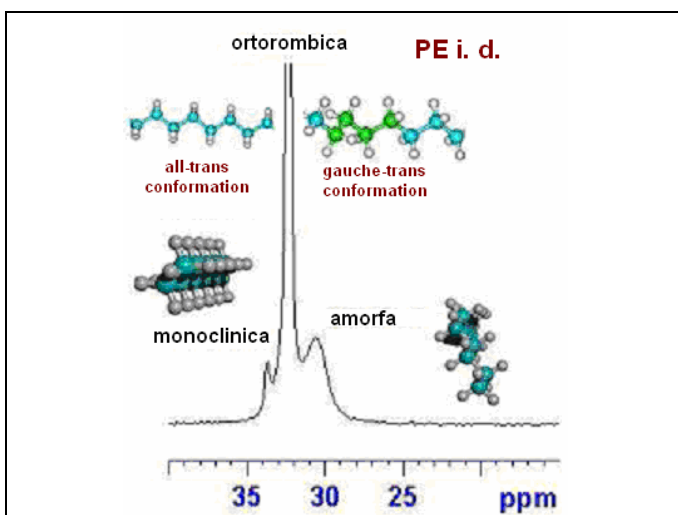


Spectrele RMN de hidrogen si carbon pentru polietilena (i.d.) la temperatura camerei.

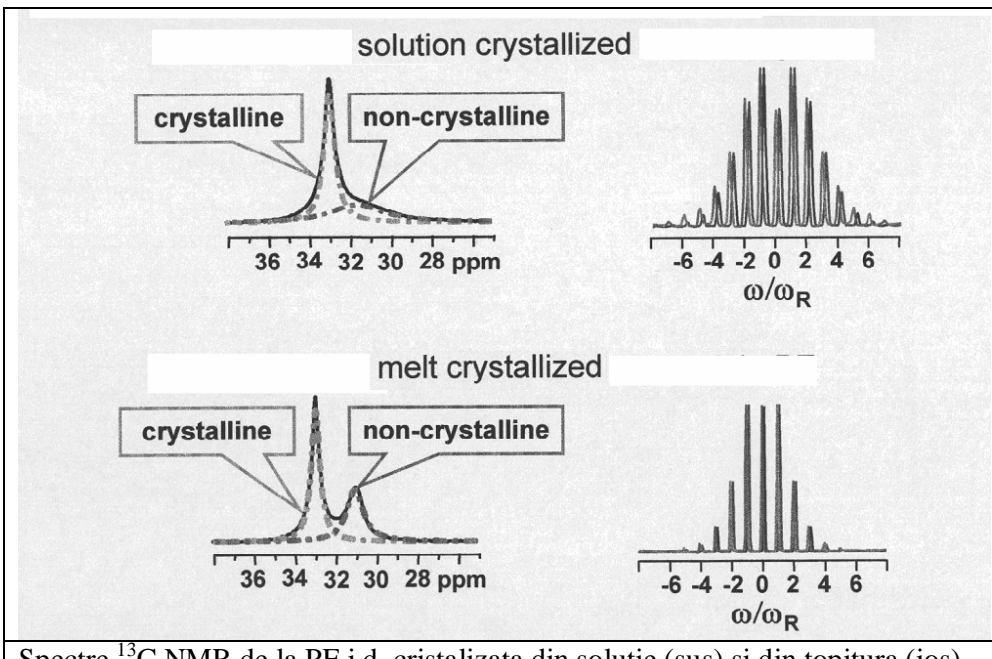
Mentiune: Primele spectre de hidrogen de la PE au fost obtinute prin tehnica clasica, de unda continua.

Alte observatii din spectre SS-NMR de la polietilena

Conformatie si retele cristaline din spectre ^{13}C SS-NMR



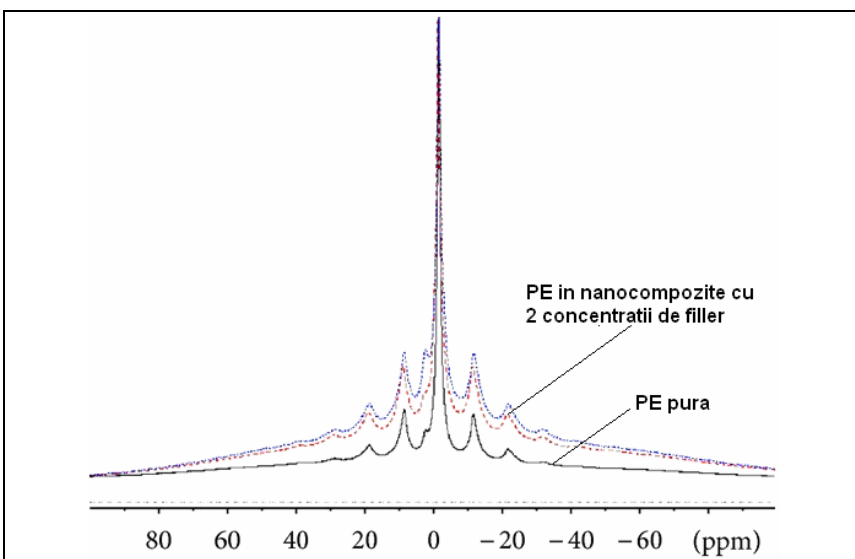
Morfologie determinata de proceful de cristalizare: faza cristalina este mai favorizata de cristalizarea din solutie, comparativ cu cristalizarea din topitura.



Spectre ^{13}C NMR de la PE i.d. cristalizata din solutie (sus) si din topitura (jos) obtinute prin tehnica CP (dreapta) si CP-MAS (stanga).

Mentiune: ω_R este marimea interactiei anizotrope (largimea domeniului spectral). Se observa ca cu cat viteza MAS este mai mare decat ω_R cu atat satelitii sunt mai redusi in intensitate.

Efectele prezentei unui material de natura diferita



Spectre ^1H /MAS la RT pentru PE ca atare si nanocompozite de PE de diverse dimensiuni. Se observa urmatoarele:
 - sateliti de rotatie MAS, si
 - cresterea fazei amorfă datorita prezentei umpluturii.

3.3. Identificarea structurii chimice

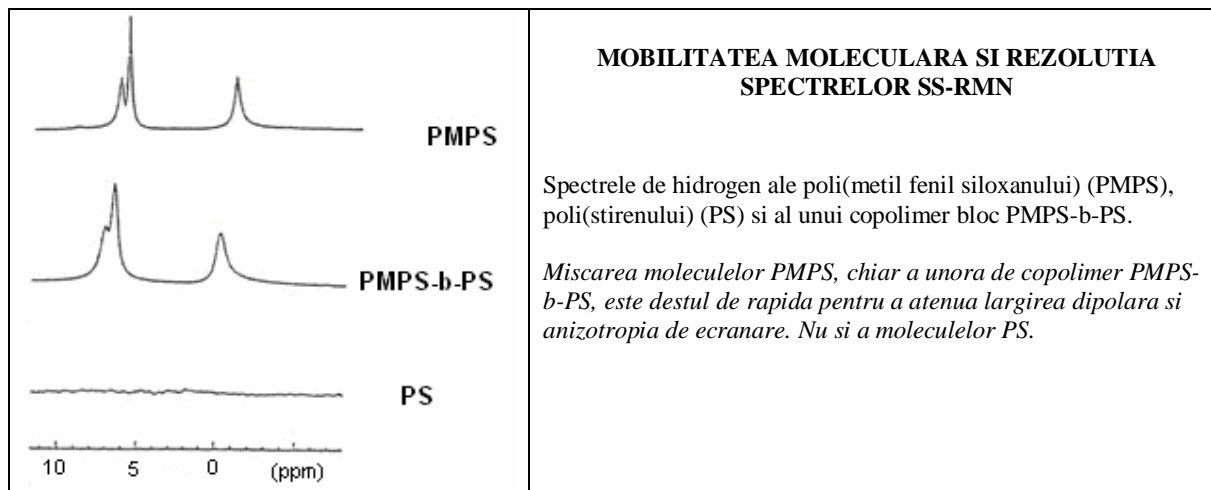
Utilizarea SS-NMR pentru caracterizarea structurii chimice a polimerilor se justifica in special atunci cand *obtinerea spectrelor pe solutii nu este posibila*, de exemplu pentru

- polimeri inalt cristalini si infuzibili,
- copolimeri cu blocuri la care nu se gaseste un solvent comun,
- polimeri reticulati si
- retele,

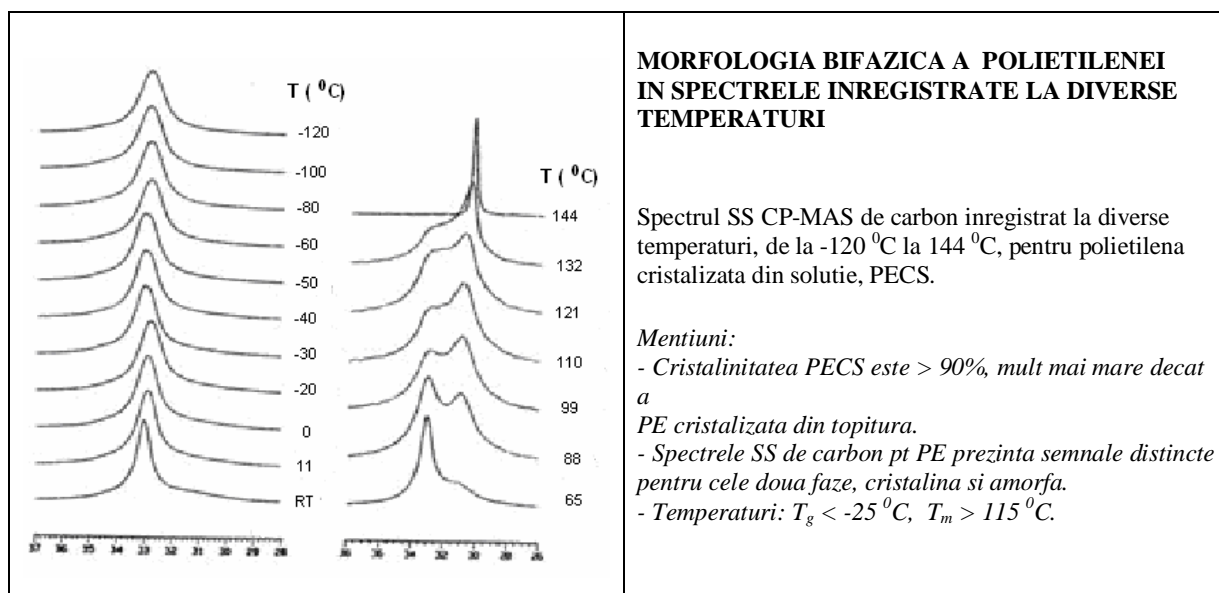
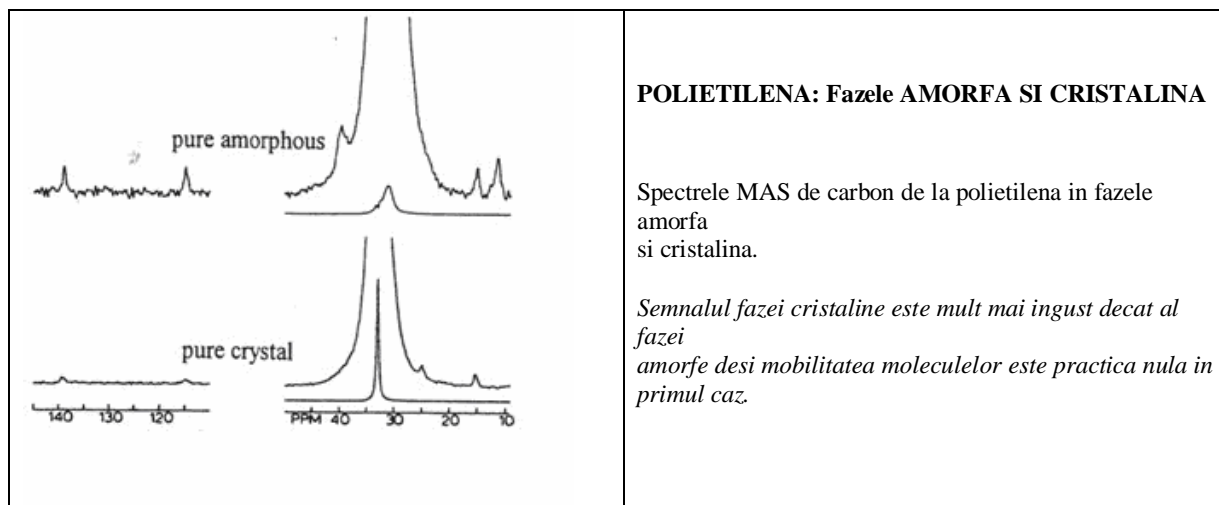
dar si atunci cand *intereseaza structuri care sunt afectate de dizolvare*, de exemplu asocierile intra si intermolecular sau asamblarile supramoleculare.

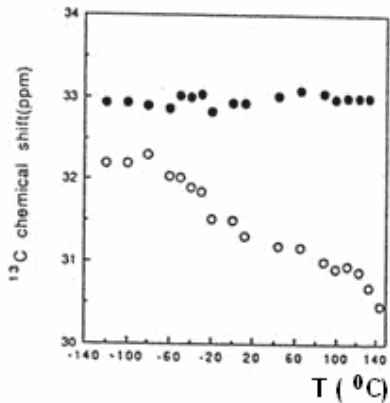
Totusi, trebuie mentionat ca spectrele SS, chiar cu procedeele cele mai performante de ingustare a semnalelor (MAS, CP, decuplare), nu au atins intratotul performantele spectrelor pe lichide: rezolutia, cel putin in cazul protonilor, si sensibilitatea.

3.4. Aplicatii diverse ale SS-NMR pe polimeri



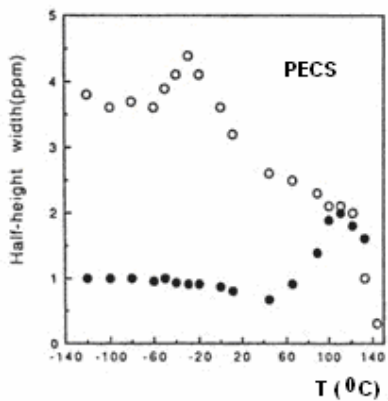
Studii pe polietilena





POLIETILENA in SS:

Dependenta deplasarilor chimice de temperatura pentru nucleele de carbon-13 din fazele cristalina (●) si amorfa (○) din PECS.



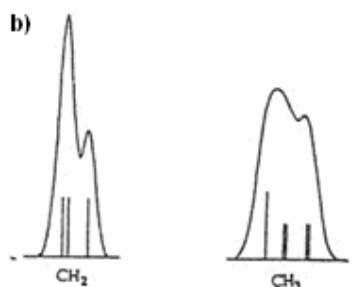
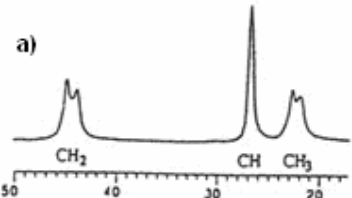
POLIETILENA in SS:

Dependenta de temperatura a largimii semnalelor nucleele de carbon-13 pentru semnalele fazelor cristalina (●) si amorfa (○):

$$\Delta v_{1/2} = 1 / (\pi T_2^*)$$

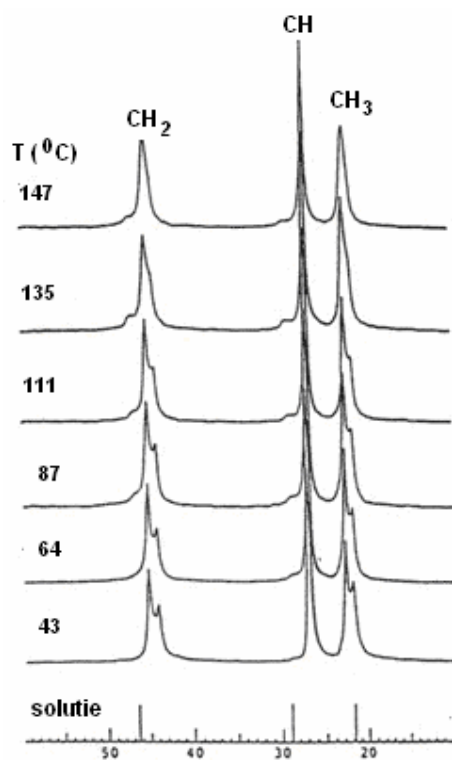
T_2^* - timpul de relaxare spin-spin sau transversala (T_2) + contributia largirii datorate neomogenitatii magnetice;

- determinat de miscarea moleculara de frecventa Larmor si/sau de frecvinte joase (10^2 - 10^3 Hz);
 - invers proportional cu timpul de corelatie, τ_c , al campurilor fluctuante produse de vecinii magnetici, deci $\Delta v_{1/2}$ creste cu M .
- τ_c este timpul dupa care se pierde coherenta miscarii spinilor nucleari ion jurul campului magnetic. τ_c (solutie) $\gg \tau_c$ (solid).



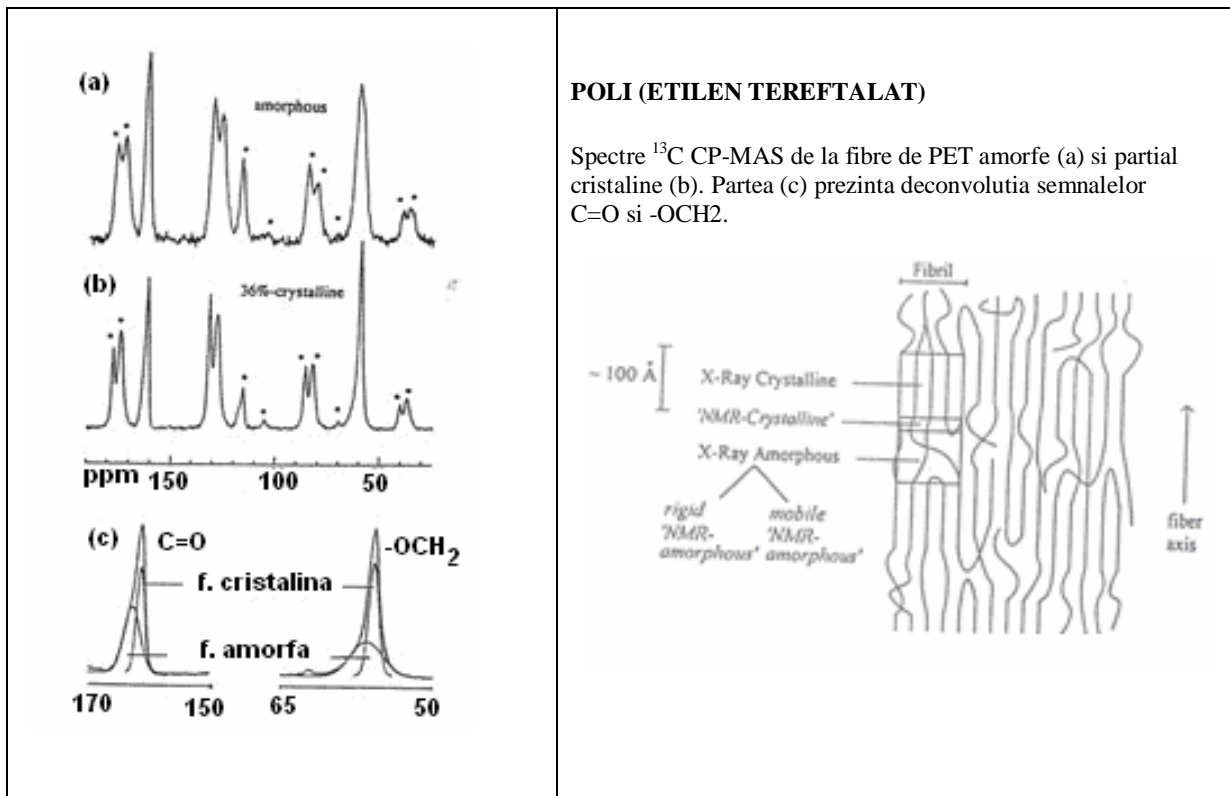
POLIPROPILENA izotactica

Spectrul ^{13}C CP-MAS NMR pentru forma α (a) si semnalele simulate pe baza deplasarilor chimice calculate pentru grupele metilen si metil.



POLIPROPILENA izotactica

Spectre ^{13}C CP-MAS NMR la diverse temperaturi si spectrul de bare corespunzator solutiei izotrope.



POLI (ETILEN TEREFALAT)

Spectre ¹³C CP-MAS de la fibre de PET amorfă (a) și parțial cristalină (b). Partea (c) prezintă deconvolutia semnalelor C=O și -OCH₂.

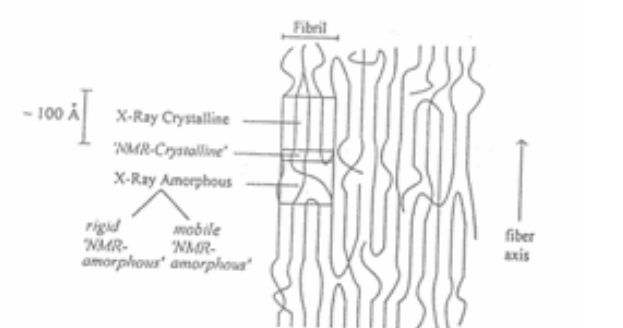
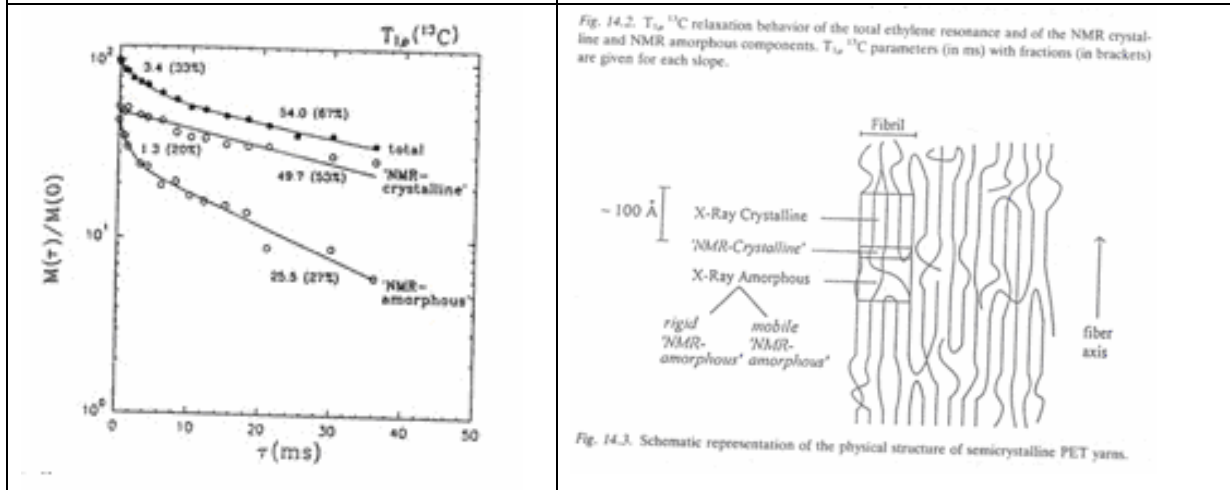
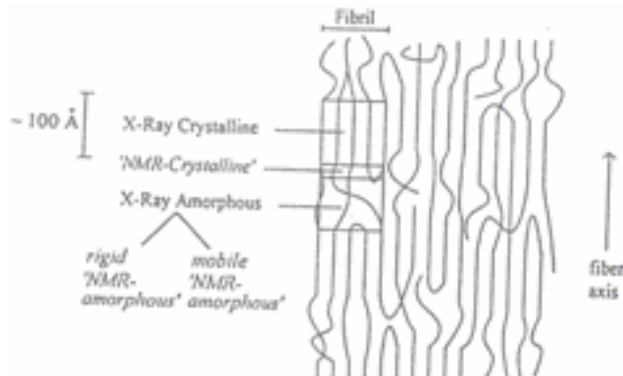
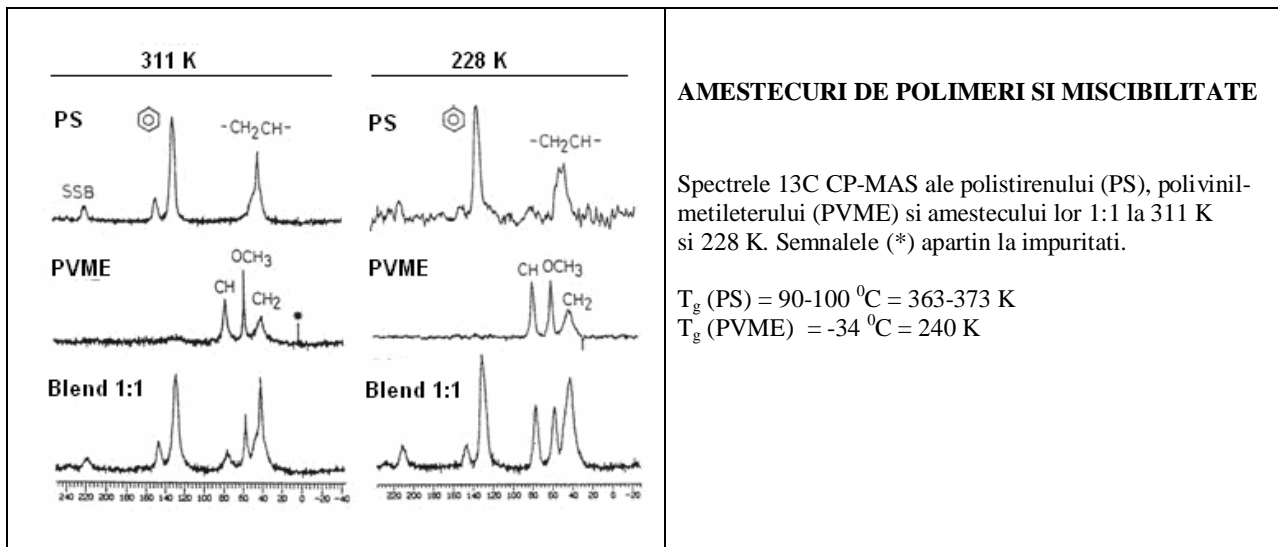


Fig. 14.3. Schematic representation of the physical structure of semicrystalline PET yarns.



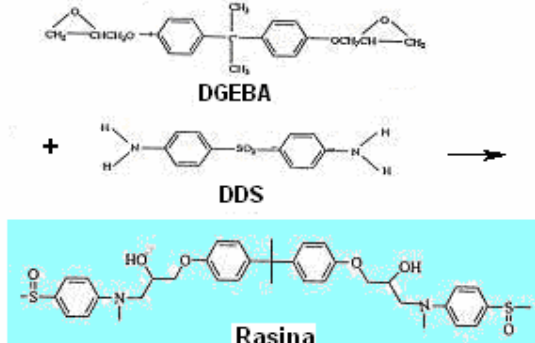
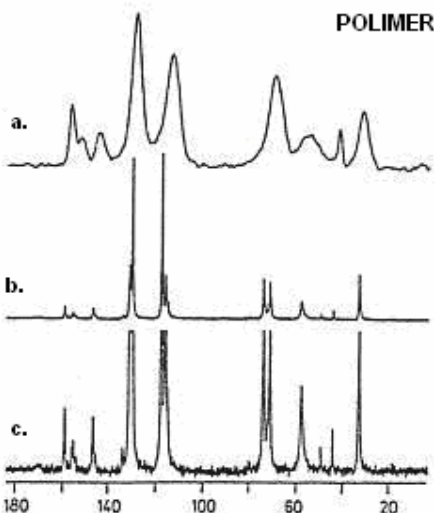
AMESTECURI DE POLIMERI SI MISCIBILITATE

Spectrele ¹³C CP-MAS ale polistirenului (PS), polivinilmetileterului (PVME) și amestecului lor 1:1 la 311 K și 228 K. Semnalele (*) aparțin la impurități.

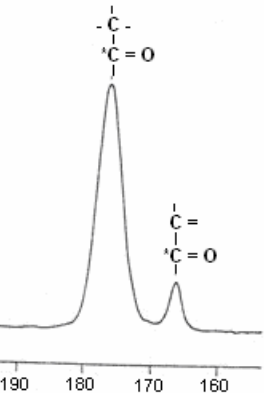
$$T_g(\text{PS}) = 90-100 \text{ } ^\circ\text{C} = 363-373 \text{ K}$$

$$T_g(\text{PVME}) = -34 \text{ } ^\circ\text{C} = 240 \text{ K}$$

POLIMERI RETICULATI

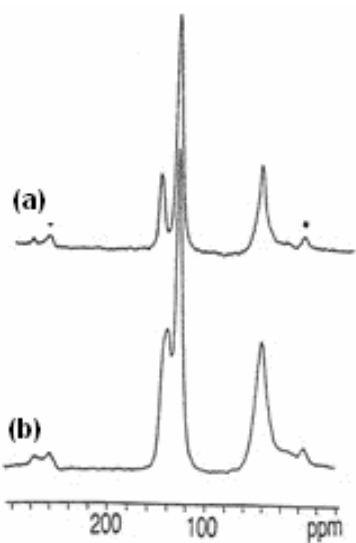
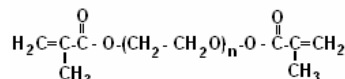


Spectre MAS de carbon al rasinii DGEBA-DDS cu stoichiometrie 1:1: spectrul CP-MAS la 23°C (a), spectrul MAS (fara CP) la 290°C (b), si idem (b), dar amplificat (c).



POLIMERI RETICULATI

Semnalele carbonil din spectrul ^{13}C CP-MAS al poli(etilen glicol dimetacrilat)ului, din care se poate calcula continutul de legături duble C=C nereactionate.

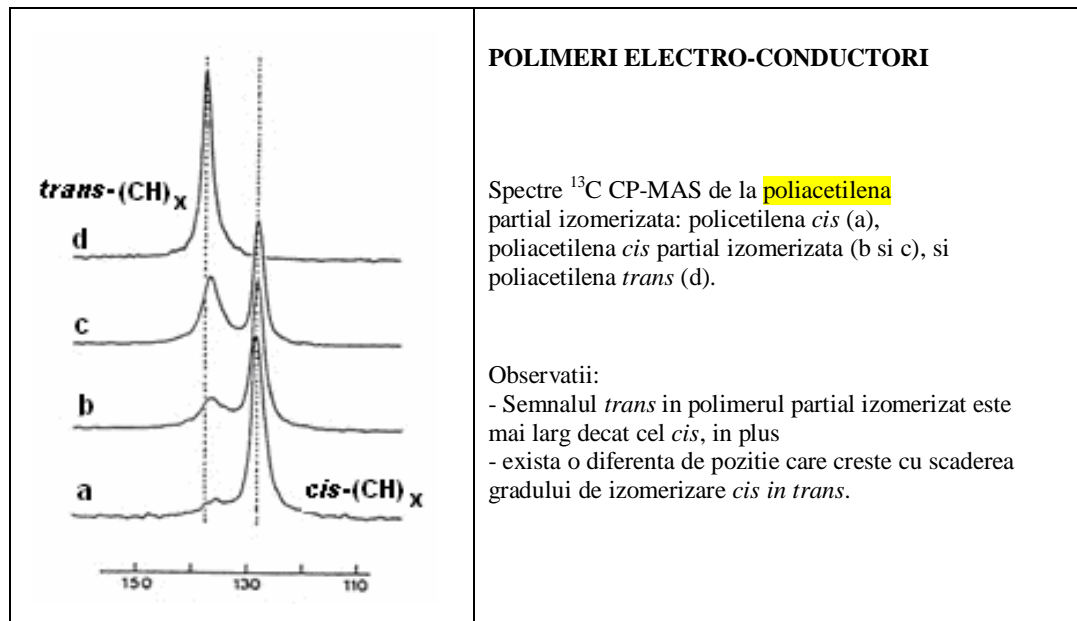


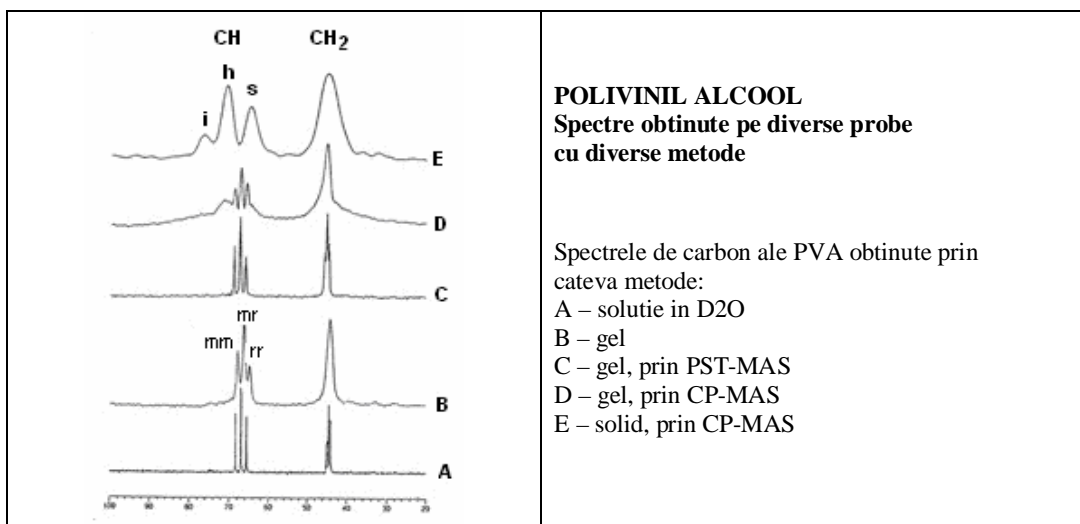
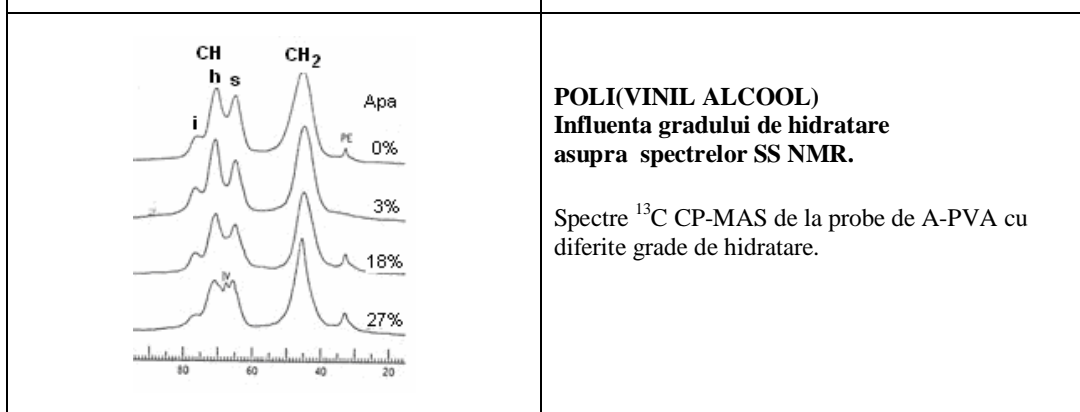
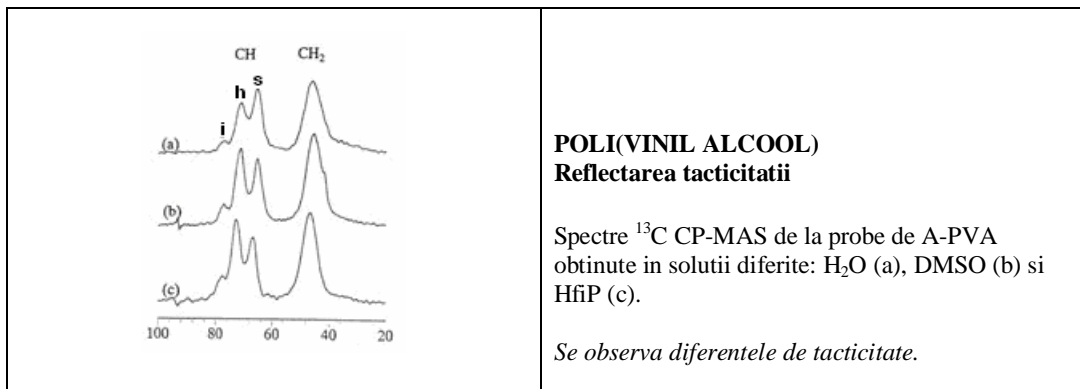
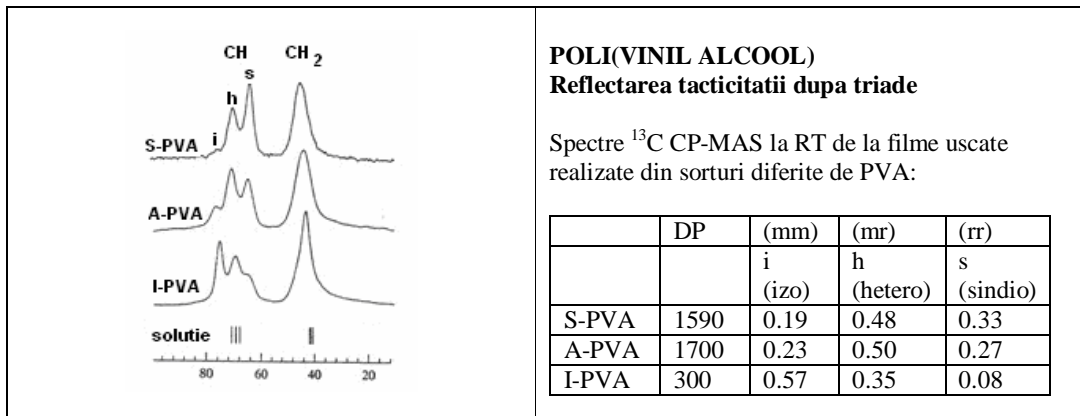
POLIMERI RETICULATI

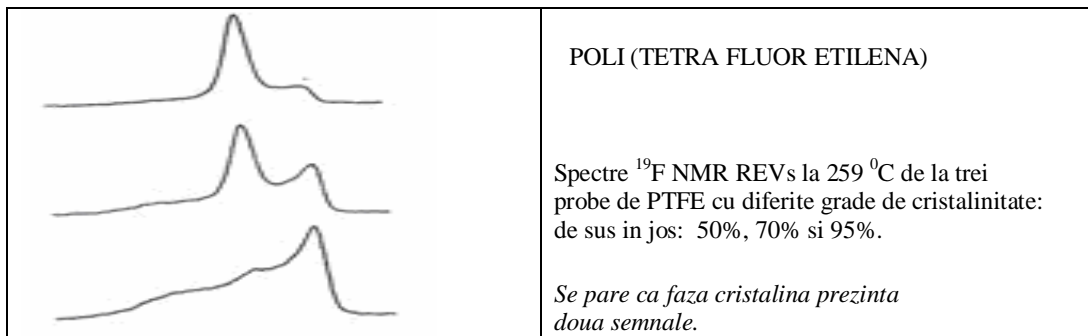
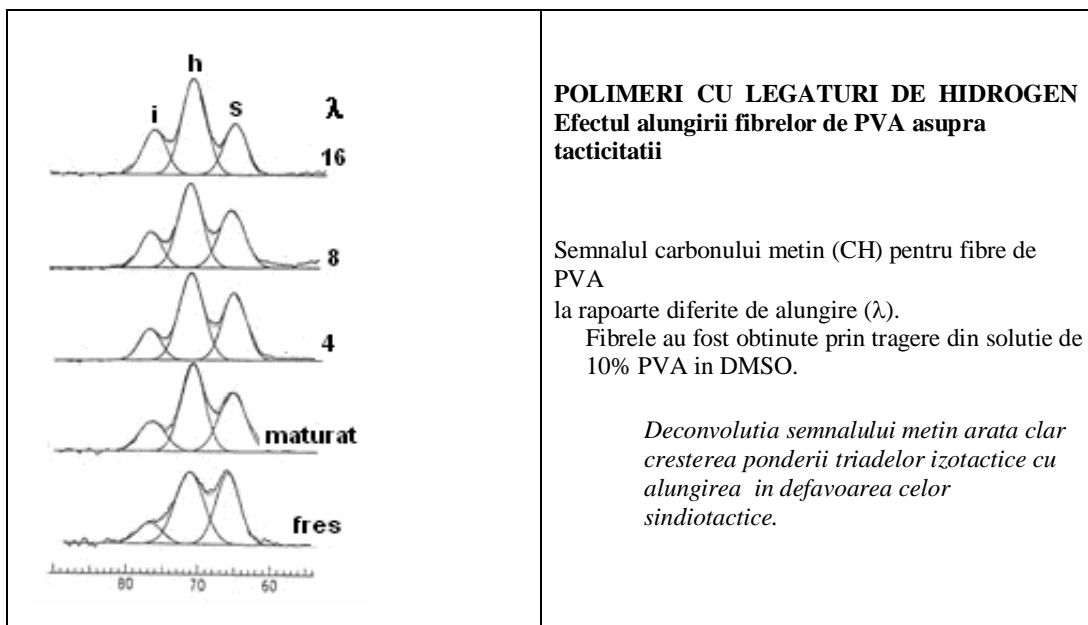
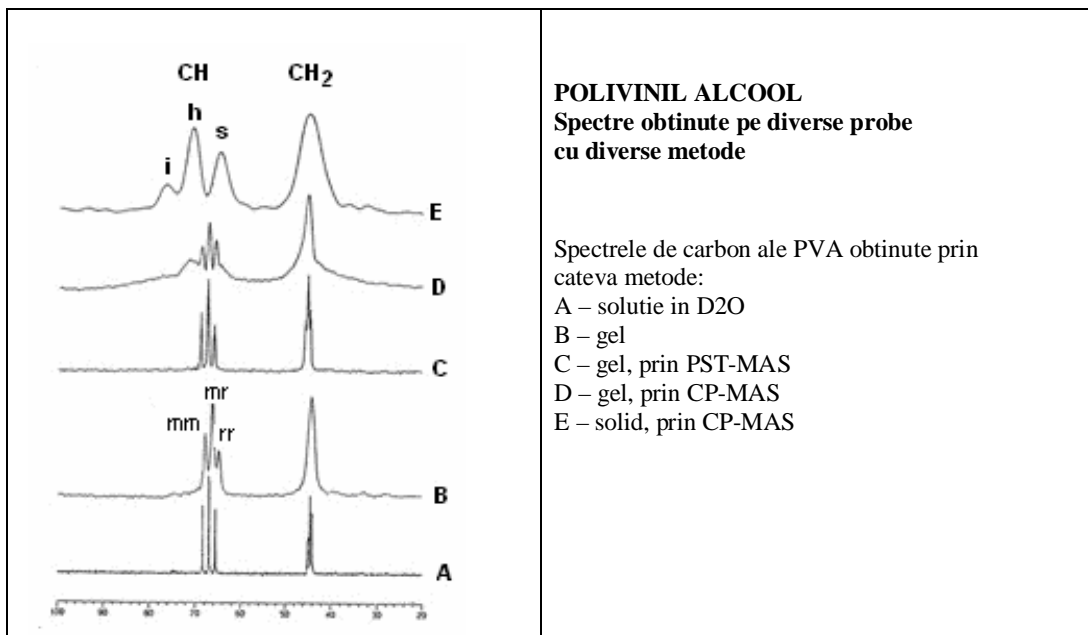
Spectre ^{13}C CP-MAS ale polistirenului reticulat slab (cu 0.3% DVB) (a) si reticulat puternic (b).

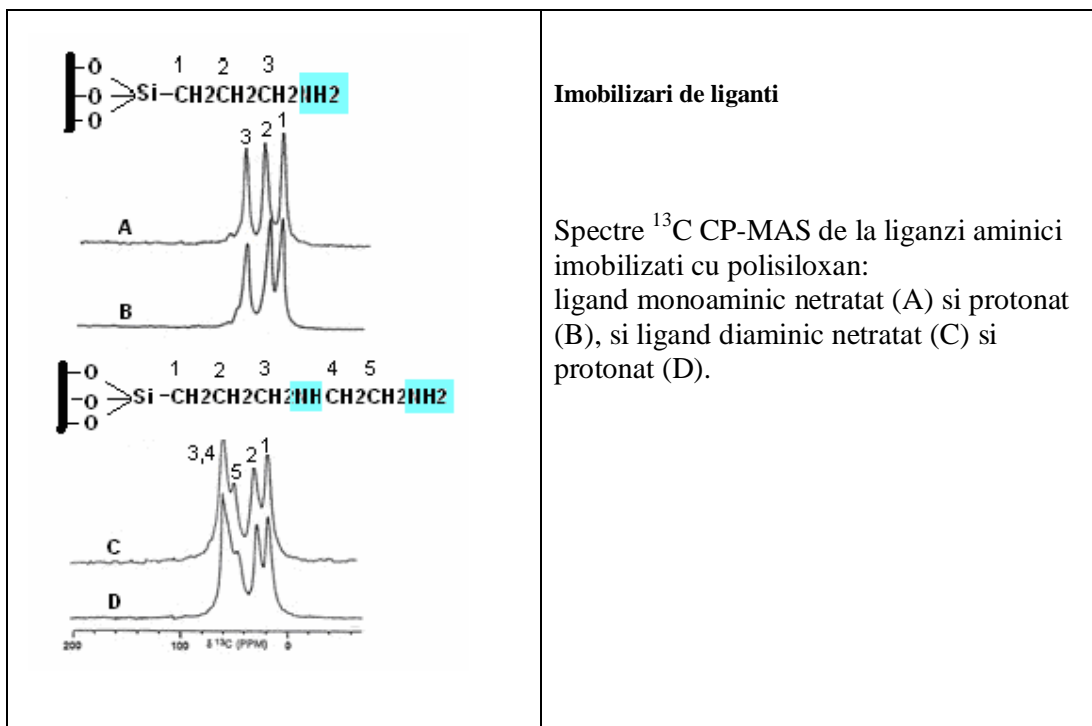
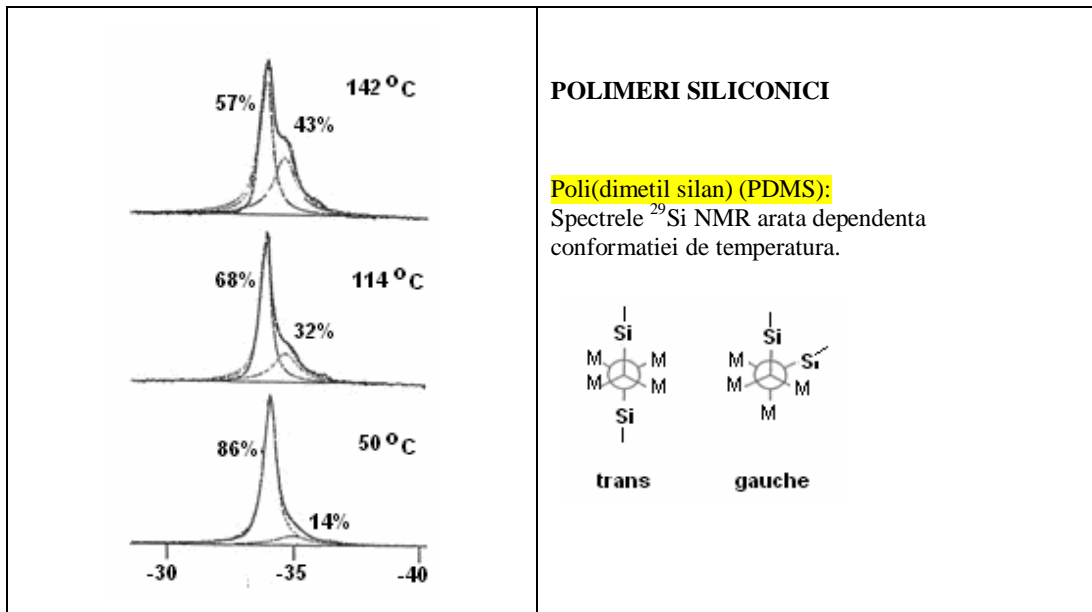
Spectroscopia SS-NMR pe nuclee ^{13}C si ^{15}N prin tehnica CP-MAS constituie singura metodologie de caracterizarea sistemelor de polimeri reticulati d.p.d.v. al structurii. De regula aceasta este singura cale posibila de inteleghere a acestor sisteme foarte complexe.

Unele studii au fost efectuate pe compusi cu elementele ^{13}C si ^{14}N , o cale costisitoare si de durata, dar cu beneficii foarte pretioase. Totusi si metodologia CP-MAS pe sisteme normale este destul de puternica, justificand perfectionarile de aparatura si programare.









Cateva concluzii privind studiul polimerilor siliconici
Tehnicile de SS NMR pot furniza date interesante, unele unice, dupa cum urmeaza: Tehnicile ^{13}C CP-MAS, si chiar experimentele ^1H CRAMPS, sunt utile pentru elucidarea structurii si dinamicii grupelor laterale. Studiile de relaxare dau informatii nu numai asupra dinamicii locale (in termeni de "correlation time"), ci asigura un mijloc de investigare a probelor privind homogeneitatea si heterogeneitatea in polisiloxanii analizati.